



INSO  
22893  
1st Edition  
2021

جمهوری اسلامی ایران  
Islamic Republic of Iran  
سازمان ملی استاندارد ایران

Iranian National Standardization Organization



استاندارد ملی ایران  
۲۲۸۹۳

چاپ اول  
۱۳۹۹

Identical with  
ISO 21363:  
2020

فناوری نانو — اندازه‌گیری توزیع‌های  
اندازه و شکل ذرات به‌وسیله  
میکروسکوپی الکترونی عبوری

Nanotechnology — Measurements of  
particle size and shape distributions  
by transmission electron microscopy

ICS: 07.120

سازمان ملی استاندارد ایران

تهران، خیابان ولیعصر، پلاک ۲۵۹۲

صندوق پستی: ۱۴۱۵۵-۶۱۳۹ تهران- ایران

تلفن: ۰۲۶-۸۸۸۷۹۴۶۱

دورنگار: ۸۸۸۸۷۱۰۳ و ۸۸۸۸۷۰۸۰

کرج، شهر صنعتی، میدان استاندارد

صندوق پستی: ۳۱۵۸۵-۱۶۳ کرج - ایران

تلفن: (۰۲۶) ۳۲۸۰۶۰۳۱-۸

دورنگار: (۰۲۶) ۳۲۸۰۸۱۱۴

رایانامه: standard@isiri.gov.ir

وبگاه: <http://www.isiri.gov.ir>

**Iranian National Standardization Organization (INSO)**

No. 2592 Valiasr Ave., South western corner of Vanak Sq., Tehran, Iran

O. Box: 14155-6139, Tehran, Iran.P

Tel: + 98 (21) 88879461-5

Fax: + 98 (21) 88887080, 88887103

Standard Square, Karaj, Iran

P.O. Box: 31585-163, Karaj, Iran

Tel: + 98 (26) 32806031-8

Fax: + 98 (26) 32808114

Email: standard@isiri.gov.ir

Website:<http://www.isiri.gov.ir>

## به نام خدا

### آشنایی با سازمان ملی استاندارد ایران

سازمان ملی استاندارد ایران به موجب بند یک ماده ۷ قانون تقویت و توسعه نظام استاندارد، ابلاغ شده در دی ماه ۱۳۹۶ وظیفه تعیین، تدوین و نشر استانداردهای ملی را به عهده دارد.

تدوین استاندارد در حوزه‌های مختلف در کمیسیون‌های فنی مرکب از کارشناسان سازمان، صاحب‌نظران مراکز و مؤسسات علمی، پژوهشی، تولیدی و اقتصادی آگاه و مرتبط انجام می‌شود و کوششی همگام با مصالح ملی و با توجه به شرایط تولیدی، فناوری و تجاری است که از مشارکت آگاهانه و منصفانهً صاحبان حق و نفع، شامل تولیدکنندگان، مصرفکنندگان، صادرکنندگان و واردکنندگان، مراکز علمی و تخصصی، نهادها، سازمان‌های دولتی و غیردولتی حاصل می‌شود. پیش‌نویس استانداردهای ملی ایران برای نظرخواهی به مراجع ذی نفع و اعضای کمیسیون‌های مربوط ارسال می‌شود و پس از دریافت نظرها و پیشنهادها در کمیته ملی مرتبط با آن رشته طرح و در صورت تصویب، به عنوان استاندارد ملی (رسمی) ایران چاپ و منتشر می‌شود.

پیش‌نویس استانداردهاییکه مؤسسات و سازمان‌های علاقه‌مند و ذی صلاح نیز با رعایت ضوابط تعیین شده تهیه می‌کنند در کمیته ملی طرح، بررسی و در صورت تصویب، به عنوان استاندارد ملی ایران‌چاپ و منتشر می‌شود. بدین ترتیب، استانداردهای ملی تلقی می‌شود که بر اساس مقررات استاندارد ملی ایران شماره ۵ تدوین و در کمیته ملی استاندارد مربوط که در سازمان ملی استاندارد ایران تشکیل می‌شود به تصویب رسیده باشد.

سازمان ملی استاندارد ایران از اعضای اصلی سازمان بین‌المللی استاندارد (ISO)<sup>۱</sup>، کمیسیون بین‌المللی الکترونیک (IEC)<sup>۲</sup> و سازمان بین‌المللی اندازه‌شناسی قانونی (OIML)<sup>۳</sup> است و به عنوان تنها رابط<sup>۴</sup> کمیسیون کدکس غذایی (CAC)<sup>۵</sup> در کشور فعالیت می‌کند. در تدوین استانداردهای ملی ایران ضمن توجه به شرایط کلی و نیازمندی‌های خاص کشور، از آخرین پیشرفت‌های علمی، فنی و صنعتی جهان و استانداردهای بین‌المللی بهره‌گیری می‌شود.

سازمان ملی استاندارد ایران می‌تواند با رعایت موازین پیش‌بینی شده در قانون، برای حمایت از مصرفکنندگان، حفظ سلامت و ایمنی فردی و عمومی، حصول اطمینان از کیفیت محصولات و ملاحظات زیستمحیطی و اقتصادی، اجرای بعضی از استانداردهای ملی ایران را برای محصولات تولیدی داخل کشور و/یا اقلام وارداتی، با تصویب شورای عالی استاندارد، اجباری کند. سازمان می‌تواند به منظور حفظ بازارهای بین‌المللی برای محصولات کشور، اجرای استاندارد کالاهای صادراتی و درجه‌بندی آن را اجباری کند. همچنین برای اطمینان بخشیدن به استفاده کنندگان از خدمات سازمان‌ها و مؤسسات فعال در زمینه مشاوره، آموزش، بازرگانی، ممیزی و صدور گواهی سیستم‌های مدیریت کیفیت و مدیریت زیستمحیطی، آزمایشگاه‌ها و مراکز واسنجی (کالیبراسیون) وسایل سنجش، سازمان ملی استاندارد این‌گونه سازمان‌ها و مؤسسات را بر اساس ضوابط نظام تأیید صلاحیت ایران ارزیابی می‌کند و در صورت احراز شرایط لازم، گواهینامه تأیید صلاحیت به آن‌ها اعطا و بر عملکرد آن‌ها نظارت می‌کند. ترویج دستگاه بین‌المللی یکاه، واسنجی وسایل سنجش، تعیین عیار فلزات گرانبهای و انجام تحقیقات کاربردی برای ارتقای سطح استانداردهای ملی ایران از دیگر وظایف این سازمان است.

1- International Organization for Standardization

2- International Electrotechnical Commission

3- International Organization of Legal Metrology (Organisation Internationale de Métrologie Legale)

4-Contact point

5- Codex Alimentarius Commission

**کمیسیون فنی تدوین استاندارد**

**«فناوری نانو- اندازه‌گیری توزیع‌های اندازه و شکل ذرات به‌وسیله**

**میکروسکوپی الکترونی عبوری»**

**سمت و/یا محل اشتغال:**

**رئیس:**

عضو هیئت علمی- پژوهشگاه علوم و فنون رنگ

اعرابی، امیرمسعود

(دکتری مهندسی مواد و متالورژی)

**دبیر:**

عضو هیئت علمی- دانشگاه علم و صنعت ایران

میرکاظمی، سید محمد

(دکتری مهندسی مواد و متالورژی)

**اعضا: (اسامی به ترتیب حروف الفبا)**

کارشناس- کارگروه استاندارد و ایمنی ستاد فناوری نانو

اسلامی پور، الهه

(کارشناسی ارشد زیست شناسی)

معاون مدیر امور پژوهشی و مستندسازی- پژوهشگاه مواد و

ترک نیک، فاطمه سادات

انرژی

(دکتری مهندسی مواد)

عضو هیئت علمی- دانشگاه علم و صنعت ایران

دباغ کاشانی، فاطمه

(دکتری فیزیک)

عضو هیئت علمی- دانشگاه شهید بهشتی

میرزا جانی، فاطمه

(دکتری فیتوشیمی)

عضو هیئت علمی- دانشگاه علم و صنعت ایران

نوروزیان علم، شهاب

(دکتری مهندسی برق- الکترونیک)

نایب رئیس- کمیته فنی متناظر فناوری نانو 229 ISIR/TC

سیفی، مهوش

(کارشناسی ارشد مدیریت دولتی)

**ویراستار:**

نایب رئیس- کمیته فنی متناظر فناوری نانو 229 ISIR/TC

سیفی، مهوش

(کارشناسی ارشد مدیریت دولتی)

## فهرست مندرجات

صفحه	عنوان
	پیش‌گفتار
ح	
ط	مقدمه
۱	۱ هدف و دامنه کاربرد
۱	۲ مراجع الزامی
۲	۳ اصطلاحات، تعاریف و نمادها
۲	۱-۳ اصطلاحات اصلی- ذرات
۷	۲-۳ اصطلاحات اصلی- تصویرگیری و آنالیز تصویر
۹	۳-۳ اصطلاحات اصلی- نمادها و تعاریف آماری
۱۲	۴-۳ اصطلاحات اصلی- اندازه‌ده
۱۸	۵-۳ اصطلاحات اصلی- اندازه‌شناسی
۲۲	۶-۳ اصطلاحات اصلی- میکروسکوپی الکترونی عبوری
۲۴	۷-۳ نمادهای آماری، اندازه‌دها و توصیفگرها
۲۴	۱-۷-۳ نمادهای آماری
۲۵	۲-۷-۳ اندازه‌دها و توصیفگرها
۲۶	۴ نیازهای طرف ذی‌نفع برای روش‌های اجرایی اندازه‌گیری TEM
۲۷	۵ آماده‌سازی نمونه
۲۷	۱-۵ کلیات
۲۸	۲-۵ منابع نمونه
۲۸	۳-۵ استفاده از یک نمونه نماینده
۲۸	۱-۱-۵ کلیات
۲۹	۲-۱-۵ نمونه‌های پودری
۲۹	۳-۱-۵ پراکنده‌های نانوذره در مایعات
۳۰	۴-۵ کمینه‌سازی کلوخگی ذره در پراکنده نمونه
۳۰	۵-۵ انتخاب پایه نگهدارنده
۳۱	۶ فاکتورهای دستگاه
۳۱	۱-۶ چیدمان دستگاه
۳۱	۲-۶ کالیبراسیون
۳۱	۱-۲-۶ کلیات
۳۱	۲-۲-۶ استانداردهای کالیبراسیون
۳۲	۳-۲-۶ روش اجرایی کالیبراسیون

عنوان	صفحه
۳-۶ تنظیم شرایط عملیات TEM برای کالیبراسیون	۳۴
۷ تصویرگیری	۳۶
۱-۷ کلیات	۳۶
۲-۷ تنظیم بزرگنمایی عملیاتی مناسب	۳۶
۳-۷ مساحت ذره کمینه	۳۷
۴-۷ تعداد ذرات قابل شمارش برای توزیع اندازه و شکل ذرات	۳۸
۵-۷ پس زمینه یکنواخت	۳۸
۶-۷ روش اجرایی اندازه‌گیری	۳۹
۱-۶-۷ کلیات	۳۹
۲-۶-۷ توسعه یک نمونه آزمون	۳۹
۳-۶-۷ تأثیرات بزرگنمایی	۴۰
۴-۶-۷ قاب‌ها (میکروگراف‌ها)	۴۰
۷-۷ بازنگری پروتکل‌های تصویرگیری	۴۰
۸ آنالیز ذره	۴۱
۱-۸ کلیات	۴۱
۲-۸ آنالیز ذره مجزا	۴۱
۳-۸ اندازه ذره خودکار	۴۱
۴-۸ مثال- روش اجرایی آنالیز خودکار ذره	۴۲
۹ تحلیل داده‌ها	۴۳
۱-۹ کلیات	۴۳
۲-۹ رده‌بندی داده‌های خام بر اساس ارجحیت - آشکارسازی ذرات در تماس با یکدیگر، ذرات غیرانتخابی، آلایه‌های تصویر و آلاینده‌ها	۴۴
۳-۹ ارزیابی کیفیت داده‌ها- تکرارپذیری، دقت میانی و تجدیدپذیری	۴۶
۴-۹ برازش توزیع‌ها به داده‌ها	۴۸
۵-۹ ارزیابی عدم قطعیت اندازه‌گیری برای نمونه‌ها تحت شرایط تکرارپذیری، دقت میانی یا تجدیدپذیری	۵۰
۱-۵-۹ آمارگان کل برای پارامترهای برازش شده- سه مجموعه داده یا بیشتر	۵۰
۲-۵-۹ عدم قطعیت اندازه‌گیری پارامترهای برازش شده	۵۱
۳-۵-۹ مثال- اندازه‌گیری عدم قطعیت برای توصیفگر اندازه	۵۲
۶-۹ آنالیز دومتغیره	۵۲
۱۰ گزارش‌دهی	۵۳

صفحه

عنوان

۵۷	پیوست الف (آگاهی دهنده) مرور کلی مطالعات موردی
۵۹	پیوست ب (آگاهی دهنده) نانوذرات کره‌وار گستته
۶۲	پیوست پ (آگاهی دهنده) مخلوط اندازه
۷۵	پیوست ت (آگاهی دهنده) مخلوط شکل
۸۰	پیوست ث (آگاهی دهنده) انبوههای بی‌شکل
۸۴	پیوست ج (آگاهی دهنده) انبوههای نانوبلورین
۸۸	پیوست چ (آگاهی دهنده) نانوالیاف با سطوح مقطع نامنظم
۹۶	پیوست خ (آگاهی دهنده) نانوذرات با نمودهای ویژه بلور
۱۰۴	کتابنامه

## پیش‌گفتار

استاندارد «فناوری نانو- اندازه‌گیری توزیع‌های اندازه و شکل ذرات به‌وسیله میکروسکوپی الکترونی عبوری» که پیش‌نویس آن در کمیسیون‌های مربوط بر مبنای پذیرش استانداردهای بین‌المللی/منطقه‌ای به عنوان استاندارد ملی ایران به روش اشاره شده در مورد الف، بند ۷، استاندارد ملی ایران شماره ۵ تهیه و تدوین شده، در نود و هشتاد و یکمین اجلاسیه کمیته ملی استاندارد فناوری نانو مورخ ۱۳۹۹/۱۲/۱۸ تصویب شد. اینک این استاندارد به استناد بند یک ماده ۷ قانون تقویت و توسعه نظام استاندارد، ابلاغ شده در دی ماه ۱۳۹۶ به عنوان استاندارد ملی ایران منتشر می‌شود.

استانداردهای ملی ایران بر اساس استاندارد ملی ایران شماره ۵ (استانداردهای ملی ایران- ساختار و شیوه نگارش) تدوین می‌شوند. برای حفظ همگامی و هماهنگی با تحولات و پیشرفت‌های ملی و جهانی در زمینه صنایع، علوم و خدمات، استانداردهای ملی ایران در صورت‌الزوم تجدیدنظر خواهند شد و هر پیشنهادی که برای اصلاح یا تکمیل این استانداردها ارائه شود، در هنگام تجدیدنظر در کمیسیون فنی مربوط، مورد توجه قرار خواهد گرفت. بنابراین، باید همواره از آخرین تجدیدنظر استانداردهای ملی ایران استفاده کرد.

این استاندارد ملی بر مبنای پذیرش استاندارد بین‌المللی زیر به روش «معادل یکسان» تهیه و تدوین شده و شامل ترجمه تخصصی کامل متن آن به زبان فارسی می‌باشد و معادل یکسان استاندارد بین‌المللی مذبور است:

ISO 21363: 2020, Nanotechnologies- Measurements of particle size and shape distributions by transmission electron microscopy

## مقدمه

روش‌های اجرایی مشخصه‌یابی نانوذرات اغلب شامل اندازه، شکل، ساختار سطحی (یا بافت) و شیمی سطح هستند ولی محدود به این موارد نمی‌شوند. این اندازه‌گیری‌ها همراه با اطلاعات فازی، مانند فاز بلوری، ریخت‌شناسی ماده را تشکیل می‌دهند. این استاندارد روی دو خصیصه<sup>۱</sup> ریخت‌شناسی، توزیع‌های اندازه و شکل، برای نانوشیاء گستته، کلوخه‌ای و انبوهیده (موادی با حداقل یک بعد در نانومقیاس (nm < ۱) یک بعد طولی < ۱۰ nm) تمرکز دارد. میکروسکوپی الکترونی عبوری به عنوان یک ابزار استاندارد برای اندازه‌گیری‌های نانومقیاس، شکل‌های دوبعدی از تصاویر ذرات<sup>۲</sup> را ارائه می‌کند. این گردش‌کار<sup>۳</sup> کلی برای اندازه‌گیری و ارزشیابی توزیع اندازه و شکل ذرات در نانومقیاس شامل آماده‌سازی نمونه، فاکتورهای دستگاهی، تصویرگیری، آنالیز ذرات، آنالیز داده‌ها و گزارش‌دهی است. هفت مطالعه موردی<sup>۴</sup> برای نشان دادن چگونگی کاربرد پروتکل عمومی برای ریخت‌شناسی‌های ذرات مختلف و انواع نمونه‌ها گنجانده شده است. سه نمونه آزمون ذرات گستته گزارش می‌شود: کره‌وار (نانوکره‌های طلا)، مخلوط دوشیوهای<sup>۵</sup> از اندازه‌های ذرات (سیلیکاها کلوئیدی) و مخلوطی از شکل‌های ذرات (نانومیله‌های طلا و نانومکعب‌های طلا). دو نمونه آزمون انبوهه گزارش می‌شود: انبوهه‌های خوش‌های بی‌شکل<sup>۶</sup> (کربن سیاه) و انبوهه‌هایی از بلورک‌های اولیه (تیتانیا). روش‌های اندازه‌گیری نیز برای نمونه‌های با نسبت منظری کم و نانوذرات با نمودهای ویژه بلور<sup>۷</sup> ارائه می‌شود. بهمنظور مقایسه‌های میان آزمایشگاهی (ILCs)<sup>۸</sup> [42]، چندین مطالعه موردی پشتیبانی‌شده از طریق همکاری‌های میان آزمایشگاهی، تحت راهنمایی‌های پروژه ورسای (VAMAS)<sup>۹</sup>، درباره استانداردها و مواد پیشرفت‌هه انجام شد.

سه نوع توصیفگر برای اندازه و شکل درنظر گرفته می‌شوند. توصیفگرهای اندازه شامل آن‌هایی هستند که به وسیله اندازه‌گیری‌های خطی و سطحی تعیین می‌شوند. توصیفگرهای شکل شامل توصیفگرهای کشامدی<sup>۱۰</sup> مانند نسبت‌های دو توصیفگر طول و توصیفگر زبری<sup>۱۱</sup> می‌شوند که نشان‌دهنده بی‌نظمی‌های سطحی نانوذرات است.

این پروتکل، بر آنالیز کمی و کیفی کیفیت داده‌ها توسط کاربر، تأکید دارد. مقایسه‌های کیفی مجموعه‌های داده، شامل تعیین شباهت‌ها یا تفاوت‌های بین میانگین‌های توصیفگر تک یا میانگین‌های چند متغیره است. مقایسه‌های کمی مجموعه‌های داده، برپایه تفاوت‌ها یا شباهت‌های بین پارامترهای مدل‌های

1- Attribute

2- Particle projection

3- Workflow

4- Case studies

5- Bimodal

6- Amorphous aciniform

7- Crystal habits

8- Interlaboratory Comparisons

9- Versailles Project on Advanced Materials and Standards

10- Elongational

11- Ruggedness

مرجعی است که بر توزیع‌های توصیفگر برازش شده است. حداقل دو پارامتر (میانگین و تغییرپذیری<sup>۱</sup>) و عدم قطعیت آن‌ها نیاز است که یک توزیع توصیفگر را تعریف کند. در برخی از موارد، این دو پارامتر کمی و عدم قطعیت آن‌ها ممکن است برای مشخصه‌یابی توزیع‌های اندازه و شکل ذرات کافی نباشند. روش‌های دیداری‌سازی داده‌ها، مانند انحراف باقی‌مانده و نمودارهای چندک<sup>۲</sup> و همبستگی‌های<sup>۳</sup> داده‌ها، همچون جفت‌های توصیفگرهای شکل و اندازه یا آنالیز فرکتال (برحال)، می‌توانند شیوه‌های مکملی را برای ارزشیابی و متمایز کردن نمونه‌های آزمون، ارائه کند. در مجموع، معیارهای کیفی و کمی به همراه ابزارهای دیداری‌سازی و همبستگی، به کاربران اجازه می‌دهد که پروتکل‌ها را متناسب با اهداف کیفی و کمی آن‌ها تنظیم کنند.

---

1- Spread  
2- Quantile  
3- Correlations

## فناوری نانو- اندازه‌گیری توزیع‌های اندازه و شکل ذرات به‌وسیله میکروسکوپی الکترونی عبوری

### ۱ هدف و دامنه کاربرد

هدف از تدوین این استاندارد، تعیین چگونگی اندازه‌گیری و آنالیز تصاویر گرفته شده به‌وسیله میکروسکوپی الکترونی برای دستیابی به توزیع‌های اندازه و شکل در نانومقیاس است.

این استاندارد به‌طور گسترده برای نانواشیاء و همچنین ذرات با اندازه‌های بزرگ‌تر از ۱۰۰ nm کاربرد دارد. بازه دقیق کاری این روش، به عدم قطعیت موردنیاز و عملکرد میکروسکوپ الکترونی عبوری بستگی دارد. این مؤلفه‌ها می‌توانند طبق الزامات شرح داده شده در این استاندارد ارزشیابی شوند.

### ۲ مراجع الزامی

در مراجع زیر ضوابط وجود دارد که در متن این استاندارد به صورت الزامی به آن‌ها ارجاع داده شده است. بدین ترتیب آن ضوابط جزئی از این استاندارد محسوب می‌شوند.

درصورتی که به مرجعی با ذکر تاریخ انتشار ارجاع داده شده باشد، اصلاحیه‌ها و تجدیدنظرهای بعدی آن برای این استاندارد الزام آور نیست. در مورد مراجعی که بدون ذکر تاریخ انتشار به آن‌ها ارجاع داده شده است، همواره آخرین تجدیدنظر و اصلاحیه‌های بعدی برای این استاندارد الزام آور است.

استفاده از مراجع زیر برای کاربرد این استاندارد الزامی است:

**2-1 ISO 9276-3, Representation of results of Particle Size analysis- Part3: Adjustment of an experimental curve to a reference model**

یادآوری - استاندارد ملی ایران شماره ۱۳۹۲، ۸۲۰۱ : سال ۱۳۹۲، نمایش آنالیز اندازه ذره- قسمت ۳: تطبیق منحنی تجربی با مدل مرجع، با استفاده از استاندارد ۲۰۰۸ ISO 9276-3 تدوین شده است

**2-2 ISO 9276-6: 2008, Representation of results of particle size analysis- Part6: Descriptive and quantitative representation of particle shape and morphology**

**2-3 ISO 29301, Microbeam analysrs-Analytical electron microscopy- Methods for calibrating image magnification by using reference materials with periodic structures**

### ۳ اصطلاحات، تعاریف و نمادها

در این استاندارد اصطلاحات و تعاریف زیر به کار می‌رود<sup>۱</sup>:

#### ۳-۱ اصطلاحات اصلی- ذرات

۱-۱-۳

نانوشیء

##### **nano-object**

هر قطعه مجزا از یک ماده با یک، دو یا سه بعد خارجی در نانومقیاس (۳-۱-۳) است.

[منبع: زیربند ۲-۲، استاندارد ملی ایران- ایزو شماره ۸۰۰۰۴-۲ : سال ۱۳۹۵]

۲-۱-۳

نانومقیاس

##### **nanoscale**

بازه طول تقریباً بین ۱ nm تا ۱۰۰ nm است.

[منبع: زیربند ۱-۲، استاندارد ملی ایران- ایزو شماره ۸۰۰۰۴-۱: سال ۱۳۹۵، تغییریافته - یادآوری حذف شده است].

۳-۱-۳

ذره

##### **particle**

قطعه کوچکی از ماده با مرزهای فیزیکی معین است.

[منبع: زیربند ۳-۱، استاندارد ملی ایران- ایزو شماره ۸۰۰۰۴-۲: سال ۱۳۹۵، تغییر یافته- یادآوری ۱، ۲ و ۳ حذف شده است].

---

۱- اصطلاحات و تعاریف به کار رفته در استانداردهای ISO و IEC در وبگاههای <http://www.iso.org/obp> و <http://www.electropedia.org/> قابل دسترس است.

۴-۱-۳

### ذره سازنده

#### constituent particle

جزء قابل تشخیص و یکپارچه از یک ذره (۳-۱-۳) بزرگ‌تر است.

[منبع: زیربند ۳-۳، استاندارد ملی ایران- ایزو شماره ۱۳۹۵، سال ۸۰۰۰۴-۲، تغییریافته- یادآوری حذف شده‌است].

۳-۱-۵

### کلوخه

#### agglomerate

مجموعه‌ای از ذرات (۳-۱-۳) که به‌شکلی ضعیف یا نسبتاً قوی به یکدیگر متصل شده‌اند، به‌طوری‌که مساحت سطح خارجی حاصل از آن‌ها، مشابه مجموع مساحت سطوح تک‌تک اجزای تشکیل‌دهنده باشد.

یادآوری ۱- نیروهایی که کلوخه‌ها را نزدیک به یکدیگر نگه‌می‌دارند نیروهای ضعیفی هستند، به‌عنوان مثال، نیروهای واندروالس یا درهم‌تافتگی‌های فیزیکی ساده.

یادآوری ۲- کلوخه‌ها به‌عنوان ذرات ثانویه نیز درنظر گرفته می‌شوند و ذرات اصلی منشاء، ذرات نوع اول نامیده می‌شوند.

[منبع: زیربند ۴-۳، استاندارد ملی ایران- ایزو شماره ۱۳۹۵، سال ۸۰۰۰۴-۲]

۳-۱-۶

### انبوهه

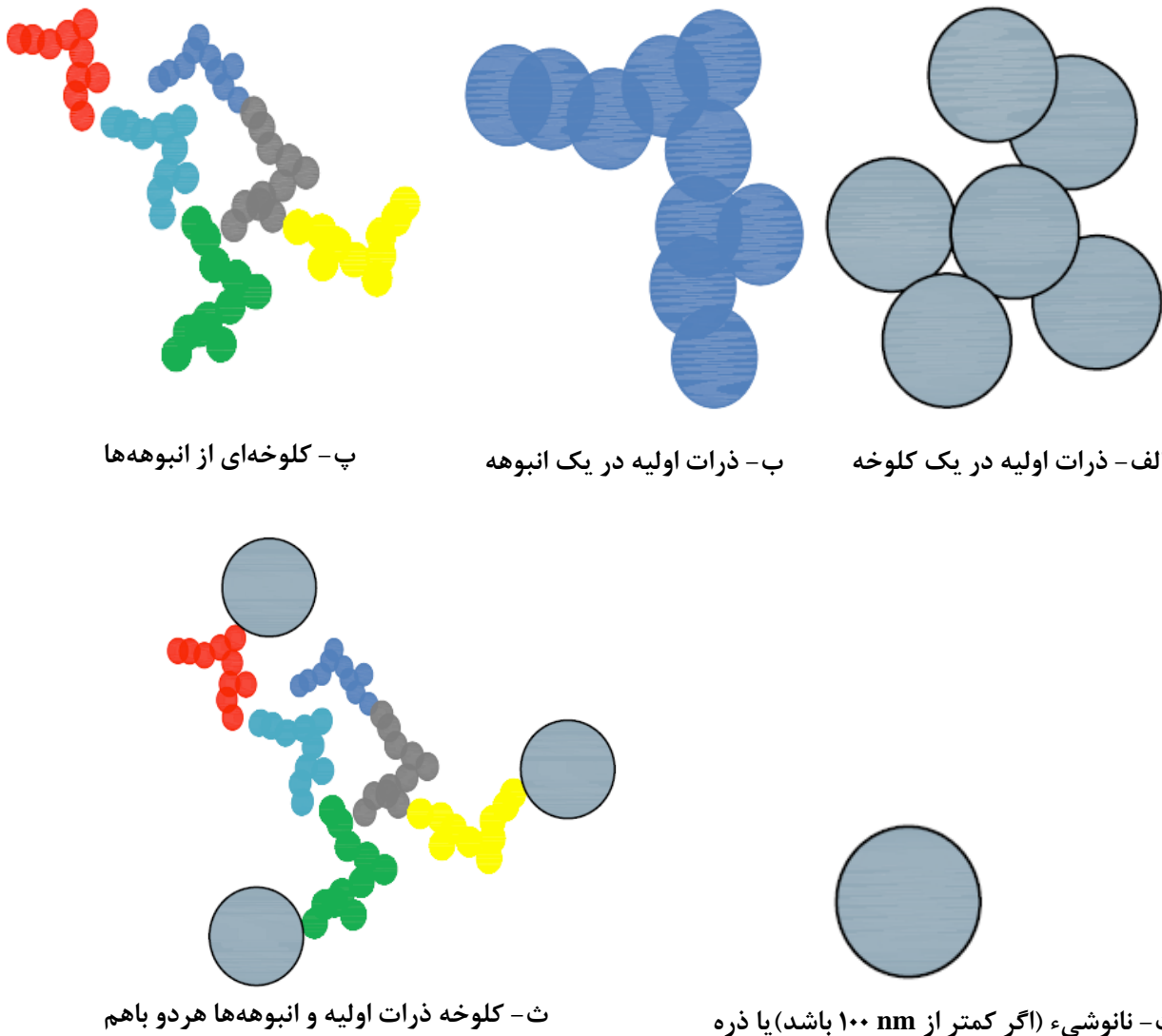
#### aggregate

ذره (۳-۱-۳) متشکل از ذراتی با پیوندهای قوی یا جوش‌خوردگی که مساحت سطحی خارجی حاصل از آن‌ها ممکن است به‌طور قابل ملاحظه‌ای کمتر از مجموع مساحت سطوح محاسبه‌شده تک‌تک اجزای تشکیل‌دهنده باشد.

یادآوری ۱- نیروهایی که انبوهه‌ها را کنار یکدیگر نگه‌می‌دارد، نیروهای قوی هستند (به‌عنوان مثال پیوندهای کووالانسی) یا نیروهای حاصل از تف‌جوشی یا درهم‌تافتگی فیزیکی پیچیده.

یادآوری ۲- انبوهه‌ها به‌عنوان ذرات ثانویه نیز درنظر گرفته می‌شوند و ذرات اصلی منشاء، ذرات اولیه نامیده می‌شوند.

یادآوری ۳- تعاریف (۳-۱-۱۰) تا (۶-۳-۱۰) إلمان‌های کلوخه‌ها و انبوهه‌ها را تعریف می‌کنند که برخی از آن‌ها در شکل ۱ نمایش داده شده‌اند. ذرات سازنده در یک انبوهه به هستاری<sup>۱</sup> گستته (انبوهه) به‌طور محکم جوش می‌خورد، درحالی‌که ذرات سازنده در کلوخه به شکل ضعیفی متصل شده و به‌طور معمول تحت تنفس مکانیکی و برشی، به آسانی پراکنده می‌شوند.



شکل ۱- طرحواره نمایش المان‌های کلوخه‌ها و انبوهه‌ها

[منبع: زیربند ۳-۵، استاندارد ملی ایران- ایزو شماره ۸۰۰۴-۲: سال ۱۳۹۵، تغییریافته- در تعریف «ممکن است به‌طور قابل ملاحظه‌ای کمتر از مجموع مساحت تک‌تک اجزای سازنده تشکیل‌دهنده باشد» با «به‌طور قابل ملاحظه‌ای کمتر از مجموع مساحت محاسبه‌شده سطوح تک‌تک اجزای سازنده تشکیل‌دهنده است» جایگزین شده‌است. در یادآوری ۱، «پیوندهای یونی» در مثال و عبارت نهایی «یا در غیراین صورت، ذرات اولیه به‌هم‌چسبیده قبلی» حذف شده‌است. یادآوری ۳ و شکل ۱ اضافه شده‌است.]

۷-۱-۳

نانوذره

**nanoparticle**

نانوشیء (۱-۳) با تمام سه بعد خارجی در نانومقیاس (۳-۲-۱) است که در آن طول بلندترین و کوتاه‌ترین محورهای نانوشیء به‌طور قابل‌ملاحظه‌ای با یکدیگر تفاوت نداشته باشند.

[منبع: زیربند ۴-۴، استاندارد ملی ایران- ایزو شماره ۱۲-۴۰۰۰: سال ۱۳۹۵، تغییریافته- «سه» اضافه شده و یادآوری حذف شده‌است.]

۸-۱-۳

نانومیله

**nanorod**

نانولیف (۳-۹) توپر است.

[منبع: زیربند ۷-۴، استاندارد ملی ایران- ایزو شماره ۲-۴۰۰۰: سال ۱۳۹۵]

۹-۱-۳

نانولیف

**nanofibre**

نانوشیء (۱-۳) با دو بعد خارجی مشابه در نانومقیاس (۳-۲-۱) است که بعد سوم آن به‌طور قابل‌ملاحظه‌ای بزرگتر است.

[منبع: زیربند ۴-۵، استاندارد ملی ایران- ایزو شماره ۲-۴۰۰۰: سال ۱۳۹۵، تغییر یافته- «مشابه» اضافه شده و یادآوری ۱، ۲ و ۳ حذف شده‌است.]

۱۰-۱-۳

نانوفاز

**nanophase**

ناحیه‌ای که از نظر فیزیکی یا شیمیایی متمایز است یا اصطلاحی جمعی<sup>۱</sup> است برای نواحی هم جنس در یک ماده که از لحاظ فیزیکی متمایز هستند و این نواحی متمایز دارای یک، دو یا سه بعد نانومقیاس هستند.

---

1- Collective term

یادآوری - نانوشاپیائی که در فاز دیگری جاسازی<sup>۱</sup> شده‌اند یک نانوفاز را می‌سازند.

۱۱-۱-۳

### نانوپراکنه

#### **nanodispersion**

ماده‌ای که در آن نانوشاپیاء (۱-۱-۳) یا یک نانوفاز (۱۰-۱-۳) در یک فاز پیوسته از ترکیب‌بندی متفاوت، پراکنده شده‌اند.

[منبع: زیربند ۱۴-۳، استاندارد ملی ایران شماره ۱۸۳۹۲-۴: سال ۱۳۹۳]

۱۲-۱-۳

### اندازه ذره

#### **particle size**

$x$

بعد یک ذره (۱-۱-۳) است که با روش اندازه‌گیری ویژه و تحت شرایط اندازه‌گیری ویژه تعیین می‌شود.

یادآوری ۱ - روش‌های مختلف آنالیز بر پایه اندازه‌گیری خواص مختلف فیزیکی است. اندازه ذره، مستقل از خاصیتی از ذره که در عمل اندازه‌گیری می‌شود، می‌تواند به صورت یک بعد خطی، مساحت یا حجم، گزارش شود.

یادآوری ۲ - نماد  $x$  برای مشخص کردن اندازه ذره خطی استفاده می‌شود. هر چند مشخص شده‌است که نماد  $d$  نیز به طور گسترده استفاده می‌شود. بنابراین نماد  $x$  ممکن است با نماد  $d$  جایگزین شود.

[منبع: زیربند ۲-۴، استاندارد ملی ایران شماره ۱۳۸۴: سال ۱۳۸۰-۱، به عنوان یک مدخل در اصطلاحات و تعاریف ارایه شده‌است.]

۱۳-۱-۳

### توزیع اندازه ذرات

#### **particle size distribution**

توزیع ذرات (۱-۱-۳) به صورت تابعی از اندازه ذرات (۱۲-۱-۳) است.

[منبع: زیربند ۲-۱-۳، استاندارد ملی ایران - ایزو شماره ۸۰۰۰۴-۶: سال ۱۳۹۶، تغییریافته - یادآوری حذف شده‌است].

۱۴-۱-۳

## شكل ذره

### particle shape

شکل هندسی بیرونی یک ذره (۳-۱-۳) است.

یادآوری - توصیف شکل به دو توصیفگر نرده‌ای<sup>۱</sup> یعنی طول و تغییرپذیری، نیاز دارد.

[منبع: زیربند ۳-۱-۳، استاندارد ملی ایران- ایزو شماره ۱۳۹۶، سال ۲۰۰۰۴-۶، تغییریافته- یادآوری اضافه شده است].

۱۵-۱-۳

## توزيع شکل ذره

### particle shape distribution

توصیفگر توزیع یک شکل ذره (۱۴-۱-۳) ویژه برای یک جامعه آماری<sup>۲</sup> نمونه است.

۲-۳ اصطلاحات اصلی - تصویرگیری و آنالیز تصویر

۱-۲-۳

## میدان دید

### field of view

میدان قابل مشاهده به وسیله دستگاه مشاهده‌گر است.

[منبع: زیربند ۳-۶، استاندارد ملی ایران شماره ۱۰۰۹۹-۱: سال ۱۳۹۵، تغییریافته- یادآوری ۱ حذف شده است].

۲-۲-۳

## قاب اندازه‌گیری

### measurement frame

سطح انتخاب شده از میدان دید (۱-۲-۳) است که در آن، ذرات (۱-۱-۳) برای آنالیز تصویر، اندازه‌دهی و شمارش می‌شوند.

1- Scalar

2- Population

[منبع: زیربند ۳-۱۰، استاندارد ملی ایران شماره ۱۰۰۹۹-۱: سال ۱۳۹۵]

۳-۲-۳

## تصویر دوتایی

### **binary image**

تصویر رقمی‌شده<sup>۱</sup> متشکل از آرایه‌ای از پیکسل‌ها (۴-۲-۳) با مقادیر صفر یا یک است که به‌طور معمول مقدار آن با نواحی تاریک و روشن روی صفحه نمایش یا با استفاده از دو رنگ متمایز، نشان داده می‌شوند.

[منبع: زیربند ۳-۲ استاندارد ملی ایران شماره ۱۰۰۹۹-۱: سال ۱۳۹۵]

۴-۲-۳

## پیکسل

### **pixel**

کوچکترین جزء تصویر که می‌تواند به صورت منحصر به فرد پردازش شود و به‌وسیله مختصات فضایی توصیف و با مقادیر رنگی کدبندی شده‌است.

[منبع: زیربند 3.6، استاندارد 2004 ISO 12640-2: 2004، تغییریافته - یادآوری ۱ حذف شده‌است.]

۵-۲-۳

## تفکیک‌پذیری-پیکسل

### **pixel-resolution**

تعداد پیکسل‌های (۴-۲-۳) تصویربرداری بر فاصله واحد آشکارساز است.

[منبع: زیربند 3.24، استاندارد 2017 ISO 29301: 2017، تغییریافته - یادآوری ۱ حذف شده‌است.]

۶-۲-۳

## شمار پیکسل

### **pixel count**

کل تعداد پیکسل‌ها (۴-۲-۳) در هر فایل، طول یا مساحت، بسته به یکای استفاده شده‌است.

[منبع: زیربند ۳-۱۹۱، استاندارد ملی ایران شماره ۲۱۴۰۵: سال ۱۳۹۵]

میکروگراف (ریزنگار)

**micrograph**

ضبط تصویر شکل گرفته به وسیله میکروسکوپ است.

[منبع: زیربند 2.94، استاندارد 2002: ISO 10934-1]

آلایه تصویر

**artefact**  
**artifact**

اعوجاج ناخواسته یا شاخصه‌های افزوده شده در داده‌های اندازه‌گیری شده ناشی از ایده‌آل نبودن تجهیزات است.

[منبع: زیربند 5.6، استاندارد 2013: ISO 18115-2]

**۳-۳ اصطلاحات اصلی- نمادها و تعاریف آماری**

ضریب تغییرات

**coefficient of variation**  
 $C_v$

نسبت انحراف معیار به میانگین حسابی<sup>۱</sup> است.

یادآوری ۱- به طور معمول به صورت درصد گزارش می‌شود.

یادآوری ۲- برای مثال، ضریب تغییرات برای یک میانگین نمونه می‌تواند چنین نمایش داده شود:

$$C_v = \frac{S \times 100}{\bar{x}}$$

که در آن  $\bar{x}$  توصیفگر میانگین و  $S$  توصیفگر انحراف معیار چندین مجموعه داده هستند. این «آمارگان کل»<sup>۲</sup> برای ارزشیابی داده‌های توصیفگر به منظور مقایسه میان آزمایشگاهی استفاده می‌شود.

1- Arithmetic  
2- Grand statistics

[منبع: زیربند ۱۱-۳، استاندارد ملی ایران شماره ۱۳۳۹۷: سال ۱۳۸۹، تغییریافته- یادآوری‌های ۱ و ۲ اضافه شده است.]

۲-۳-۳

### خطای استاندارد برآورد

#### standard error of estimation

$$\sigma_{\text{est}}$$

مقیاس پراکندگی متغیر (خروچی) وابسته در اطراف خط حداقل مربعات حاصل از برازش منحنی یا آنالیز رگرسیون (وایازش) است.

یادآوری ۱- خطای استاندارد برآورد می‌تواند چنین تعیین شود:

$$\sigma_{\text{est}} = \sqrt{\frac{\sum_{i=1}^n (y_i - \bar{y})^2}{n-k}}$$

که در آن:

$n$  تعداد نقاط داده؛

$k$  تعداد ضرایب در معادله است.

یادآوری ۲- خطای استاندارد میانگین می‌تواند چنین تعیین شود:

$$\sigma_{\text{est},\bar{x}} = \frac{s}{\sqrt{n}}$$

یادآوری ۳- خطای استاندارد، انحراف معیار توزیع نمونه‌برداری یک آماره است. مثال برای میانگین یک نمونه است. خطای استاندارد میانگین برآورد این نکته است که میانگین نمونه چه مقدار به میانگین جامعه آماری نزدیک است. این مقدار با افزایش اندازه نمونه کاهش می‌یابد.

[منبع: زیربند 7.31، استاندارد 2011 ISO 722: تغییریافته- اصطلاح پذیرفته شده «انحراف معیار باقیمانده» حذف شده است. یادآوری‌های ۱، ۲ و ۳ جایگزین یادآوری‌های ۱ و ۲ شده است.]

۳-۳-۳

### خطای استاندارد نسبی

#### relative standard error RSE

خطای استاندارد تقسیم بر آماره آن است.

یادآوری ۱- این کمیت بر حسب درصد بیان می‌شود.

یادآوری ۲- برای مثال، محاسبه خطای استاندارد نسبی میانگین به صورت فرمول زیر است:

$$RSE_{\bar{x}} = \frac{100 \cdot \sigma_{est,x}}{\bar{x}}$$

۴-۳-۳

### سوگیری (اریبی) اندازه‌گیری

#### **measurement bias**

برآورد خطای اندازه‌گیری سامانمند<sup>۱</sup> است.

یادآوری ۱- هنگامی که آماره به طور سامانمند متفاوت از پارامتر جامعه آماری است که برآورد می‌شود، سوگیری وجود دارد.

یادآوری ۲- قدرمطلق تفاضل مقدار اندازه‌گیری شده میانگین و مقدار گواهی شده است. سوگیری میانگین نرمال این مطالعه میانگین قدرمطلق تفاضل میانگین اندازه‌گیری شده و میانگین ماده مرجع گواهی شده خواهد بود.

$$\text{سوگیری} = \frac{\sum_{i=1}^n \Delta_{m,i}}{n}$$

[منبع: زیربند 2.28، راهنمای ISO/IEC Guide 99: 2007، تغییریافته - یادآوری‌های ۱ و ۲ اضافه شده است].

۵-۳-۳

#### باقی‌مانده

#### **residual**

اختلاف بین مقدار مشاهده شده متغیر پاسخ و مقدار برآورده شده آن است.

۶-۳-۳

#### انحراف معیار باقی‌مانده

#### **residual standard deviation**

توصیف پراکندگی مقادیر اطلاعات حول خط رگرسیون محاسبه شده است.

یادآوری- این کمیت یک معیار شایستگی<sup>۲</sup> است که دقت (۳-۵) کالیبراسیون را توصیف می‌کند.

1- Systematic

2- Figure of merit

[منبع: زیربند ۵-۲، استاندارد ملی ایران شماره ۱۳۳۳۱-۱: سال ۱۳۸۹]

۷-۳-۳

نمودار چندک

#### **quantile plot**

روش نگاشتاری (گرافیکی)<sup>۱</sup> مقایسه دو توزیع است که چندکهای توزیع (داده‌های) تجربی روی محور y رسم می‌شود، در حالی که توزیع (مرجع) نظری با میانگین و واریانس (وردايی)<sup>۲</sup> يكسان با توزیع تجربی روی محور x رسم می‌شود.

۴-۳ اصطلاحات اصلی- اندازه‌های

۱-۴-۳

اندازه‌های

#### **measurand**

کمیّت مورد نظر برای اندازه‌گیری است.

[منبع: زیربند 2.3، راهنمای ISO/IEC Guide 99: 2007، تغییریافته- یادآوری‌ها حذف شده‌است.]

۲-۴-۳

توصیفگر تصویر

#### **image descriptor**

توصیفگر استخراج شده از یک تصویر است.

[منبع: زیربند 2.1، استاندارد ISO/IEC 15938-13: 2015]

۳-۴-۳

قطر فرت

#### **Feret diameter**

فاصله بین دو خط مماس موازی رسم شده در دو طرف مقابل تصویر یک ذره است.

---

1- Graphical  
2- Variance

یادآوری- قطر فریت بیشینه (۴-۴-۳) در این استاندارد استفاده می‌شود.

[منبع: زیربند ۵-۱-۳، استاندارد ملی ایران شماره ۱۰۰۹۹-۱: سال ۱۳۹۵، تغییریافته- یادآوری اضافه شده است.]

۴-۴-۳

قطر فریت بیشینه

#### **maximum Feret diameter**

طول بیشینه یک شیء بدون درنظر گرفتن سمت‌گیری آن است.

[منبع: زیربند ۲-۱، استاندارد ملی ایران شماره ۱۵۹۷-۲: سال ۱۳۹۴، تغییریافته- یادآوری حذف شده است.]

۵-۴-۳

قطر فریت کمینه

#### **minimum Feret diameter**

طول کمینه یک شیء بدون نظر گرفتن سمت‌گیری آن است.

۶-۴-۳

محیط

#### **perimeter**

طول کل کران‌نمای<sup>۱</sup> شیء است.

[منبع: زیربند ۲-۳، استاندارد ملی ایران شماره ۱۵۹۷-۲: سال ۱۳۹۴]

۷-۴-۳

قطر دایره‌ای معادل

#### **equivalent circular diameter**

قطر دایره‌ای است که سطح یکسانی با شکل تصویرشده یک ذره (۳-۱-۳) در صفحه دارد.

مثال:  $ecd$  چنین است:

$$ecd = \sqrt{\frac{4A}{\pi}}$$

که در آن A مساحت ذره است.

[منبع: زیربند ۳-۱، استاندارد ملی ایران شماره ۱۰۰۹۹-۱: سال ۱۳۹۴، تغییریافته- یادآوری ۱ حذف شده و مثال اضافه شده است.]

۸-۴-۳

### قطر محیطی معادل

**equivalent perimeter diameter**  
**d<sub>epd</sub>**

قطر دایره‌ای که محیط (۳-۶) یکسان با شکل تصویرشده ذره (۳-۱-۳) دارد.

یادآوری- این قطر می‌تواند به صورت زیر محاسبه شود:

$$d_{epd} = \frac{P}{\pi}$$

که در آن P طول محیط است.

۹-۴-۳

### غلاف محدب (کوز)

**convex hull**

کوچک‌ترین مجموعه محدب (کوز) حاوی یک شیء هندسی معین است.

[منبع: زیربند ۴-۱-۲، استاندارد ISO 19123: 2005]

۱۰-۴-۳

### نسبت منظری

**aspect ratio**

نسبت قطر فریت کمینه (۳-۵) به قطر فریت بیشینه (۳-۴) آن است.

یادآوری - به عنوان مثال، می‌تواند به صورت زیر محاسبه شود:

$$\text{نسبت منظری} = \frac{X_{F_{\min}}}{X_{F_{\max}}}$$

که در آن:

$X_{F_{\min}}$  قطر فریت کمینه؛  
 $X_{F_{\max}}$  قطر فریت بیشینه است.

[منبع: زیربند ۴.۵، استاندارد ISO 26824: 2013، تغییریافته- یک یادآوری جایگزین یادآوری‌های ۱ و ۲ اصلی شده است.]

۱۱-۴-۳

### نسبت بیضی

#### ellipse ratio

نسبت طول‌های محورهای بیضی لختی لزاندر<sup>۱</sup> است.

یادآوری- به عنوان مثال نسبت بیضی می‌تواند نسبت محورهای فرعی به اصلی بیضی لزاندر تطبیق‌داده شده بر ذره (۳-۱-۳) باشد؛ بنابراین فاکتور شکل بیضی گون به صورت زیر است:

$$\text{نسبت بیضی} = \frac{X_{L_{\min}}}{X_{L_{\max}}}$$

که در آن:

$X_{L_{\min}}$  طول محور فرعی بیضی لختی لزاندر؛  
 $X_{L_{\max}}$  طول محور اصلی بیضی لختی لزاندر است.

[منبع: زیربند ۴.۴، استاندارد ISO 26824: 2013، تغییریافته- یادآوری اضافه شده است.]

۱۲-۴-۳

### گستردگی

#### تودینگی

#### extent bulkiness

نسبت مساحت ذره به حاصلضرب قطر فریت (۳-۴-۳) و قطر فریت کمینه (۵-۴-۳) است.

یادآوری- به عنوان مثال، گستردگی می‌تواند به صورت زیر محاسبه شود:

$$\text{گستردگی} = \frac{A}{X_{F_{\min}} \cdot X_{F_{\max}}}$$

که در آن:

$X_{F_{\min}}$  قطر فریت کمینه؛

1- Legendre ellipse of inertia

$X_{F_{max}}$  قطر فریت بیشینه است.

[منبع: زیربند ۸.۱.۳، استاندارد ISO 9276-6: 2008، تغییریافته- به یک مدخل در اصطلاحات و تعاریف تبدیل شده است. تعریف اضافه شده است.]

۱۳-۴-۳

## فسردگی

### compactness

درجه تشابه مساحت تصویرشده A از ذره (۳-۱-۳) با یک دایره، با در نظر گرفتن شکل کلی ذره (۳-۱-۳) دارای قطر فریت بیشینه (۴-۴-۳)، است.

یادآوری- به عنوان مثال فسردگی می‌تواند به صورت زیر محاسبه شود:

$$\text{فسردگی} = \frac{\sqrt{\frac{4 \cdot A}{\pi}}}{X_{F_{max}}}$$

که در آن:

A مساحت ذره؛

$X_{F_{max}}$  قطر فریت بیشینه است.

[منبع: زیربند ۸.۱.۳، استاندارد ISO 9276-6: 2008، تغییریافته- تبدیل به اصطلاحات و تعاریف شده است. در تعریف، عبارت «ذره (یا مساحت تصویرشده آن)» با «مساحت تصویرشده A از ذره» جایگزین شده و «با قطر فریت بیشینه» اضافه شده است.]

۱۴-۴-۳

## کوژی (تحدب)

### convexity

نسبت محیط (۶-۴-۳) غلاف کوژی (۹-۴-۳) بسته محدودکننده<sup>۱</sup> ذره (۳-۱-۳) به محیط آن است.

یادآوری- به عنوان مثال، کوژی می‌تواند به صورت زیر محاسبه شود:

$$\text{کوژی} = \frac{P_c}{p}$$

که در آن:

P<sub>c</sub> طول محیط غلاف کوژی (بسته) محدودکننده ذره؛

1- Envelope bounding

P طول محیط است.

[منبع: زیربند ۸.۲، استاندارد ISO 9276-6: 2008، تغییریافته- به یک مدخل در اصطلاحات و تعاریف تبدیل شده است. تعریف اضافه شده است.]

۱۵-۴-۳

دایره‌ای بودن

**circularity**  
C

درجه تشابه مساحت تصویرشده ذره (۳-۱-۳)، بر پایه محیط (۳-۶) آن، با دایره است.

یادآوری- به عنوان مثال، دایره‌ای بودن می‌تواند به صورت زیر محاسبه شود:

$$C = \frac{x_a}{x_p} = \sqrt{\frac{4 \cdot \pi \cdot A}{P^2}}$$

که در آن:

$x_a$  قطر معادل مساحت یک ذره؛

$x_p$  قطر معادل محیط یک ذره؛

A مساحت ذره؛

P طول محیط است.

[منبع: زیربند ۴.۱۲، استاندارد ISO 26824: 2013، تغییریافته- «مساحت تصویرشده ذره» جایگزین «مساحت تصویرشده ذره A» شده است. «برپایه محیط آن» جایگزین «با درنظر گرفتن صافی محیط آن P» شده است. فرمول و یادآوری جایگزین شده است.]

۱۶-۴-۳

گردی

**roundness**

مربع فشردگی (۳-۴-۱۳) است.

۱۷-۴-۳

یکپارچگی

**solidity**

نسبت مساحت تصویرشده A به مساحت غلاف کوژی ( $A_c$  ۳-۴-۹) (بسته) است.

یادآوری- به عنوان مثال، یکپارچگی می‌تواند چنین محاسبه شود:

$$\text{یکپارچگی} = \frac{A}{A_C}$$

[منبع: زیربند 4.13، استاندارد ISO 26824: 2013، تغییریافته - یادآوری حذف شده است]

### ۳-۵ اصطلاحات اصلی - اندازه‌شناسی

۱-۵-۳

#### شرایط تکرارپذیری اندازه‌گیری

##### **repeatability conditions of measurement**

شرایط اندازه‌گیری از میان مجموعه‌ای از شرایط، شامل روش اجرایی اندازه‌گیری یکسان، کاروران<sup>۱</sup> یکسان، سامانه اندازه‌گیری یکسان، شرایط عملیاتی یکسان، مکان یکسان و تکرار اندازه‌گیری‌ها روی اشیاء یکسان یا مشابه، در دوره زمانی کوتاه است.

[منبع: زیربند 2.20، استاندارد ISO/IEC Guide 99: 2007، تغییریافته - اصطلاح مجاز «شرط تکرارپذیری» و یادآوری‌ها حذف شده است.]

۲-۵-۳

#### شرط دقت میانی اندازه‌گیری

##### **intermediate precision condition of measurement**

شرط اندازه‌گیری از میان مجموعه‌ای از شرایط، شامل روش اجرایی اندازه‌گیری یکسان، مکان یکسان، تکرار اندازه‌گیری‌ها روی اشیاء یکسان یا مشابه در دوره زمانی طولانی است، ولی سایر شرایط ممکن است تغییر کند.

[منبع: زیربند 2.22، استاندارد ISO/IEC Guide 99:2007، تغییریافته - اصطلاح مجاز «شرط دقت میانی» و یادآوری‌ها حذف شده است.]

۳-۵-۳

#### شرط تجدیدپذیری اندازه‌گیری

##### **reproducibility condition of measurement**

شرط اندازه‌گیری از میان مجموعه‌ای از شرایط، شامل مکان‌ها، کاروران، سامانه‌های اندازه‌گیری و اندازه‌گیری‌های تکراری متفاوت روی اشیاء یکسان یا مشابه است.

یادآوری ۱- سامانه‌های اندازه‌گیری مختلف ممکن است از روش‌های اجرایی مختلفی استفاده کنند.

یادآوری ۲- توصیه می‌شود تا حد امکان ویژگی‌های مربوط به شرایط تغییریافته و تغییرنیافته باشند.

[منبع: زیربند 2.24، راهنمای ISO/IEC Guide 99:2007، تغییریافته- اصطلاح مجاز «شرط تجدیدپذیری» حذف شده‌است.]

۴-۵-۳

### درستی اندازه‌گیری

#### measurement accuracy

نزدیکی توافق بین مقدار کمیت اندازه‌گیری‌شده و مقدار کمیت صحیح یک‌اندیشه (۱-۴-۳) است.

یادآوری ۱- مفهوم «درستی اندازه‌گیری» یک کمیت نیست و با مقدار عددی بیان نمی‌شود. هرچه عدم قطعیت اندازه‌گیری کوچکتر باشد، گفته می‌شود آن اندازه‌گیری درست‌تر است.

یادآوری ۲- بهتر است اصطلاح «درستی اندازه‌گیری» برای «صحّت اندازه‌گیری»<sup>۱</sup> استفاده نشود و بهتر است اصطلاح «دقّت اندازه‌گیری» برای «درستی اندازه‌گیری» استفاده نشود، هر چند که این اصطلاح به هر دو مفهوم مربوط است.

یادآوری ۳- گاهی «درستی اندازه‌گیری» به عنوان نزدیکی توافق مقادیر اندازه‌گیری‌شده‌ای درک می‌شود که به اندازه‌ده نسبت داده شده‌اند.

[منبع: زیربند 2.13، راهنمای ISO/IE Guide 99: 2007، تغییریافته- اصطلاح مجاز «درستی اندازه‌گیری» و «درستی» حذف شده‌است. در یادآوری ۱، «عدم قطعیت اندازه‌گیری» جایگزین «خطای اندازه‌گیری» شده‌است.]

۵-۵-۳

### دقّت

#### precision

#### دقّت اندازه‌گیری

نزدیکی توافق بین نشانگرها<sup>۲</sup> یا مقادیر کمیت اندازه‌گیری‌شده حاصل از تکرار اندازه‌گیری‌ها روی اشیاء یکسان یا مشابه تحت شرایط مشخص است.

یادآوری ۱- دقّت اندازه‌گیری به طور معمول به صورت عددی به وسیله سنجه‌های<sup>۳</sup> عدم دقّت، مانند انحراف معیار، واریانس یا ضریب تغییرات (۳-۳-۱)، تحت شرایط معین اندازه‌گیری بیان می‌شود.

1- Measurement trueness

2- Indications

3- Measures

یادآوری ۲- «شرایط مشخص» می‌تواند، به عنوان مثال، شرایط تکرارپذیری اندازه‌گیری (۳-۵-۱)، شرایط دقّت میانی اندازه‌گیری (۳-۵-۲) یا شرایط تجدیدپذیری اندازه‌گیری (۳-۵-۳) باشد (به استاندارد ملی ایران شماره ۷۴۴۲-۳: سال ۱۳۸۴ مراجعه شود).

یادآوری ۳- دقّت اندازه‌گیری برای تعریف تکرارپذیری اندازه‌گیری، دقّت اندازه‌گیری میانی و تجدیدپذیری اندازه‌گیری استفاده می‌شود.

یادآوری ۴- گاهی «دقّت اندازه‌گیری» به اشتباه به معنای درستی اندازه‌گیری (۳-۵-۴) استفاده می‌شود.

[منبع: زیربند 2.15، راهنمای ISO/IEC Guide 99: 2005، تغییریافته- «دقّت» اصطلاح مرجح و «دقّت اندازه‌گیری» اصطلاح مجاز شده است.]

## ۶-۵-۳

### عدم قطعیت اندازه‌گیری استاندارد مركب

#### combined standard measurement uncertainty

عدم قطعیت اندازه‌گیری استاندارد است که با استفاده از عدم قطعیت‌های اندازه‌گیری استاندارد مجزای مربوط به کمیت‌های ورودی در یک مدل اندازه‌گیری به دست می‌آید.

یادآوری- در موارد همبستگی کمیت‌های ورودی در مدل اندازه‌گیری، باید هنگام محاسبه عدم قطعیت اندازه‌گیری استاندارد، مركب کوواریانس‌ها (هموردائی‌ها)<sup>۱</sup> در نظر گرفته شود؛ همچنین به زیر بند 2.3.4 راهنمای ISO/IEC Guide 98-3: 2008 مراجعه شود.

## ۷-۵-۳

### عدم قطعیت اندازه‌گیری گستردگی

#### expanded measurement uncertainty $U$

حاصل ضرب عدم قطعیت اندازه‌گیری استاندارد مركب و فاكتوری بزرگ‌تر از عدد یک است.

یادآوری ۱- فاكتور به نوع توزیع احتمال کمیت خروجی در یک مدل اندازه‌گیری و احتمال پوشش<sup>۲</sup> انتخابی بستگی دارد.

یادآوری ۲- اصطلاح «فاكتور» در این تعریف به فاكتور پوشش اشاره دارد.

یادآوری ۳- عدم قطعیت اندازه‌گیری گستردگی، در پاراگراف ۵ توصیه‌نامه بین‌المللی INC-1 (1980) (به راهنمای بیان عدم قطعیت اندازه‌گیری (GUM)<sup>۳</sup> مراجعه شود) به عنوان «عدم قطعیت کلی» و در استانداردهای IEC فقط «عدم قطعیت» مصطلح است.

1- Covariances

2- Coverage

3- Guide to the Expression of Uncertainty in Measurement

[منبع: زیربند 2.35، راهنمای ISO/IEC Guide 99: 2007، تغییریافته - اصطلاح مجاز «عدم قطعیت گستردگی» حذف شده است. نماد U اضافه شده است.]

۸-۵-۳

### ارزشیابی نوع A عدم قطعیت اندازه‌گیری

#### Type A evaluation of measurement uncertainty

ارزشیابی یک جزء از عدم قطعیت اندازه‌گیری از طریق تحلیل آماری، مقادیر کمیت اندازه‌گیری شده که تحت شرایط اندازه‌گیری تعریف شده به دست می‌آید.

[منبع: زیربند 2.28، راهنمای ISO/IEC Guide 99: 2007، تغییریافته - اصطلاح مجاز «ارزشیابی نوع A» و یادآوری حذف شده است.]

۹-۵-۳

### ارزشیابی نوع B عدم قطعیت اندازه‌گیری

#### Type B evaluation of measurement uncertainty

ارزشیابی یک جزء از عدم قطعیت اندازه‌گیری که با روشی غیر از ارزشیابی نوع A عدم قطعیت اندازه‌گیری تعیین می‌شود.

[منبع: زیربند 2.29، راهنمای ISO/IEC Guide 99: 2007، تغییریافته - اصطلاح مجاز «ارزشیابی نوع B»، یادآوری و مثال‌ها حذف شده است.]

۱۰-۵-۳

### ماده مرجع

#### reference material

##### RM

ماده‌ای به اندازه کافی همگن و پایدار که با توجه به یک یا چند خاصیت مشخص ایجاد شده است تا برای استفاده موردنظر آن در یک فرایند اندازه‌گیری مناسب باشد.

[منبع: زیربند 2.1.1، راهنمای ISO Guide 30: 2015، تغییریافته - یادآوری‌ها حذف شده است.]

۱۱-۵-۳

### ماده مرجع گواهی شده

#### certified reference material

##### CRM

ماده مرجع (RM) (۳-۵-۱۰) مشخصه یابی شده با یک روش اجرایی اندازه‌شناختی معتبر، برای یک یا چند خاصیت مشخص همراه با یک گواهی RM است. این گواهی RM، مقدار خاصیت مشخص، عدم قطعیت مرتبط با آن و بیانیه ردیابی اندازه‌شناختی را ارائه می‌کند.

[منبع: زیربند ۲.۱.۲، راهنمای ISO Guide 30: 2015، تغییر یافته - یادآوری‌ها حذف شده‌است.]

### ۳-۶ اصطلاحات اصلی - میکروسکوپی الکترونی عبوری

۱-۶-۳

#### میکروسکوپی الکترونی عبوری

**transmission electron microscopy**  
**TEM**

روشی است که با استفاده از یک باریکه الکترونی که از نمونه عبور کرده و با آن برهم‌کنش می‌کند، تصاویر بزرگنمایی شده یا الگوهای پراش نمونه را تولید می‌کند.

[منبع: زیربند ۳-۵-۶، استاندارد ملی ایران - ایزو شماره ۴-۶:۸۰۰۰۴: سال ۱۳۹۶]

۲-۶-۳

#### میکروسکوپی الکترونی عبوری روبشی

**scanning transmission electron microscopy**  
**STEM**

روشی است که تصاویر بزرگنمایی شده و یا الگوهای پراش نمونه را به‌وسیله یک باریکه الکترونی که به‌خوبی کانونی شده، تولید می‌کند. این باریکه سطح نمونه را روبش کرده و از میان آن عبور و با آن برهم‌کنش می‌کند.

[منبع: زیربند ۳-۵-۷، استاندارد ملی ایران - ایزو شماره ۴-۶:۸۰۰۰۴: سال ۱۳۹۶، تغییر یافته - یادآوری‌ها حذف شده‌است.]

۳-۶-۳

#### ولتاژ شتاب‌دهنده

**acceleration voltage**

اختلاف پتانسیل اعمال شده بین رشته<sup>۱</sup> و آند به‌منظور شتاب‌دادن الکترون‌های انتشار یافته از منبع است.

1- Filament

[منبع: زیربند ۳.۳، استاندارد ISO 22309: 2011، تغییریافته - یادآوری حذف شده است.]

۴-۶-۳

### حالت میدان روشن - میکروسکوپی الکترونی عبوری

روش TEM - میدان روشن

**bright – field transmission electron microscopy**  
**bright – field TEM**

روشنایی<sup>۱</sup> و تصویربرداری الکترونی روش TEM است که در آن باریکه الکترونی مستقیم از میان نمونه عبور می‌کند و تصویر روی صفحه کانونی پشتی فقط بهوسیله موج عبوری با انتخاب موج بهوسیله دریچه شیئی تشکیل می‌شود.

یادآوری ۱ - بهطور کلی بخش‌هایی از نمونه که ضخیم‌تر هستند یا عدد اتمی (Z) بیشتری دارند در پس‌زمینه روشن‌تر، تیره‌تر ظاهر می‌شوند. در این حالت، تباین (وضوح)<sup>۲</sup>، هنگامی که بهصورت کلاسیک درنظر گرفته شود، بهصورت مستقیم به وسیله انسداد و جذب الکترون‌ها در نمونه شکل می‌گیرد. نواحی ضخیم‌تر نمونه یا نواحی با عدد اتمی بیشتر، تیره ظاهر خواهند شد، درحالی که نواحی بدون نمونه در مسیر باریکه، روشن ظاهر می‌شوند، بنابراین به آن اصطلاح «میدان روشن» اطلاق می‌شود.

یادآوری ۲ - این اصطلاح در واژهنامه میکروسکوپی الکترونی آنالیزی که توسط ISO/TC 202/SC1 در دست آمده‌سازی است نیز وجود دارد.

[منبع: زیربند ۳-۳، استاندارد ملی ایران شماره ۱۸۰۸۵: سال ۱۳۹۳]

۵-۶-۳

### حالت میدان تاریک - روش میکروسکوپی الکترونی عبوری

روش TEM - میدان تاریک

**dark field transmission electron microscopy**  
**dark – field TEM**

روشنایی و تصویربرداری الکترونی روش TEM است که در آن باریکه الکترونی مستقیم از میان نمونه عبور کرده و تصویر روی صفحه کانونی پشتی فقط بهوسیله موج پراش یافته (پراشیده)<sup>۳</sup> با انتخاب موج بهوسیله دریچه شیئی تشکیل می‌شود.

یادآوری ۱ - بخش‌های بلورین نمونه، الکترون‌های باریکه مستقیم را به مکان‌های مجزا در صفحه کانونی پشتی پراکنده می‌کنند. با قرار دادن دریچه‌ها در صفحه کانونی پشتی بخش‌های مطلوب امواج بازتابی می‌توانند انتخاب شوند. پس فقط آن

1- Illumination

2- Contrast

3- Diffracted wave

بخش‌هایی از نمونه که سبب پراکنده شدن الکترون‌ها به امواج بازتابی می‌شوند، تصویر خواهد شد. اگر امواج بازتابی شامل باریکه پراکنده نشده نباشند، یعنی هنگامی که هیچ پراکنده‌گی نمونه در پیک‌های انتخابی وجود نداشته باشد، تصویر تاریک ظاهر خواهد شد. بنابراین اصطلاح «میدان تاریک» به آن اطلاق می‌شود.

**یادآوری ۲** - دستگاه‌های TEM نوین اغلب مجهز به نگهدارنده‌های نمونه‌ای هستند که امکان کج کردن نمونه در جهت‌های مختلف برای به دست آوردن شرایط پراش ویژه را به کاربر می‌دهد. موجی که سبب پراکنده‌گی و بازتاب (برای مثال بازتاب برآگ) در نمونه بلورین می‌شود، تصویر میدان تاریک تشکیل خواهد داد. این تصویر به وسیله انتخاب موج پراشی ویژه از میان دریچه‌های شیئی که روی صفحه کانونی پشتی عدسی‌های شیئی قرار دارند، تشکیل می‌شود.

**یادآوری ۳** - تصویربرداری میدان تاریک حلقوی زاویه بزرگ (HAADF)<sup>۱</sup> به تغییرات عدد اتمی در اتم‌های نمونه بسیار حساس بوده و تصاویری را تشکیل می‌دهد که تباين-Z نامیده می‌شود. این تصاویر اطلاعات مفیدی را در مورد وجود فلزات در نانولوله‌های کربنی و باقی‌مانده‌های کاتالیزگر<sup>۲</sup>، حتی هنگامی که این ذرات (۳-۱-۳) فلزی کوچک در کربن بی‌شکل یا پایه<sup>۳</sup> کاتالیزگر جاسازشده باشد، ارائه می‌دهد. در غیراین صورت، این ذرات (۳-۱-۳) در حالت تصویر میدان روش غیرقابل مشاهده خواهند بود.

**یادآوری ۴** - این اصطلاح در واژه‌نامه میکروسکوپی الکترونی آنالیزی که توسط ISO/TC 202/SC1 در دست آمده‌سازی است، وجود خواهد داشت.

[منبع: زیربند ۳-۴، استاندارد ملی ایران شماره ۱۸۰۸۵: سال ۱۳۹۳، تغییریافته]

### ۷-۳ نمادهای آماری، اندازه‌دها و توصیفگرهای آماری

نمادهای آماری	اندازه‌دها	توصیفگرهای آماری
$C_V$	ضریب تغییرات	
$q(x)$	توزیع تفاضلی (توزیع چگالی)	
$Q(x)$	توزیع تجمعی	
$P$	آمار بازگشته از تحلیل واریانس و تحلیل دو متغیره	
RSE	خطای استاندارد نسبی	
$S$	انحراف معیار توصیفگر، $x$ یا پارامتر توصیفگر	
$s^2$	واریانس توصیفگر یا پارامتر توصیفگر	
$\sigma_{est}$	خطاهای استاندارد برآورد	
$X$	مقدار توصیفگر یا پارامتر توصیفگر	
$\bar{X}$	میانگین توصیفگر یا پارامتر توصیفگر	
$X(x)$	تبدیل توصیفگر (به طور مثال $X(x)=x$ برای توزیع نرمال، $X(x)=\ln x$ برای توزیع لگاریتم نرمال	
$Y(Q)$	تبدیل $Q$ رسم شده روی محور $y$ ، یعنی $Y=$ عکس توزیع. دیگر تبدیل‌ها در جدول ۱، استاندارد ملی ایران شماره ۱۳۹۲: سال ۱۳۹۰-۱-۳	

1- High-Angle Annular Dark-Field

2- Catalyst

3- Support

یادآوری - اندازه‌گیری‌های کمیت و انواع توزیع‌ها در استاندارد ملی ایران شماره ۱۳۸۴: سال ۱۳۸۰-۱-۱ تعریف شده است.

### ۲-۷-۳ اندازه‌دها و توصیفگرها

یادآوری - اندازه‌دها و توصیفگرها برای اندازه‌گیری‌های اندازه و شکل می‌تواند به طور مستقیم متناسب با طول (رده ۱) یا متناسب با مربع طول (رده ۲) باشد.

### ۱-۲-۷-۳ توصیفگرها و نمادها - رده ۱

طول محیط	$P$
طول محیط غلاف کوژی، (بسته) محدود‌کننده ذره	$P_c$
قطر معادل مساحت ذره [همچنین به عنوان «قطر دایره‌ای معادل (EDC)» شناخته می‌شود.]	$x_a$
قطر فریت بیشینه؛ متناظر با «طول» ذره	$x_{F_{max}}$
قطر فریت کمینه؛ متناظر با «عرض» ذره	$x_{F_{min}}$
طول محور اصلی بیضی لختی لِزاندر	$x_{L_{max}}$
طول محور فرعی بیضی لختی لِزاندر	$x_{L_{min}}$
قطر معادل محیط ذره	$x_p$

$$x_p = \frac{P}{\pi}$$

### ۲-۲-۷-۳ توصیفگرها و نمادها - رده ۲

مساحت ذره	$A$
مساحت غلاف کوژی (بسته) محدود‌کننده ذره	$A_c$
مساحت محاسبه شده به وسیله حاصلضرب دو طول	$L^2$

یادآوری - قطر معادل حجم،  $x_7$  و قطر معادل سطح،  $x_5$ ، به دلیل آن‌که آنها توصیفگرهای سه بعدی هستند، درنظر گرفته نشده است.

### ۱-۲-۷-۳ نمادهای توصیفگر شکل - رده ۱

نسبت منظری	$AR$
نسبت بیضی	$ER$

یادآوری ۱ - به جای تعریف معکوس که در سایر متون علمی بسیار رایج است، توصیفگرهای شکل کشامدی ISO برای آنالیز تصویر به گونه‌ای تعریف می‌شود که مقادیر آن در بازه صفر تا یک مقیاس شود. تعاریف ISO بازه متغیر توصیفگر را محدود می‌کند که سبب می‌شود احتمال و چگالی تجمعی، فشرده‌تر رسم شوند.

$C$  دایره‌ای بودن

یادآوری ۲- به جای تعریف معکوس که در سایر متون علمی بسیار رایج است، توصیفگرهای شکل کشامدی ISO برای آنالیز تصویر به گونه‌ای تعریف می‌شود که مقادیر آن در بازه صفر تا یک مقیاس شود. تعاریف ISO بازه متغیر توصیفگر را محدود می‌کند که سبب می‌شود احتمال و چگالی تجمعی فشرده‌تر رسم شوند.

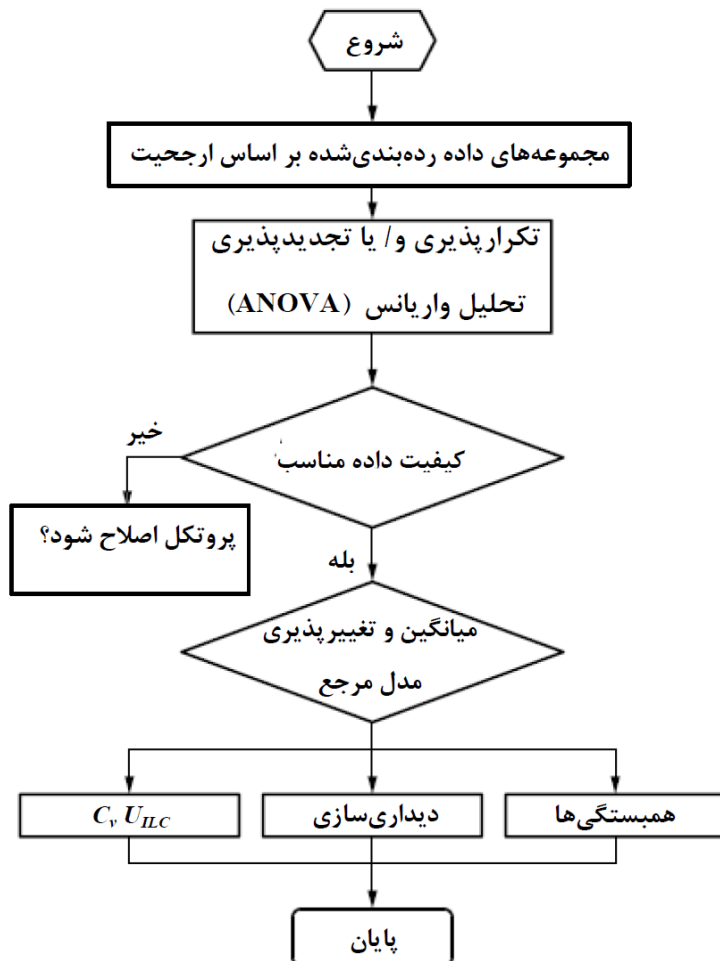
#### ۴ نیازهای طرف ذی‌نفع برای روش‌های اجرایی اندازه‌گیری TEM

این استاندارد به نیازهای جامعه کاربران برای توزیع‌های اندازه و شکل به شرح زیر اشاره دارد:

- الف- توصیه می‌شود مواد موجود تجاری اندازه‌گیری شوند؛
- ب- گرفتن داده‌ها، اندازه‌گیری و آنالیز آن‌ها، تا جایی که عملی است، خودکار انجام شود؛
- پ- توصیه می‌شود گردش کارها سبب تسهیل تصمیمات درمورد تصویرگیری، اندازه‌گیری ذره و آنالیز داده‌ها شود؛
- ت- توصیه می‌شود مثال‌های مطالعه موردی موضوعات زیر را شرح دهد:
  - ۱- شناسایی ذراتی که در تماس با یکدیگر هستند، ذرات غیرانتخابی و آلایه‌های تصویر؛
  - ۲- انتخاب توصیفگر اندازه و شکل با تکرارپذیری و تجدیدپذیری بالا؛
  - ۳- برآورد عدم قطعیت‌های اندازه‌گیری برای پارامترهای توزیع، یعنی میانگین و تغییرپذیری؛
  - ۴- تفکیک بین نمونه‌ها با استفاده از توصیفگرهای اندازه و شکل؛
  - ۵- استفاده از ابزارهای دیداری‌سازی برای تکمیل نتایج عدم قطعیت اندازه‌گیری.

شکل ۲ گردش کار برای اندازه‌گیری توزیع‌های اندازه و شکل ذره را شرح می‌دهد که به نیازهای طرف ذی‌نفع اشاره دارد. مهم است که هر ذره‌ای که بررسی آن موردنظر نیست، شناسایی شود. حذف کردن ذراتی که در تماس با یکدیگر هستند، ضروری است یا ارجحیت دارد. توصیه می‌شود تکرارپذیری داده‌ها، دقیق میانی یا تجدیدپذیری با توجه به کاربرد مقداریابی<sup>۱</sup> شود. برآش توزیع‌های داده‌ها، مقادیری برای میانگین و تغییرپذیری توزیع‌های مرجع ارائه می‌کند که می‌توان برای آن عدم قطعیت‌های اندازه‌گیری را برآورد کرد. در برخی از موارد، نتایج عددی مجزا (میانگین، تغییرپذیری و عدم قطعیت‌های آن‌ها) به تنها‌ی نمی‌تواند بین مدل‌ها و یا داده‌ها تفکیک قابل شود.

ابزارهای دیداری‌سازی و همبستگی می‌تواند اطلاعات مکملی را در مورد نمونه آزمون ارائه دهد.



شکل ۲- گردش کار برای اندازه‌گیری توزیع‌های شکل و اندازه ذره به وسیله TEM

## ۵ آماده‌سازی نمونه

## ۱-۵ کلیات

مراحل اجرایی (آماده‌سازی نمونه، چیدمان دستگاه و کالیبراسیون و تصویرگیری) بسیار به یکدیگر وابسته هستند. همه این مراحل در تولید مجموعه‌های داده با کیفیت بالا از توصیفگرهای اندازه و شکل سهیم هستند. ابزارهای آماری مانند تحلیل واریانس، برآش مدل‌های توزیع به داده‌ها و تحلیل دومتغیره<sup>۱</sup>، می‌توانند به پژوهشگر کمک کنند تا روش اجرایی برای فراهم کردن درستی یا عدم قطعیت اندازه‌گیری موردنیاز برای نمونه ویژه را تنظیم کند.

اغلب نیاز است که تعداد زیادی از نانوذرات، تصویر و آنالیز شوند تا توزیع اندازه ذرات به دست آید. هنگامی که نرم‌افزار آنالیز تصویر استفاده شود، می‌توان زمان آنالیز ذره را کاهش و کیفیت داده‌ها را افزایش داد. هنگامی که روش‌های اجرایی برای نمونه‌های ناشناخته توسعه می‌یابند، مرور دقیق کل فرایند برای

1- Bivariate

تعیین آن که کدامیک از عوامل برای نمونه در دسترس فوری بسیار مهم است، می‌تواند مفید باشد. هنگامی که از نرمافزار آنالیز تصویر استفاده می‌شود، آنالیز تسهیل خواهد شد. نرمافزارهای تجاری و متن باز<sup>۱</sup> هر دو در دسترس هستند. تصاویر باید کیفیت کافی داشته باشند به‌گونه‌ای که ذرات مجزا بتوانند تفکیک شوند و ابعاد آن‌ها اندازه‌گیری شود. هدف مهم آماده‌سازی نمونه، تولید توزیع‌های یکنواخت از ذرات در سراسر زیرلایه‌های نگهدارنده است.

## ۲-۵ منابع نمونه

نمونه‌ها به‌طور معمول به‌صورت پودر یا تعلیقه تأمین می‌شوند. نمونه‌های پودری برای ارزشیابی TEM قبل از رسوب روی یک زیرلایه، در مایعات پراکنده می‌شوند. به‌منظور تصویربرداری ذرات گستته، اغلب نیاز است که تعلیقه‌ها رقیق شوند. اهداف کلیدی آماده‌سازی نمونه عبارتند از:

- الف- از یک نمونه نماینده پودری یا مایع استفاده کنید؛
- ب- کلوخگی در پراکنه مورد استفاده به‌عنوان نگهدارنده نمونه را کمینه کنید؛
- پ- پیوستگی ذره-ذره روی پایه را کمینه کنید؛
- ت- نمونه را به‌صورت یکنواخت در سراسر پایه توزیع کنید (به استاندارد ISO 9276-3 مراجعه شود)؛
- ث- یک پایه که تباين بین ذره و پس‌زمینه را بهبود بخشد، انتخاب کنید.

اطلاعات مربوط به اثر سلامت نانوذرات گوناگون همچنان در حال تکمیل است. این احتمال وجود دارد که برخی از نانومواد برای سلامتی مخاطره‌آمیز باشند، درحالی که برخی دیگر ممکن است مخاطره‌آمیز نباشند یا ممکن است پس از مواجهه، سبب تأثیرات سوء بر سلامت نشوند. توصیه می‌شود آماده‌سازی نمونه با پوشیدن تجهیزات حفاظت فردی مناسب از جمله دستکش یکبار مصرف، عینک‌های ایمنی، روپوش‌های آزمایشگاهی، دستگاه تنفس فیلتردار و غیره انجام شود. توصیه می‌شود آماده‌سازی نمونه در هوای تهווیه فیوم (دز دود)<sup>۲</sup> مجهز به فیلترهای هوای مناسب انجام شود.

## ۳-۵ استفاده از یک نمونه نماینده

### ۱-۳-۵ کلیات

نانوذرات می‌توانند حین فرایندهای ساخت برای نانومواد مهندسی‌شده در چندین حالت کلولئیدی وجود داشته باشند. به‌عنوان مثال فرایندهای رسوب بخار شیمیایی یا رسوب بخار فیزیکی می‌توانند «جوانه‌هایی»<sup>۳</sup> را تولید کنند که ممکن است به هواسُل‌های نانوذرات تبدیل شوند. نانوذراتی که به‌وسیله مایع به‌سرعت سرد می‌شوند، می‌توانند منجمد شوند، قبل از انجماد سطوح آن‌ها با یکدیگر جوش خورده و منجر به محصولات انبوهی‌ده شوند که ابعاد بزرگ‌تر از میکرومتر دارند ولی از ذرات بسیاری تشکیل شده‌اند. از آن‌جا که ذرات

1- Open source

2- Vented fume hood

3- Seeds

اولیه اصلی اغلب در انبوهه قابل تشخیص نیستند، اصطلاح «ذرات جزء سازنده<sup>۱</sup>» استفاده می‌شود تا ذرات قابل تشخیص در داخل یک انبوهه را توصیف کنند.

### ۲-۳-۵ نمونه‌های پودری

از آنجاکه ماده می‌تواند تحت ارتعاش و نیروهای انتقالی بازتوزیع شود، نیاز است که نمونه‌های پودری به دقت برداشته شوند. همچنین نیاز است که نمونه‌ها به دقت جابه‌جا شوند، بهویژه اگر آن‌ها انبوهیده باشند و بتوانند با عملیات مکانیکی شکسته شوند. استاندارد ملی ایران شماره ۱۰۱۰۰: سال ۱۳۸۶ و استاندارد ملی ایران شماره ۱۲۹۲۲: سال ۱۳۸۸، رهنمودهایی را در مورد چگونگی برداشتن و جابه‌جایی نمونه‌های پودری ارائه می‌دهند. اغلب پودرها و نانوذرات در فاز گازی به‌طور منفی باردار شده‌اند، بنابراین بارگذاری نمونه‌های خشک روی سطوح زیرلایه که معمولاً به‌طور منفی باردار شده‌اند، اغلب منجر به کلوخه‌های بزرگ می‌شود که تصویربرداری از آن‌ها مشکل است. نمونه‌های پودری به‌طور معمول برای تصویربرداری TEM با پراکنش آن‌ها در فاز مایع آماده شده، سپس روی زیرلایه اندازه‌گیری یا توری رسوب‌دهی می‌شوند.

### ۳-۵ پراکنه‌های نانوذرات در مایعات

در دیگر سامانه‌های ساخت، پیش‌سازهای<sup>۲</sup> نانوذرات، ابتدا در فاز مایع در ابعاد کلوئیدی پراکنش یافته و به دنبال آن به سُل‌های مایع تبدیل می‌شوند. پراکنه‌های کلوئیدی پایدار در فاز مایع به‌طور معمول به‌منظور جلوگیری از کلوخگی به روش‌های پایدارسازی ایستابرقی<sup>۳</sup> و یا ریختاری<sup>۴</sup> نیاز دارند. به‌منظور کاهش تماس نانوذرات با یکدیگر باید پراکنه‌های نانوذرات تغییضشده روی توری یا زیرلایه اندازه‌گیری رقیق شوند. پایداری پراکنه کلوئیدی بر اینکه آیا آن‌ها به‌صورت ذرات گستته یا کلوخه، انبوهه یا لخته<sup>۵</sup> باقی می‌مانند، تأثیر می‌گذارد. پایداری کلوئیدی، به شیمی سطح ذره، پوشش‌ها یا محصولات افزایشی<sup>۶</sup> روی ذرات، شیمی حلال و لیگاندهای آلی و معدنی در فاز سیال بستگی دارد. مانند آن‌چه در برخی از مطالعات موردي نشان داده شده‌است، سونیک کردن می‌تواند در پراکنش برخی از نانوذرات در مایعات مؤثر باشد.

### ۴-۵ کمینه‌سازی کلوخگی ذره در پراکنه نمونه

نیروهایی که بر پایداری سامانه‌های کلوئیدی تأثیر می‌گذارند شامل موارد زیر هستند:

- الف- دافعه حجم مستثنی<sup>۷</sup>؛
- ب- برهم‌کنش ایستابرقی؛
- پ- نیروهای وان دروالس؛

1- Constituent particle

2- Precursors

3- Electrostatic

4- Steric

5- Flocculate

6- Adducts

7- Excluded volume repulsion

- ت- نیروهای آنتروپی؛
- ث- برهمنکنندهای ریختاری.

دافعه متقابل بارهای الکتریکی مشابه روی کلوئیدهای حاوی نانوذره منجر به پایدارسازی ایستابرقی می‌شود. لایهای دوتایی الکتریکی می‌توانند در فصل مشترک نانوذره/ مایع تشکیل شوند. نانوذرات بهدلیل اندازه کوچک، می‌توانند مساحت‌های سطح بسیار بزرگ بر حجم (جرم) داشته باشند، بنابراین نیروهای دافعه سطحی می‌توانند به نیروهای شناوری غلبه کنند که ممکن است منجر به تهنشینی ذرات بسیار ریز شوند. پایدارسازی ریختاری کلوئیدها هنگامی رخ می‌دهد که پوشش‌ها، مانند بسپارها<sup>۱</sup> یا چندپارها<sup>۲</sup>، به سطوح نانوذرات می‌چسبند. این پوشش‌ها مانع از نیروهای جاذبه‌ای می‌شوند که به واسطه نزدیکی به اندازه کافی نانوذرات ایجاد خواهد شد و بنابراین از کلوخگی جلوگیری می‌کنند.

بسیاری از محصولات نانوذرات تجاری، پوشش‌های سطحی دارند یا سطح آن‌ها عامل‌دار می‌شود. این عمل به گونه‌ای طراحی می‌شود که پراکنش آن‌ها را در محیط‌های ویژه، کنترل کند. ناپایداری کلوئیدهای نانوذره در پراکنهای مایع می‌تواند به واسطه سازوکارهای گوناگونی رخ دهد. روش‌های رایج برای کنترل کردن نیروهای جاذبه بین ذرات، انتخاب مایع پراکنش و عامل پراکنش است (به استاندارد ISO 14887 و مرجع [22] مراجعه شود). اگر مایع انتخابی کلوخگی را کاهش دهد یا از آن جلوگیری کند، انتخاب مایع پراکنش به طور معمول ارجحیت دارد، زیرا عوامل پراکنش نانوذرات را پوشش می‌دهند. عامل پراکنش ممکن است بسته به نسبت اندازه بین نانوذرات و این عامل، روی تصویربرداری سطوح ذرات و سطح مقطع‌ها تأثیر بگذارد. همچنین، کمک پراکنش‌ها<sup>۳</sup> می‌توانند از نانوذرات واجذب شوند یا ممکن است به وسیله تغییرات دما و ترکیب‌بندی فاز مایع سبب کلوخگی ذرات شوند؛ بنابراین آن‌ها باید با دقت انتخاب شوند.

#### ۵-۵ انتخاب پایه نگهدارنده

چندین روش معمول برای رسوب‌دهی نانوذرات روی زیرلایه‌های اندازه‌گیری در دسترس است (به مرجع [22] مراجعه شود). یک پایه مرجع دارای اکثر مشخصات زیر است:

- الف- در میدان دید انتخابی، تخت است؛
- ب- شدت پس‌زمینه در سراسر میدان دید کم و یکنواخت (میدان روشن) است؛
- پ- تباين خوبی بین ذرات و پس‌زمینه وجود دارد.

انواع مختلف نمونه‌ها اغلب نیاز به راهبردهای مختلف آماده‌سازی آزمونه دارند؛ استانداردهای معمول به کاربرده شده بر پایه توری-روی قطره<sup>۴</sup> و پیکربندی روی-توری<sup>۵</sup> هستند. ترکیب‌بندی ذره، شیمی سطح ذره، حلّال پراکنش، شرایط بازی یا اسیدی، اصلاحات پایه نگهدارنده و فاکتورهای دیگر در کیفیت پایه

---

1- Polymers  
2- Oligomers  
3- Dispersing aids  
4- Grid-on-drop  
5- On-grid configuration

نگهدارنده و روش‌های نگهداشتن آزمونه سهیم هستند. بنابراین در گزارش آنالیز، آماده‌سازی آزمونه، شامل همه مواد مصرفی و مواد شیمیایی باید با جزئیات بسیار، توضیح داده شوند.

## ۶ فاکتورهای دستگاه

### ۱-۶ چیدمان دستگاه

زیربند 6.3 استاندارد ISO 29301: 2017 رهنمودی در مورد شرایط عملیاتی کار با میکروسکوپ‌های الکترونی ارائه می‌دهد. پارامترهای دستگاه TEM باید به گونه‌ای انتخاب شوند [22] تا تصاویر با کیفیت بالا با تبیان خوب بین پس زمینه و ذره را فراهم کنند. برای سهیم شدن نانوذرات در تبیان تصویر TEM، آن‌ها باید الکترون‌ها را پراکنده کنند، این عمل به ترکیب‌بندی نمونه و سمت‌گیری فاز بلورین بستگی دارد.

### ۲-۶ کالیبراسیون

#### ۱-۲-۶ کلیات

بند ۱۱ استاندارد ملی ایران شماره ۱۰۰۹۹-۱: سال ۱۳۹۵، توصیه‌های عمومی در مورد کالیبراسیون و ردیابی اندازه‌شناختی ارائه می‌دهد.

### ۲-۲-۶ استانداردهای کالیبراسیون

از آنجاکه دستگاه‌های TEM بازه وسیعی از بزرگنمایی‌ها و حالات عملیاتی زیادی دارند، ممکن است بزرگنمایی دقیق در مجموعه‌ای از تنظیمات دستگاه تا ۱۰٪ متفاوت از بزرگنمایی بیان شده باشد. کالیبراسیون دستگاه با واحد طول سیستم بین‌المللی یک‌ها (SI)<sup>۱</sup> (متر) در شرایط نوری مشابه با آن‌چه برای آنالیز استفاده می‌شود، ارجحیت دارد. کالیبرنت‌ها باید همه الزامات یک ماده مرجع گواهی شده (CRM) را برآورده کنند، یعنی آن‌ها باید همگن و پایدار، همراه با یک مقدار (مقادیر) گواهی شده، عدم قطعیت مرتبط و بیانیه ردیابی اندازه‌شناختی، یک گواهی ماده و غیره باشند. توصیه می‌شود استانداردها به صورت دوره‌ای اجراء شوند تا عملیات صحیح دستگاه را با توجه به ویژگی‌های سازنده تصدیق کنند و روش‌های اجرایی اندازه‌گیری صحه‌گذاری<sup>۲</sup> شود. مثال‌هایی به صورت نمونه در جدول ۱ نشان داده شده‌است. مطمئن شوید که از تاریخ انقضای نمونه استاندارد استفاده شده نگذشته باشد.

1- International system of units  
2- Validate

## جدول ۱- نمونه‌هایی از استانداردهای کالیبراسیون

ماده	اندازه استاندارد nm
توری، توری خطی یا توری شبکه‌ای <sup>۱</sup>	۲۱۶۰ خط بر میلی‌متر
پلی‌استایرن، طلا و نانوذرات سیلیکا	۱۰۰ تا
بلورهای آنزیم (زی‌مايه) <sup>۲</sup> کاتالاز <sup>۳</sup> (بلورهای کاتالاز جگر گاو فاصله شبکه‌ای <sup>۴</sup> ۸,۷۵ nm و ۶,۸۵ nm دارند [23])	>۱۰

<sup>۱</sup>Cross-Grating<sup>۲</sup>Enzyme<sup>۳</sup>Catalase<sup>۴</sup>Lattice spacing

هنگامی که یک روش کالیبراسیون برای روش اجرایی آنالیز اندازه ذرات TEM انتخاب می‌شود، بهتر است به جای اینکه استانداردهای پهنه‌ای خط که مرسوم‌تر هستند، برای کالیبراسیون انتخاب شوند، اولویت به مواد مرجع گواهی‌شده ذره-پایه داده شود. به عنوان مثال ممکن است کالیبراسیون بر حسب فاصله شبکه‌ای، فقط برای بزرگنمایی مورد استفاده در تصویربرداری ذره مفید باشد. این بزرگنمایی‌ها می‌توانند برای تعدادی از ذرات مناسب نباشند. توصیه می‌شود صفحه‌گذاری کالیبراسیون به‌طور منظم وارسی شود. توصیه می‌شود چنین کنترل کیفیتی، با استانداردها/مواد مرجع گواهی‌شده‌ای انجام شود که متفاوت با مواردی باشد که برای کالیبراسیون استفاده می‌شود. علاوه بر آن، وارسی‌های تصدیق و همچنین آنالیزهای اندازه ذره (روال)<sup>۱</sup> باید تحت شرایط مشابهی (در اصطلاح بر حسب بزرگنمایی، جریان پروب، ولتاژ شتاب و غیره) انجام شود که حین کالیبراسیون استفاده می‌شود.

## ۶-۲-۳ روش اجرایی کالیبراسیون کلی

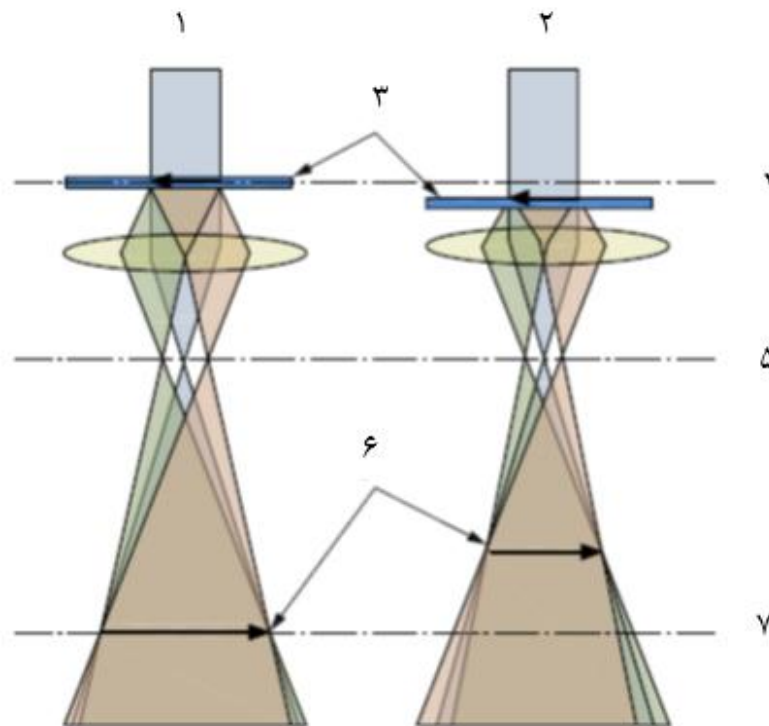
از آن‌جاکه کالیبراسیون به شدت به شرایط نوری الکترون بستگی دارد، کالیبراسیون باید تحت شرایط بهینه عدسی، با استفاده از یک ماده مرجع گواهی‌شده مناسب انجام شود. بنابراین توصیه می‌شود اندازه‌گیری اندازه ذره تحت شرایط یکسان کالیبراسیون با ماده مرجع (RM)، به‌طور مثال، جریان عدسی شیئی و سایر پارامترهای عدسی و ارتفاع آزمونه انجام شود.

عدسی شیئی باید با محور مرکز افقی خود کالیبره شود. آزمونه باید با استفاده از حرکت محور-Z تنظیم شود. عملکردهای لرزاننده<sup>۲</sup> می‌تواند به عنوان کمک برای کانونی کردن استفاده شود. هنگامی که نمونه روی محور مرکز افقی عدسی شیئی مستقر می‌شود، تصویر در صفحه تصویر اول، خطای کمینه را در طول خود دارد (به شکل ۳ مراجعه شود). هنگامی که نمونه روی محور افقی عدسی شیئی مستقر می‌شود، کج کردن نمونه حول این محور با کج کردن صفحه تصویر اول یکسان است، پس تصویر نمونه روی پرده فلورستن

1- Routine

2- Wobbler

حرکت نمی‌کند. اگر محل استقرار نمونه روی محور مرکز افقی عدسی شیئی نباشد، خطاهایی در ابعاد اندازه‌گیری شده آن ایجاد خواهد شد. کالیبراسیون ماده مرجع و اندازه‌گیری‌های نمونه هر دو باید با آزمونهای مستقرشده روی محور مرکز افقی عدسی شیئی انجام شود.



راهنمای:

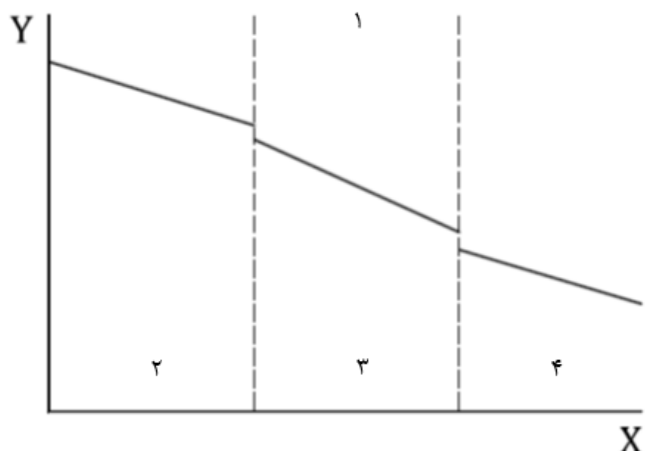
- |                  |                    |
|------------------|--------------------|
| ۱ روی محور       | ۵ صفحه کانونی پشتی |
| ۲ خروج از محور   | ۶ تصویر            |
| ۳ آزمونه         | ۷ صفحه تصویر اول   |
| ۴ محور مرکز افقی |                    |

یادآوری- سمت چپ: هم محورسازی مناسب، سمت راست: نمونه از محور مرکز افقی عدسی شیئی جابه‌جا شده است.

شکل ۳- مثالی از خطای اندازه مقیاس ناشی از عدم انتظام صفحه آزمونه و محور مرکز افقی عدسی شیئی

نیاز است که عدسی‌های تصویرساز فعال شوند تا اندازه‌گیری دقیقی در سراسر بازه اندازه کل توزیع ذرات انجام شود. بازه‌های عدسی به مدل TEM بستگی خواهد داشت، به عنوان مثال، بزرگنمایی کم، برابر  $100000 < 10000$  و بزرگنمایی زیاد، برابر  $100000 \geq$  در هر بازه، خطی بودن مقیاس‌گذاری به دست خواهد آمد. هر چند، ناپیوستگی‌هایی بین خطوط کالیبراسیون برای عدسی‌های مختلف وجود دارد، نیاز است کالیبراسیون مقیاس برای هر عدسی تصویرساز استفاده شود تا تصویر به دست آید. شکل ۴ چنین تفاوت‌هایی را در خطوط کالیبراسیون مقیاس‌گذاری برای مورد سامانه سه عدسی تصویرساز نمایش می‌دهد. معادلات کالیبراسیون بین هر سامانه عدسی تغییر می‌کند که منجر به ناپیوستگی‌ها (دورافت‌ها)<sup>۱</sup> بین

خطوط برای عدسی‌های مختلف می‌شود. جزئیات کالیبراسیون مقیاس در استاندارد ISO 29301 ارائه شده‌است.



راهنمای:

- ۱ سامانه عدسی تصویرساز
- ۲ بزرگنمایی کم
- ۳ بزرگنمایی میانه
- ۴ بزرگنمایی زیاد

شکل ۴- مقیاس‌گذاری خطی بین بزرگنمایی و اندازه پیکسل / مقیاس برای سامانه‌های عدسی تصویرساز مختلف

### ۶- ۳- تنظیم شرایط عملیات TEM برای کالیبراسیون

روش اجرایی استاندارد ISO 29301 را استفاده کنید تا در حد امکان اطمینان حاصل شود که شرایط عملیاتی TEM، یکسان است.

- الف- توصیه می‌شود خلاء در ستون TEM کمتر از  $10^{-4}$  pa و پایدار باشد.
- ب- ولتاژ بالا به کار ببرید و اجازه دهید تا پایدار شود.

یادآوری- مخزن‌های  $100\text{ kv}$  پرشده با روغن، حدود  $2/5$  ساعت و مخزن‌های پرشده با گاز، حدود ۴۵ دقیقه زمان نیاز دارد تا پایدار شود. دستگاه‌های ولتاژ بالاتر به طور معمول با ولتاژ بالابی کار می‌کنند که به صورت پیوسته اعمال می‌شود، بنابراین دوره پایدارسازی به طور معمول موردنیاز نیست.

- پ- اگر نیاز است از ابزار ضد آلودگی استفاده کنید.
- ت- یک ناحیه آزمونه موردنظر (ROI)<sup>۱</sup> را برای کالیبراسیون انتخاب کنید که تمیز و عاری از آسیب باشد، از ارتفاع مرکز افقی عدسی شبیه ROI اطمینان حاصل کنید و اگر ضروری است، ارتفاع ROI را تنظیم کنید.

1- Region of Interest

ث- به منظور کمینه کردن اثر پسماند مغناطیسی عدسی‌ها، بزرگنمایی TEM را روی مقدار هدف برای کالیبراسیون مطابق با توالی یکسان تنظیم کنید. به عنوان مثال، در ابتدا بزرگنمایی بالاتر نسبت به بزرگنمایی موردنظر را انتخاب کنید. سپس، بزرگنمایی هدف را تنظیم کنید.

ج- برانگیزش<sup>۱</sup> عدسی شیئی را به مقدار تجدیدپذیر مطلوب تنظیم کنید. شرایط استاندارد توصیه می‌شود.  
چ- ارتفاع آزمونه را تنظیم کنید تا تصویر بزرگنمایی شده روی پرده فلورسنت، نمایشگر تلویزیون یا صفحه رایانه شخصی (PC)<sup>۲</sup> کانونی شود.

یادآوری ۲- اگر TEM موردبuth با کارکرد<sup>۳</sup> کنترل ارتفاع آزمونه تجهیز نشده باشد، این روش اجرایی می‌تواند حذف شود.  
ح- آستیگماتی<sup>۴</sup> را در بزرگنمایی نسبتاً بالاتر از مقدار موردنظر تصحیح کرده و مرکز ولتاژ شتابدهنده را تنظیم کنید. به عنوان مثال، اگر کالیبراسیون موردنظر  $k = 100 \times$  است، بزرگنمایی را برای هم محورسازی در بازه  $k = 150$  تا  $200$  تنظیم کنید.

خ- حالت مشاهده TEM به حالت پراش الکترونی ناحیه انتخابی (SAED)<sup>۵</sup> یا حالت پراش الکترونی باریکه همگرا (CBED)<sup>۶</sup> از حالت تصویر کلید زده می‌شود. همچنین، اطمینان حاصل کنید که دریچه شیئی برداشته شده است.

یادآوری ۳- برای حالت SAED، ضروری است که دریچه ناحیه انتخابی را روی ناحیه موردنظر آزمونه قرار دهید تا الگوی روی افزاره مشاهده (پرده فلورسنت/ نمایشگر تلویزیون/ صفحه PC) انداخته شود.

د- سامانه عدسی جمع‌کننده را تنظیم کنید تا شرایط روشنایی تقریباً موازی فراهم شود.  
ذ- اگر نمونه تک بلور باشد، محور منطقه ضریب شکست کم بلور را موازی با محور نوری یعنی روشنایی محور منطقه میزان کنید.

یادآوری ۴- این روش اجرایی برای مشاهده آزمونه با تفکیک‌پذیری بالا است. برای اندازه‌گیری اندازه و شکل نانوذرات، این روش اجرایی می‌تواند حذف شود.

ر- دریچه شیئی را قرار دهید، آن را حول محور نوری الکترون مرکزدهی کنید. همچنین حالت مشاهده TEM را دوباره به حالت تصویر کلیدزنی کنید.

ز- بزرگنمایی مقدار موردنظر کالیبراسیون را بازگردانید و جریان برانگیزش عدسی شیئی را دوباره روی شرایط برانگیختگی استاندارد تنظیم کنید.

س- اگر TEM مجهر به کارکرد واهلش<sup>۷</sup> است، این کارکرد را برای واهلیده کردن پسماند مغناطیسی عدسی شیئی به کار برد.

1- Excitation

2- Personal Computer

3- Function

4- Astigmatism

5- Selected- Area Electron- Diffraction

6- Convergent- Beam Electron- Diffraction

7- Relaxation

ش- ارتفاع آزمونه را تنظیم کنید تا به صورت تخمینی تصویر بزرگنمایی شده کانونی شود.

یادآوری ۵- اگر TEM مورد بحث مجهر به کار کرد کنترل ارتفاع آزمونه نیست، این روش اجرایی می‌تواند حذف شود.

ص- کانونی کردن بسیار خوب را با تغییر جریان برانگیختگی عدسی شیئی تنظیم کنید.

یادآوری ۶- در صورت لزوم، کارکرد لرزاننده تصویر می‌تواند برای کانونی کردن تصویر استفاده شود.

ض- اگر TEM مجهر به کار کرد تصحیح کانونی کردن خودکار است، این کار کرد را خاموش کنید تا شرط تحت-کانونی کردن مرتبط با کار کرد لرزاننده تصویر بهینه شود.

ط- وضعیت روشنایی سامانه عدسی جمع کننده (اندازه لکه و درخشش<sup>۱</sup>) با مرجع را به بازه پویای هر آشکارساز تنظیم کنید تا تباین تصویر در کل بازه پویا به دست آید. توصیه می‌شود سامانه عدسی جمع کننده تحت شرایطی عمل کند که به روشنایی موازی نزدیک شود. به عنوان روش جایگزین، توصیه می‌شود سامانه عدسی جمع کننده تحت شرایطی عمل کند که همگرایی باریکه، دیگر تأثیری بر کانون تصویر نداشته باشد. ثبت کردن تصاویر چندتایی تحت درجات متغیر همگرایی باریکه، به یافتن چنین شرایطی کمک می‌کند.

## ۷ تصویرگیری

### ۱-۷ کلیات

توزیع‌های اندازه ذرات که از تصاویر TEM تولید می‌شود براساس تعداد یا شمارش هستند. بسیاری از مطالعات پیشین روی تعداد ذرات برای آنالیز تعیین میانگین (متوسط) اندازه ذرات بر پایه توزیع‌های اندازه نرمال تمرکز داشته‌اند. از لحاظ نظری و در غیاب خطاهای سامانمند<sup>۲</sup> و سوگیری، عدم قطعیت مرتبط با مقدار میانگین اندازه ذره به طور معکوس مناسب با ریشه مربع تعداد ذرات آنالیز شده است. پیوست الف استاندارد ملی ایران شماره ۱۰۰۹۹-۱: سال ۱۳۹۴ آنالیز عدم قطعیت اندازه‌گیری را به صورت ویژه برای توزیع‌های لگاریتم نرمال که یک مدل رایج برای توصیف‌گرهای اندازه سامانه‌های نانوذرات است، ارائه می‌دهد. استانداردهای دیگر و سایر راهنمایی‌ها [23] نیز به آنالیز عدم قطعیت اشاره دارند.

### ۲-۷ تنظیم یک بزرگنمایی عملیاتی مناسب

توصیه می‌شود که بزرگنمایی TEM با درنظر گرفتن بازه اندازه‌های ذرات که آنالیز می‌شوند و نرم‌افزار تصویرگیری که برای آنالیز استفاده می‌شود [24]، تنظیم شود. توصیه می‌شود میدان دید به اندازه کافی بزرگ باشد تا بزرگ‌ترین ذرات را شامل شود، در عین حال، تفکیک‌پذیری کافی برای تمایز قائل شدن کوچک‌ترین ذرات از نویه را داشته باشد. یک ذره مربع شکل با بعد طول  $10 \text{ nm}$  و مساحت  $100 \text{ nm}^2$  را که برای آن تفکیک‌پذیری  $5 \text{ nm/pixel}$  است، در نظر بگیرید. اختلاف یک پیکسل در اندازه‌گیری بعد طول در

1- Brightness

2- Systematic

قطر،٪ ۵ خطابه دست می دهد. اختلاف ۴ پیکسل در اندازه گیری مساحت، اختلاف٪ ۱ در مساحت ذره را می دهد. استاندارد ASTM برای کربن سیاه [24] یک نقطه آغازین برای تنظیم بزرگنمایی عملیاتی ارائه می دهد. جدول ۲ عدم قطعیت در اندازه گیری قطر بر حسب درصد را برای اختلاف یک پیکسل در گزارش طول ذره، نشان می دهد. توجه کنید که خطاهای اندازه گیری طول می توانند حین تصویرگیری یا آنالیز ذرات رخ دهند. کاروران می توانند بزرگنمایی عملیاتی را برای رسیدن به عدم قطعیت اندازه گیری موردنیاز برای توصیفگر با استفاده از مراحل ارائه شده در این استاندارد تعیین کنند.

جدول ۲- نقاط آغازین پیشنهادی برای تنظیم بزرگنمایی دستگاه برای نانوذرات مختلف اندازه دهی شده [24]

عدم قطعیت در اندازه گیری قطر برای اختلاف یک پیکسل در تصویر ٪		تفکیک پذیری nm pixel		بازه اندازه ذرات nm	
بالا	پایین	بالا	پایین	بالا	پایین
۱۰	۱۱	۲/۰	۱/۵	۲۱	۱۴
۱۰	۹	۲/۵	۲/۰	۲۶	۲۲
۸	۹	۳/۰	۲/۵	۳۷	۲۷
۸	۸	۴/۰	۳/۰	۴۹	۳۸
۸	۸	۵/۰	۴/۰	۶۲	۵۰
۶	۸	۶/۰	۵/۰	۱۰۰	۶۳
۶	۶	۱۲/۰	۶/۰	۱۹۹	۱۰۱
۵	۶	۲۰/۰	۱۲/۰	۴۰۰	۲۰۰

### ۳-۷ مساحت ذره کمینه

برای کاهش اختلافات شمارش پیکسل یک دایره به کمتر از٪ ۵، تعداد پیکسل ضروری بر ذره باید در بازه ۱۰۰ پیکسل تا ۲۰۰ پیکسل، مطابق با استاندارد ISO 9276-6 باشد. در یک سطح بزرگنمایی ویژه، تعداد پیکسلها بر نانومتر می توانند برآورده شوند که این موضوع، برآورد تعداد پیکسلها بر نانومترمربع را امکان پذیر می سازد. بنابراین اغلب حین تصویرگیری، امکان تعیین آن که آیا عدم قطعیت روی ذرات کوچکتر قابل قبول است یا خیر و همچنین تنظیم بزرگنمایی اگر نیاز باشد، وجود دارد. اگر توزیع اندازه ذرات پهن باشد، ممکن است تنظیم تفکیک پذیری برای ارائه درستی برای ذرات کوچک ضروری باشد. در برخی از موارد، ممکن است ضروری باشد که تصاویر در دو بزرگنمایی مختلف گرفته شود تا داده ها با درستی های اندازه خوب برای ذرات بزرگ و کوچک تولید شوند.

### ۴-۷ تعداد ذرات قابل شمارش برای توزیع اندازه و شکل ذرات

یک عامل اصلی تأثیرگذار بر عدم قطعیت اندازه گیری توزیع های اندازه ذرات، تعداد ذراتی است که نیاز است تصویرگیری و اندازه گیری شوند تا درجه اعتماد در داده های توزیع و هر مدل توزیع برآشش شده به داده ها بهبود یابد. هنگامی که هیچ تجربه قبلی برای نمونه خاص وجود ندارد، این استاندارد یک مقدار توصیفگر

داده‌گیری هدف برای ۵۰۰ ذره در مجموعه داده اول را پیشنهاد می‌دهد. این داده‌گیری ابتکاری برای برخی از مطالعات موردنی در پیوست‌ها گزارش شده است.

**یادآوری** - خطای آماری بین مقادیر توصیفگر میانگین جامعه آماری و نمونه بهوسیله ماسودا<sup>۱</sup> و گوتون<sup>۲</sup> برای توزیع‌های قطر ذرات لگاریتم نرمال [25] آنالیز شده است. تعداد ذراتی که برای آنالیز موردنیاز است به انحراف معیار توصیفگر نمونه، خطای نسبی توصیفگر برای کاربردهای مطلوب و این که کدام سطح احتمالی برای میانگین توصیفگر بر پایه خطای نسبی انتخابی قابل قبول خواهد بود، بستگی دارد، چه توزیع توصیفگر بر اساس شمارش باشد چه بر اساس جرم. سپس مجموعه داده اول می‌تواند با استفاده از روش ماسودا و گوتون (به معادله ۲۰ و/ یا شکل ۶ مرجع [25] مراجعه شود) یا با تعیین عدم قطعیت اندازه‌گیری با استفاده از (زیریند ۵-۹) آنالیز شود. اندازه‌های مجموعه‌های داده بعدی می‌توانند بر پایه عدم قطعیت‌ها یا سطح احتمال موردنیاز برای خطای نسبی انتخابی میانگین توصیفگر باشد.

#### ۵-۷ پس زمینه یکنواخت

توصیه می‌شود تصاویر از جایی داده‌برداری شوند که پس زمینه با شدت یکنواخت است و تباین خوبی بین ذرات و پس زمینه وجود دارد. ممکن است انجام پروتکل تصویرگیری روی چندین قاب قبل از آنالیز همه ذرات ضروری باشد. توصیه می‌شود راهنمایی زیر درنظر گرفته شود:

- الف - انتخاب شرایط عملیات برای کمینه کردن رانش<sup>۳</sup>؛
- ب - جمع‌آوری تصاویر در یک ولتاژ شتاب‌دهنده مناسب، به طور مثال، ۱۲۰ kV؛
- پ - تنظیم نسبت تفکیک‌پذیری تصویر به قطر ذره میانگین برای کنترل عدم قطعیت اندازه‌گیری؛

مثال: برای قطر ذره اسمی ۳۰ nm اندازه‌گیری شده در تفکیک‌پذیری nm/pixel ۰/۵، هر پیکسل ۱/۶٪ در یک قطر ذره اندازه متوسط سهم خواهد داشت. ذرات کوچک‌تر حساسیت‌های بزرگ‌تری برای عدم قطعیت‌های اندازه‌گیری خواهند داشت.

- ت - از تنظیمات کالیبراسیون تجدیدپذیر برای اجرای نرمال‌سازی عدسی (به قصد کمینه کردن پسماند) در بزرگنمایی انتخابی برای تصویربرداری اطمینان حاصل کنید؛
- ث - ذرات به شکل نامنظم یا ذرات با گوشش‌های تیز را مستثنی نکنید؛
- ج - همه ذراتی را که به نظر می‌رسد بهوسیله قاب‌ها برش داده شده، از فرایند آنالیز خارج کنید؛
- چ - حداقل ۵۰ ذره در قاب‌هایی که به خوبی در سراسر توری جای گرفته‌اند را شمارش و گزارش کنید؛
- خ - اطلاعات اندازه ذره را برای همه ذرات انتخابی در هر قاب، گزارش کنید.

در حالی که بسیاری از برنامه‌های نرمافزاری آنالیز تصویر شامل روش‌های جداسازی ذرات در تماس با یکدیگر هستند، استفاده از آن‌ها ممکن است سبب تغییر در توزیع‌های اندازه و شکل شوند. هنگامی که چنین الگوریتمی برای توزیع‌های اندازه نانوکره‌های طلا استفاده شد [26]، میانگین گزارش شده توزیع قطر دایره‌ای

1- Masuda

2- Goton

3- Drift

معادل (ECD)<sup>۱</sup> و تغییرپذیری این توزیع، کاهش یافت. از سوی دیگر، حذف سامانمند همه ذرات در تماس با یکدیگر ممکن است منجر به انتخاب غیرناماینده<sup>۲</sup> از ذرات شمارش شده شود.

تأثیرات اندازه نمونه روی عدم قطعیت اندازه‌گیری قطر ذره متوسط با تعداد ذرات بیشتر منجر به عدم قطعیت اندازه‌گیری پایین‌تر، به خوبی مطالعه شده است [25] [26] [27] [28] [29] [30]. توصیه می‌شود عدم قطعیت اندازه‌گیری برای پارامترهای توزیع، انحراف معیار و میانگین نمونه برای تعداد بیشتر ذرات، پایین‌تر باشد. تعداد کمینه پیشنهادشده ذرات برای آنالیز توزیع‌های اندازه و شکل، بر پایه تجربه مطالعات قبلی ۵۰۰ ذره است.

دو انتخاب برای آنالیز تصویر وجود دارد: انجام آنالیز ذره مجزا (به عنوان مثال طرح کلی ذره) یا آنالیز تصویر خودکار. آنالیز تصویر خودکار به طور کلی هنگامی ارجحیت دارد که امکان‌پذیر باشد. آنالیز ذره مجزا در استاندارد ISO 13322-1 توصیف شده و در پیوست‌های ج، چ و خ استفاده می‌شود.

## ۶-۶ روش‌های اجرایی اندازه‌گیری

### ۶-۶-۱ کلیات

توصیه می‌شود آنالیز، نماینده نمونه باشد. به طور کلی توصیه می‌شود که هر نمونه در سه نسخه آنالیز شود. توصیه می‌شود آنالیز آماری داده‌ها نمایش داده شود خواه نمونه‌ها به درستی نماینده کل باشند یا نباشند [31]. دستگاه TEM، شکل‌های تصویرشده ذرات، ترکیب‌بندی ذره، ساختار داخلی و ریخت‌شناسی سطح را که همه می‌توانند در ظاهر تصویر<sup>۳</sup> سهم داشته باشند، ثبت می‌کند.

### ۶-۶-۲ توسعه یک نمونه آزمون

یک نمونه آزمون بخشی است که به طور مستقیم از یک نمونه آزمایشگاهی (ماده به طور مستقیم از متقاضی دریافت می‌شود) یا زیرنمونه (بخش نماینده گرفته شده از نمونه آزمایشگاهی و منتقل شده به یک پیال<sup>۴</sup> جدید بدون آماده‌سازی نمونه) برداشته می‌شود. فرایند آماده‌سازی نمونه روی آن انجام می‌شود تا آزمونه تولید شود که نمونه آزمون نگهداری شده روی یک توری<sup>۵</sup> TEM است. مراحل آماده‌سازی نمونه می‌تواند شامل جدایش‌ها مانند فیلتراسیون یا سانتریفیوژ کردن، پراکنش‌ها در مایعات با استفاده از انرژی مکانیکی مانند سونیک کردن و حذف حلال مانند خشکانش<sup>۶</sup> باشد. همه مراحل می‌توانند بر ریخت‌شناسی ذرات روی توری TEM تأثیر بگذارند. در حالی که روش‌های آنالیز داده این استاندارد روی عدم قطعیت توصیف‌گرهای اندازه و شکل برای پروتکل‌های آماده‌سازی نمونه مشخص نشان داده شده است، این روش‌ها همچنین

1- Equivalent Circular Diameter

2- Non-representative selection

3- Image appearance

4- Vial

5- Grid

6- Drying

می‌توانند برای توسعه پروتکل‌هایی استفاده شوند که عدم قطعیت اندازه‌گیری را برای نمونه‌های ویژه کمینه می‌کنند.

### ۷-۶-۳ تاثیرات بزرگنمایی

توصیه می‌شود یک TEM پایدار و بهدرستی تنظیم شده در بزرگنمایی عمل کند که اجازه می‌دهد ذرات بسیاری در میدان دید قابل مشاهده باشند و تضمین کند که هر ذره با تعداد زیادی از پیکسل‌ها ثبت می‌شوند. به عنوان مثال، نمونه‌های نانوذرات با  $d_{avg} = 50 \text{ nm}$ ، تصویرشده با بزرگنمایی تقریباً ۵۰۰۰۰ و ثبت شده روی دوربین CCD<sup>۱</sup> با ابعاد پیکسلی (ماتریس مربعی)  $14 \mu\text{m} \times 14 \mu\text{m}$ ، قطر حدود ۱۸۰ پیکسل خواهد داشت. یک دوربین CCD با  $2048 \times 2048$  پیکسل حاوی حدود ۱۲۰ ذره در داخل میدان دید یک میکروگراف تک خواهد بود [31].

### ۷-۶-۴ قاب‌ها (میکروگراف‌ها)

میکروگراف‌های کافی را ثبت کنید تا کمینه ۵۰۰ ذره در نمونه از کمینه دو ناحیه عمیقاً جدادشده<sup>۲</sup> از توری تصویر شود. توصیه می‌شود که زمان‌های ثبت تصویر به اندازه کافی طولانی باشد به‌گونه‌ای که نسبت اختلاف سطح خاکستری میانگین بین ذرات و پس‌زمینه به سطح نوفه، یعنی انحراف معیار سطح خاکستری از پس‌زمینه، حداقل ۱:۵ باشد. همچنین توصیه می‌شود زمان‌های ثبت کوتاه نگهداشته شود (۱ ثانیه تا ۲ ثانیه) تا سهم رانش پایه کمینه شود [31]. رانش مشاهده شده حین تصویرگیری به‌طور معمول به سبب ترکیب اثر رانش پایه و باریکه است.

### ۷-۷ بازنگری پروتکل‌های تصویرگیری

بازبینی مجدد پروتکل‌های تصویرگیری و پروتکل‌های آنالیز ذره پس از کار اولیه روی آنالیز داده‌های خام، یعنی ردہبندی داده خام بر اساس ارجحیت (به زیربند ۱-۹ مراجعه شود) می‌تواند مفید باشد (به بند ۸ مراجعه شود). ردہبندی داده‌های خام بر اساس ارجحیت به‌طور خاص هنگامی مفید است که نمونه بتواند برای بار اول به‌وسیله یک آزمایشگاه معین آنالیز شود. همه مطالعات موردنی گزارش شده در پیوست‌ها از طریق ردہبندی داده‌های خام براساس ارجحیت انجام می‌شود تا مراحل پروتکلی که عدم قطعیت اندازه‌گیری پارامترهای برآششده را کاهش می‌دهد شناسایی کرده و درک عمیق‌تری از توزیع توصیفگری که میکروگراف‌های ذره را نمایش می‌دهد، ارائه شود.

1- Charged Coupled Device  
2- Two widely separated regions

## ۸ آنالیز ذره

### ۱-۸ کلیات

از آنجاکه برای توزیع اندازه ذرات با کیفیت بالا تعداد ذرات زیادی موردنیاز است، کار وقتی تسهیل می‌شود که از آنالیز خودکار استفاده شود. نرمافزارهای تجاری و متن باز در دسترس هستند.

### ۲-۸ آنالیز ذره مجزا

استاندارد ISO 13322-1 رهنمودی در مورد روش‌های اجرایی شمارش، لبه‌های اندازه‌گیری‌ها، برش ذرات به‌وسیله لبه قاب اندازه‌گیری، ذرات در تماس با یکدیگر، اندازه‌گیری‌ها، کالیبراسیون و قابلیت ردیابی و اعوجاج برای آنالیز ذره (دستی) مجزا ارائه می‌دهد.

### ۳-۸ آنالیز ذره خودکار

اغلب داده‌های گزارش شده در مطالعات موردي با استفاده از نرمافزار ImageJ آنالیز شده است که یک رایگان افزار<sup>۱</sup> از موسسه ملی بهداشت<sup>۲</sup> کشور آمریکا [32] [33] است. تعدادی از بسته‌های نرمافزاری تجاری نیز در دسترس است. اولین هدف اندازه‌گیری توزیع‌های اندازه ذرات، تبدیل میکروگراف‌های رقمی از تصویر مقیاس خاکستری به یک تصویر دوتایی، شامل ذرات گسسته و پس‌زمینه است. مقدار هر پیکسل باید به‌وسیله تعیین حد آستانه تصویر و جدول‌بندی پیکسل‌های عددی برای هر ذره طبقه‌بندی شود. عملیات آستانه‌گذاری<sup>۳</sup> تصویربرداری منوط به سوگیری کاربر بوده و خودکارسازی مرجح است. هنگامی که مقادیر پس‌زمینه در سراسر تصویر یکنواخت نباشد، روش‌های خودکار ممکن است شکست بخورد. کاربر به انتخاب دستی مقادیر حد آستانه برای نواحی مختلف تصویر، نیاز خواهد داشت [31].

پس از آن که تعیین حد آستانه کامل شد، ذرات می‌توانند شناسایی شوند. یک ذره متشکل از تعداد زیادی پیکسل‌های مجاور است که معیارهای آستانه‌گذاری را برآورده می‌کنند. ممکن است برخی از پیکسل‌های پس‌زمینه با معیارهای دوتایی وجود داشته باشند که از معیارهای آستانه‌گذاری بیشتر شوند. این پیکسل‌ها به‌طور معمول تکین<sup>۴</sup> یا تعداد کمی هستند که بهتر است برای آنالیز حذف شوند. در ImageJ، کارکردها «از بین بردن لکه در زمینه»<sup>۵</sup>، «ساییدن»<sup>۶</sup> و «پهن کردن»<sup>۷</sup> وجود دارد. اعمال ترکیبی از این مراحل به‌طور معمول، آلایه‌های تصویر ایجاد شده به‌وسیله نرمافزار عامل روی پیکسل‌ها را حذف می‌کند. بهتر است با مقایسه دیداری تصویر اصلی و تصویر پرداخت شده تأیید شود که آلایه‌های تصویر مناسبی حذف شده است. به‌صورت مشابه ممکن است برخی از پیکسل‌ها در مجموعه نانوذره وجود داشته باشند که زیر حد آستانه

1- Freeware

2- National Institute of Health (NIH)

3- Thresholding

4- Singular

5- Despeckle

6- Erode

7- Dilate

هستند. این حفره‌ها بهوسیله نرم‌افزار پُر خواهند شد تا آنالیز را امکان‌پذیر سازند. برخی از مثال‌های ویژه در مورد آنالیز خودکار، حاصل همکاری موسسه ملی استاندارد و فناوری آمریکا (NIST)<sup>۱</sup> با آزمایشگاه مشخصه‌یابی فناوری نانو آمریکا (NLC)<sup>۲</sup> [34]، موسسه ملی ایمنی و بهداشت شغلی در همکاری با موسسه علمی دیون<sup>۳</sup> (به صفحه ۵ تا ۱۰ مرجع [35] مراجعه شود) و یک راهنمای بهین روش<sup>۴</sup> از آزمایشگاه ملی فیزیک آمریکا (به صفحه ۳۶ تا ۴۰ مرجع [22] مراجعه شود) ارائه شده است.

#### ۴-۸ مثال- روش اجرایی آنالیز خودکار ذره

در این استاندارد فرض براین است که همه تصاویر در قالب رقمی گرفته شده است. مراحل روش اجرایی برای یک نرم‌افزار متن باز ویژه به قرار زیر است<sup>۵</sup>:

- الف- رونوشت‌های<sup>۶</sup> کاری از همه تصاویر/ قاب‌ها را ایجاد کنید (تصاویر اصلاح‌نشده اصلی را حفظ کنید).
- ب- نرم‌افزار ImageJ را باز کرده و پرونده قاب<sup>۷</sup> را باز کنید.
- پ- مقیاس اندازه‌گیری را با استفاده از میله مقیاس یا اندازه‌گیری دیگر اندازه پیکسل، بازگرداندن مقیاس اولیه قبل از ادامه دادن، تنظیم کنید.
- ت- تصویر را برش بزنید تا میله‌های مقیاس و آلایه‌های تصویر دیگر که ممکن است روی تباین یا آنالیز ذره تأثیر بگذارند، حذف شوند.
- ث- درخشش و تباین را وارسی و تصحیح کنید تا اطمینان حاصل کنید که همه تصاویر بافت‌نگاشت‌های<sup>۸</sup> مرکزدهی‌شده و بهاندازه کافی پهن دارند که حداقل٪ ۸۰ سطوح خاکستری ممکن در تصویر را پوشش می‌دهند.
- ج- عملیات آستانه‌گذاری ممکن است منجر به پرونده‌های قاب با آلایه‌های تصویر پیکسل تک یا کیفیت ضعیف تصویر شود، به عنوان مثال ذرات درشت<sup>۹</sup> یا پس‌زمینه ناهموار ناشی از روشنایی باریکه الکترونی غیریکنواخت. در مورد اول، فرایندهای از بین بردن لکه در پس‌زمینه و ساییدن/ پهن کردن را اعمال کنید تا این آلایه‌های تصویر حذف شود و تغییرات را ذخیره کنید. در مورد کیفیت ضعیف تصویر، کاروَر می‌تواند لبه‌های ذرات را برای پس‌زمینه ناهموار<sup>۱۰</sup> بهوسیله به کاربردن فیلترهای خاص تمیز یا تصحیح کند. تغییر شکل (دگرگونی)<sup>۱۱</sup> تصویر را ارزیابی کرده و تغییرات را ذخیره کنید.

1- National Institute of Standard and Technology

2- Nanotechnology Characterization Laboratory

3- Dune Scientific

4- Good Practice Guide

5- نرم‌افزار متن باز ImageJ در وبگاه <http://imagej.nih.gov/ij/download.htm> در دسترس است.

6- Copies

7- Frame file

8- Histograms

9- Rough

10- Uneven

11- Transformation

چ- توصیه می‌شود ذرات در تماس با یکدیگر بهوسیله الگوریتم‌های جدایش خودکار، بدون تعیین این که آیا میانگین‌ها و تغییرپذیری توزیع‌های توصیف‌کننده حاصل، فراتر از عدم قطعیت‌های اندازه‌گیری قابل قبول تغییر می‌کند یا خیر، بررسی نشوند. ذرات در تماس با یکدیگر ممکن است بهوسیله اعمال فاکتورهای اندازه و شکل بر داده‌های خام از مجموعه داده‌های خام، قابل جداسازی باشند.

ح- فهرست اندازه‌های مطلوب (مانند مساحت، توصیفگر شکل، قطر فریت، بیضی برازش) را تنظیم کنید. فهرست موجود در مورد توصیفگر اندازه و شکل بهوسیله نرم‌افزار تغییر خواهد کرد. به‌طور کلی انتخاب تعداد بیشتری از توصیفگرها نسبت به آن‌چه ممکن است نیاز شود، مفید است، زیرا غالب توصیفگرهای تکرارپذیر ممکن است آن چیزی نباشند که به‌طور رایج برای ذرات ویژه گزارش می‌شود. توصیفگرهای اندازه و شکل چندتایی می‌توانند برای شناسایی تصویر و مسائل اندازه‌گیری و همچنین کمک به مشخصه‌یابی نمونه ذره تحت مطالعه، استفاده شوند.

خ- تصویر ذرات را آنالیز کنید (تنظیمات ویژه ImageJ بهتر است شامل: نشان دادن طرح‌های کلی، نمایش نتایج، در برگرفتن حفرات و مستثنی کردن لبه‌ها باشد);

د- هرپرونده تصویر که طرح‌های کلی ذره و توالی اعداد<sup>۱</sup> آن‌ها (filename.tif) و صفحه گسترده Result.Xls، با همه مقادیر توصیفگر برای همه ذرات به‌علاوه تعداد ذرات و تعداد قاب) را ذخیره کنید.

یادآوری- رهنمود مکمل می‌تواند بر پایه یافته‌های حاصل از مطالعات موردی ارائه شود. چندین مطالعه موردی، روش‌های اجرایی ارزیابی داده درون آزمایشگاهی و میان آزمایشگاهی را نشان می‌دهد [به عنوان مثال، تحلیل واریانس (ANOVA) که برای سامان دادن پروتکل‌هایی برای مقادیر عدم قطعیت اندازه‌گیری کم می‌تواند استفاده شود].

## ۹ تحلیل داده‌ها

### ۱-۹ کلیات

چندین کاربرد اصلی برای تحلیل آماری داده‌های اندازه ذره، از جمله تحلیل داده‌های اندازه ذره، ارزیابی واریانس داده‌ها تحت تکرارپذیری، دقت میانی، شرایط تجدیدپذیری اندازه‌گیری، برازش مدل‌های مرجع بر توزیع‌های اندازه، ارزیابی آمارگان کل برای مطالعه کامل هستند. جدول ۳ روش‌های مورداستفاده در این استاندارد را خلاصه کرده است. عدم قطعیت‌های اندازه‌گیری از ضرایب واریانس تعیین شده از پارامترهای برازش شده هر مجموعه داده در ILC محاسبه می‌شود. هفت مطالعه موردی از توزیع‌های اندازه و شکل بهوسیله TEM در پیوست ب تا خ ارائه شده است. یافته‌های کلیدی این مطالعات موردی در پیوست الف خلاصه شده‌اند.

## جدول ۳- روش‌های آنالیز آماری

روش آماری	آمارگان گزارش شده
تحلیل واریانس	مقادیر-p: هیچ اختلافی بین مقادیر متوسط توصیفگر برای یک مجموعه داده ویژه و مقدار میانگین کل توصیفگر برای همه مجموعه‌های داده وجود ندارد.
تحلیل واریانس دوبه‌دو	مقادیر-p: هیچ اختلافی بین مقادیر متوسط توصیفگر برای جفت مجموعه داده وجود ندارد.
آنالیز دومتغیره	مقادیر-p، مقادیر انرژی: مقایسه دوبه‌دو توزیع‌های تجمعی توصیفگر؛ هیچ اختلافی بین توزیع‌های توصیفگر جفت مجموعه داده و مقایسه دوبه‌دو توزیع‌های توصیفگر اندازه و شکل وجود ندارد؛ هیچ اختلافی بین توزیع‌های توصیفگر جفت مجموعه داده وجود ندارد.
مدل‌های مرجع برازش شده توزیع‌های اندازه	احتمال بیشینه و روش‌های رگرسیون غیرخطی، پارامتر میانگین برآششده و تغییرپذیری به اضافه خطاهای استاندارد آن‌ها برآورد می‌شود.
کولموگروف <sup>۱</sup> سمیرنوف <sup>۲</sup>	مقادیر $D_{m,n}$ : اختلافات غیرپارامتری بین توزیع‌های تجمعی؛ توزیع جفت‌ها با اختلاف بزرگ‌تر در مقدار مطلق از زیرینه <sup>۳</sup> متفاوت فرض شد.

<sup>۱</sup> Kolmogorov  
<sup>۲</sup> Smirnov  
<sup>۳</sup> برای زیرمجموعه‌ای مانند A از یک مجموعه مرتب S، کوچک‌ترین عضوی از S که از هیچ عضو A کوچک‌تر نباشد، زیرینه (supremum) نامیده می‌شود.

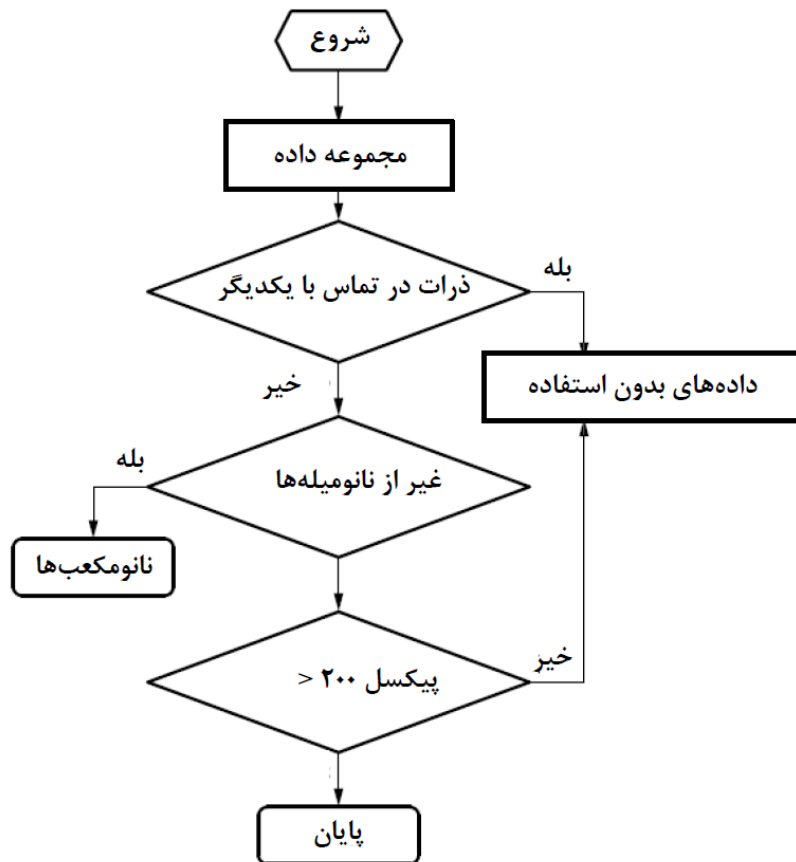
۲-۹ رده‌بندی داده‌های خام بر اساس ارجحیت- آشکارسازی ذرات در تماس با یکدیگر، ذرات غیرانتخابی، آلایه‌های تصویر و آلاینده‌ها<sup>۱</sup>

پیش از آنالیز کامل مجموعه داده‌ها، انجام غربالگری داده‌ها یا «رده‌بندی براساس ارجحیت<sup>۲</sup>» مفید است. به عنوان مثال توصیه می‌شود ذرات در تماس با یکدیگر و ذرات غیرانتخابی از مجموعه داده حذف شود، بهتر است آلایه‌های تصویر شناسایی و حذف شوند، توصیه می‌شود که آلاینده‌ها شناسایی و به صورت جداگانه آنالیز شوند. گردش‌کارهای رده‌بندی داده‌های خام براساس ارجحیت می‌تواند در دستیابی به تصویر توزیع شکل و اندازه ذرات به کار روند. مثالی از گردش کار رده‌بندی داده‌های خام بر اساس ارجحیت در شکل ۵ نشان داده شده‌است. نقطه آغازین، داده‌های خام هستند که با استفاده از ImageJ تولید می‌شوند و نقطه پایان، مجموعه داده کاهش‌یافته فقط از داده‌های نانومیله هستند که با قید مساحت کمینه (پیکسل > ۲۰۰) مطابقت داده شده‌اند. داده‌های خام شامل نانوذرات هدف (نانومیله‌ها) به علاوه نانومکعبها و برخی از ذرات غیرانتخابی اضافی هستند. در این مطالعه موردی، شمارش ذرات در تماس با یکدیگر نامطلوب است. کاوشی انجام شد تا با استفاده از یک بازه تعریف‌شده، مقادیر را برای یک توصیفگر ویژه شناسایی کند. ذرات داخل

1- Contaminants  
2- Triage

این بازه از مجموعه داده استخراج شده و درنظر گرفته نمی‌شوند. کاوش دوم برای آشکارسازی ذرات غیر از نانومیله و دیگر ذرات غیرانتخابی انجام شد.

مجموعه داده نانومکعب برای آنالیز بعدی نگهداشته می‌شود. در نهایت، داده‌های نانومیله باقی‌مانده دسته‌بندی می‌شوند تا ذرات با مساحت کمتر از ۲۰۰ پیکسل حذف شوند. محصول نهایی این گردش کار می‌تواند باقی‌مانده مسیر آنالیز داده‌ها را طی کند.



شکل ۵- مثال رده‌بندی نمونه نانومیله طلا بر اساس ارجحیت (به پیوست ت مراجعه شود)

توزیع‌های مورداستفاده رایج، نیاز به حداقل دو پارامتر دارند: یکی از پارامترها میانگین (یا اندازه) و دیگری تغییرپذیری (یا شکل) داده‌ها را توصیف می‌کند. برای هر کاربرد، خطای نسبی استاندارد (RSE) برای انحراف معیار و میانگین توزیع، تعداد تصاویر نانوذره موردنیاز را تنظیم می‌کند. در این استاندارد، روش‌های توزیع‌های برازش منحنی به داده‌های اندازه ذره، RSEs را برای هر توصیفگر (میانگین و تغییرپذیری) ارائه می‌کند (به زیربند ۲-۹ مراجعه شود). با فرض آن که توزیع برازش شده، یک توصیف خوب داده‌ها را ارائه می‌کند، پژوهشگران می‌توانند اثر تعداد ذرات آنالیزشده را بر RSEs نمونه‌هایشان تعیین و تعداد ذرات شمارش شده را تنظیم کنند تا مجموعه داده‌ها را برای درستی موردنیاز توسعه دهند.

برای توصیفگر اندازه و شکل، استاندارد ISO 9276-6:2008 یک مجموعه از توصیفگر اندازه، تناسب و مزوشکل که به طور معمول برای تعریف ریختشناسی ذره استفاده می‌شوند و آن‌هایی که باید استفاده شوند را ارائه می‌دهد. ذرات باید به‌وسیله توصیفگر اندازه و/یا شکل مشخصه‌یابی شوند. جامعه‌های آماری ذرات، اغلب بازه‌های توصیفگر شکل/اندازه منحصر به‌فرد دارند که راهی برای شناسایی و جداسازی کلوخه‌ها، انبوه‌ها، آلایه‌های تصویر و/یا ذرات خارجی<sup>۱</sup> از مجموعه داده‌های ذرات گرفته‌شده را ارائه می‌دهد.

### ۳-۹ ارزیابی کیفیت داده‌ها - تکرارپذیری، دقت میانی و تجدیدپذیری

هدف کلیدی تحلیل واریانس، شناسایی ذرات، قاب‌ها یا مجموعه داده‌ها است تا به‌طور معمول به‌وسیله بازرسی دیداری و داده‌های آستانه‌گذاری شده<sup>۲</sup> آن بررسی شود. از تحلیل واریانس می‌توان برای ارزیابی تکرارپذیری درون آزمایشگاهی، دقت میانی و تجدیدپذیری میان آزمایشگاهی استفاده کرد. در تفکیک‌پذیری‌های عادی مشخص، به‌طور معمول تعداد کمی از نانوذرات در هر قاب مشاهده معین وجود دارد؛ ممکن است تعداد ۲۰ ذره تا ۱۰۰ ذره معمول باشد. برای این تعداد نقاط، مقادیر توصیفگر میانگین برای هر قاب می‌تواند محاسبه شود. هرچند محتمل است که برآوردهای منطقی برای پارامترهای توزیع اندازه، یعنی میانگین و تغییرپذیری توزیع، بتواند از یک قاب محاسبه شود. در جدول ۴ فرضیه‌ها و سنجه‌های صفر برای هریک از انواع ارزیابی‌ها به‌طور خلاصه ارائه شده‌است. آماره مقدار-*p*-به عنوان سنجه برای هر کدام استفاده شده‌است و برای این استاندارد، از رایگان افزار برای روش تحلیل واریانس استفاده شد.<sup>۳</sup>

جدول ۴- ارزیابی کیفیت داده‌ها با تحلیل واریانس

سنجه	فرضیه صفر	ارزیابی کیفیت داده
اگر $p < 0.05$ باشد، فرضیه صفر رد می‌شود.	آیا همه تصاویر، میانگین توصیفگر یکسان مانند میانگین کل خود دارند؟	تکرارپذیری درون آزمایشگاهی همان کاروَر، همان روز
اگر $p < 0.05$ باشد، فرضیه صفر رد می‌شود.	آیا همه مجموعه‌های داده، میانگین توصیفگر یکسان مانند میانگین کل خود دارند؟	دقت میان آزمایشگاهی کاروَر مختلف یا روز مختلف
اگر $p < 0.05$ باشد، فرضیه صفر رد می‌شود.	آیا همه مجموعه‌های داده، میانگین توصیفگر یکسان مانند میانگین کل خود دارند؟	تجددپذیری میان آزمایشگاهی - آزمایشگاه‌های مختلف، کاروَر مختلف

شکل ۶ گردش کار برای ارزیابی تکرارپذیری درون آزمایشگاهی، حین رده‌بندی داده‌های خام بر اساس ارجحیت را نشان می‌دهد. در این مورد فرضیه صفر آن است که یک میانگین توصیفگر ویژه برای هر تصویر با میانگین کل برای همه تصاویر یکسان باشد، هنگامی که همه تصاویر آنالیز شوند ( $A_1$  از میان  $A_n$ ) یک

1- Foreign particles

2- Thresholded data

3- به وبگاه <http://shiny.as.uky.edu/anova-app/> مراجعه شود.

هماد<sup>۱</sup> یا میانگین کل توصیفگر برای مجموعه داده کل تعیین می‌شود و میانگین‌های توصیفگر برای هر قاب با میانگین کل مقایسه می‌شوند. یک نمونه خروجی نرمافزار، نمودار جعبه‌ای<sup>۲</sup> نشان‌دهنده میانگین کل، مقدار میانگین توصیفگر برای هر قاب، نمودار جعبه‌ای برای هر قاب (به‌طور معمول یک جعبه نشان‌دهنده٪ ۷۵ از مقادیر توصیفگر؛  $s \pm 1/5$ ) و نقاط کرانه است. در صورت نیاز، نقاط کرانه در تصاویر قاب می‌توانند دیده شوند تا اطمینان حاصل شود که آن‌ها نانوذرات مطلوب هستند و آلایه‌های تصویر و آلاینده‌ها نیستند.

به‌طور کلی توصیه می‌شود ذره و داده‌های مرتبط آن گزارش شود و از مجموعه داده کنار گذاشته نشود مگر این‌که:

- الف- مشخص شود که تصویر ذره محدودش است؛
- ب- تعیین شود که ذره آلایه تصویر بوده است؛ یا
- پ- تعیین شود که ذره در طبقه/نوعی قرار دارد که با آن‌چه که تلاش می‌شده تا شمارش شود، متفاوت است؛

به‌طور کلی بهتر است یک تصویر و داده‌های آن گزارش شود و توصیه نمی‌شود که از مجموعه داده خارج شود مگر این‌که:

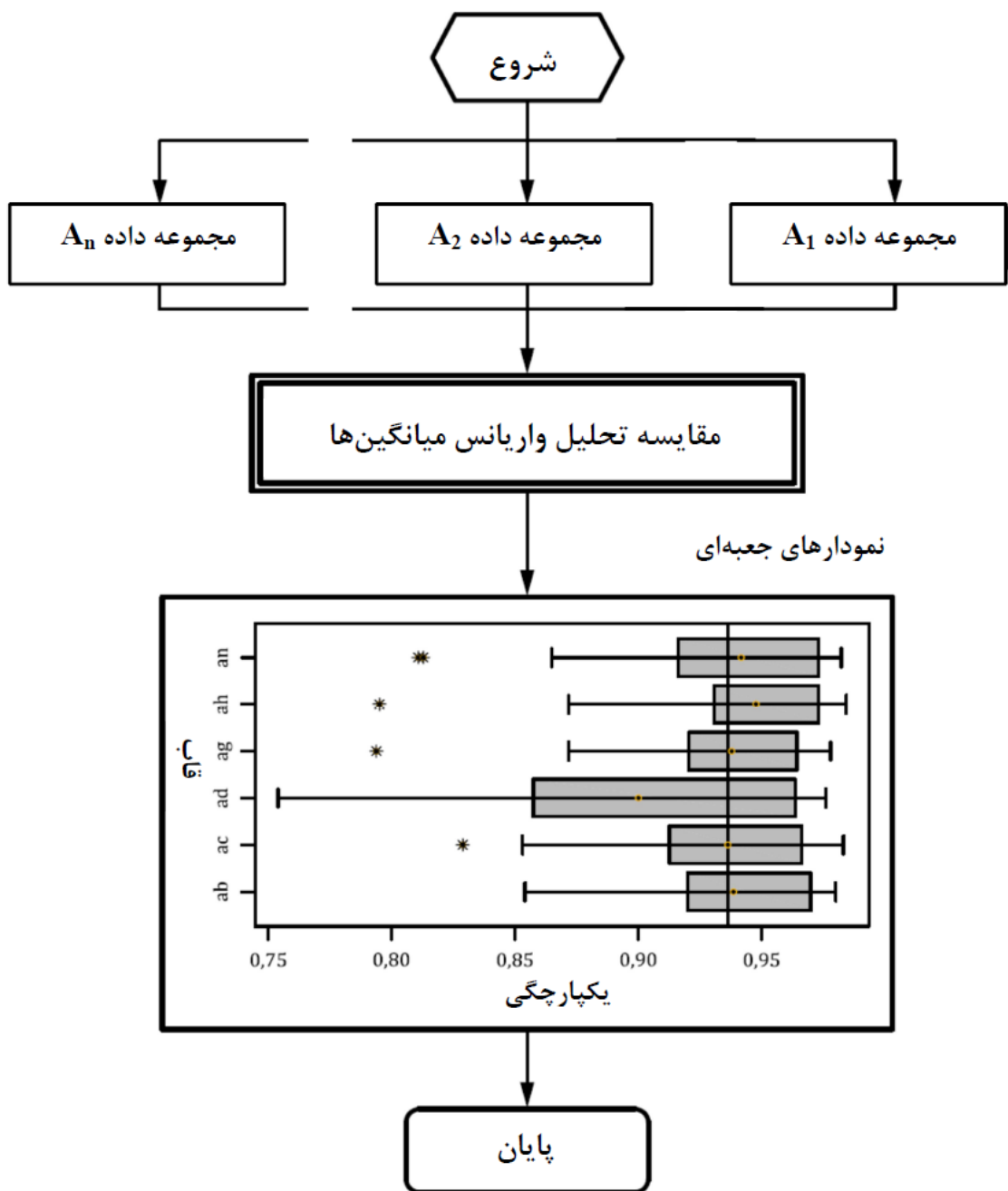
ت- کالیبراسیون یا دیگر تنظیمات عملیاتی دستگاه متفاوت با استاندارد باشد.

آمارهای که نشان می‌دهد ذره «کرانه» است دلیل کافی نیست که سبب حذف ذره شود. این آنالیز می‌تواند برای همه توصیفگرهای ثبت شده تکرار شود. تکرار پذیری توصیفگرهای گوناگون می‌تواند با رتبه‌بندی مقادیر  $p$  آن‌ها یا به‌وسیله تعیین کسری از قاب‌هایی که میانگین‌های توصیفگر مشابه میانگین کل دارند، مقایسه شود. هر دو روش کمک می‌کنند تا نشان دهنند که کدام توصیفگرها برای مجموعه داده به‌خوبی شناخته شده‌اند.

درخت تصمیم شکل ۶ می‌تواند برای دقت میانی و ارزشیابی‌های تجدیدپذیری به کار رود. برای مورد دوم، مجموعه داده  $A_i$  اعضايی از ILC هستند. علاوه‌بر آن، مقایسه دوبعدی مجموعه‌های داده نیز اطلاعاتی در مورد تشابه میانگین داده‌ها، ارائه می‌دهد. آزمون آماری فقط دلیل کافی برای حذف داده‌ها نیست.

---

1- Ensemble  
2- Boxplot



یادآوری - این نمودار جعبه‌ای آنالیز تکرارپذیری توصیفگرهای یکپارچگی برای شش قاب تصویر انبوهه کربن سیاه را نشان می‌دهد.

شکل ۶- گردش کار تحلیل واریانس برای آنالیز تکرارپذیری و تجدیدپذیری

#### ۴-۹ برازش توزیع‌ها به داده‌ها

ممکن است مدل‌های مرجع مرجح برای توصیفگرهای نمونه‌ها ناشناخته باشند. روش‌های رگرسیون غیرخطی می‌توانند برآوردهایی برای پارامترهای توزیع مرجع و خطاهای استاندارد آن‌ها را ارائه دهند. مدل مرجع مرجح برای مجموعه داده ویژه، به‌طور معمول برآوردهای پارامتر با پایین‌ترین خطاهای استاندارد

نسبی را خواهند داشت. روش‌های این استاندارد می‌تواند برای انتخاب بهترین توزیع مرجع یا برای شناسایی توصیفگرهایی استفاده شوند که خطای استاندارد نسبی کم دارند.

توصیفگرهای اندازه، ابعاد ذرات را گزارش می‌کنند، درحالی‌که توصیفگرهای شکل، شکل‌های ذرات را گزارش می‌کنند. هر توصیفگر به مدل مرجع یا دو پارامتر برازش می‌شود: یک پارامتر که مقدار مشخصه برای توصیفگر اندازه/شکل را گزارش می‌کند و یک پارامتر تغییرپذیری که تغییرپذیری مدل توزیع برازش شده را گزارش می‌کند.

سه مدل مرجع که به‌طور معمول به داده‌های توزیع اندازه ذرات تجمعی<sup>۱</sup> برازش می‌شوند، نرمال، لگاریتم نرمال و وایبول<sup>۲</sup> هستند. توجه کنید که برای هر کدام از این مدل‌های مرجع، محاسبات پارامترهای میانگین و تغییرپذیری، متمایز و متفاوت هستند. برای راحتی مقدار مشخصه توصیفگر، «میانگین» و پهنه‌ای مشخصه توزیع، «تغییرپذیری» نامیده می‌شود. به‌طور معمول، مدل‌های مرجع برازش شده به توزیع‌های تجمعی ارجحیت دارد. هنگامی‌که داده‌ها متصل می‌شوند توزیع‌های احتمال تفاضلی، اطلاعات را از دست می‌دهند که اغلب جزئیات نزدیک به دنباله‌های توزیع‌ها را نامفهوم می‌کنند. به‌طور کلی مقادیر پارامتر از برازش‌های توزیع تجمعی، خطاهای استاندارد نسبی کمتری نسبت به آن‌هایی دارند که برای توزیع‌های تفاضلی کnar گذاشته شده‌اند

سه روش رگرسیون غیرخطی (مطابق با استاندارد ۳-ISO 9276) باید استفاده شود تا توزیع تجمعی را به داده‌ها برازش کرده و مقادیر پارامترهای برازش شده را بهینه کنند. این سه روش عبارتند از:

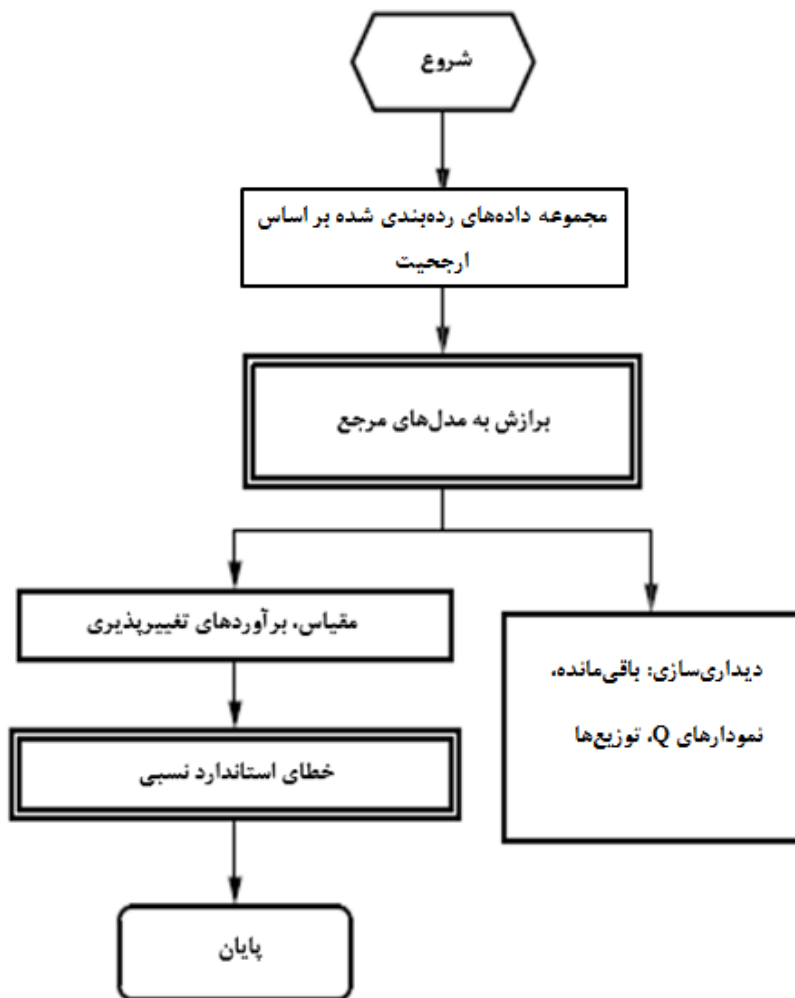
- الف- کمینه کردن واریانس بین داده‌ها و مدل مرجع؛
- ب- تنظیم انحرافات باقی‌مانده بین داده‌ها و مدل مرجع به صفر؛
- پ- تبدیل سه مدل مرجع به توابع خطی (رگرسیون شبیه خطی)؛

نرم‌افزار آماری تجاری می‌تواند مقدار  $R^2$  را برای برازش مرجع، برآورد پارامتر [به عنوان مثال، میانگین ( $\bar{x}$ ) و انحراف (های) استاندارد]<sup>۳</sup>، خطای استاندارد برآورد پارامتر [ $\bar{u}_x$  و  $u_s$ ] ارائه دهد. خطای استاندارد نسبی (RSE)، خطای استاندارد تقسیم بر آماره آن) مقیاسی از کیفیت پارامتر است. مقادیر کمتر خطای استاندارد نسبی بهتر است.

نرم‌افزار رایگان برای برازش توزیع‌ها به داده‌ها استفاده شد<sup>۳</sup>. این روش یک رهیافت آنالیز سازگار برای همه مجموعه داده‌ها ارائه می‌دهد. شکل ۷ گردش‌کار برازش مدل مورداً استفاده برای مطالعات موردنی این استاندارد را نشان می‌دهد (به پیوست ب تا خ مراجعه شود).

1- Cumulative particle size distribution data  
2- Weibull

3- به وبگاه <http://Shiny.as.uky.edu/Curve-fitting-app> مراجعه شود.



شکل ۷- گردش کار برای برازش مدل‌های توزیع اندازه و شکل ذرات به داده‌های اندازه‌گیری شده

مجموعه داده مورد استفاده برای برآورد پارامترهای میانگین و تغییرپذیری می‌تواند از یک آزمایشگاه یا یک روز آزمون، یا هم‌گذاری شده<sup>۱</sup> به وسیله ترکیبی از همه مجموعه داده‌ها در مطالعه، در سراسر روزهای آزمون و/یا آزمایشگاه‌های مختلف باشد. با استفاده از ابزار رایگان افزار کاربر می‌تواند یکی از سه مدل مرجع مختلف را انتخاب کرده و بهترین پارامترهای برازش شده را به وسیله یکی از دو روش برآورد کند. رگرسیون غیرخطی یا احتمال<sup>۲</sup> بیشینه، خطای استاندارد نسبی پارامترهای میانگین و تغییرپذیری می‌تواند برای هر روش برآورد و برای هر مدل، محاسبه شود. هنگامی که یک مدل مرجع برای هر دو توصیفگر، خطای نسبی به طور قابل ملاحظه کمتری دارد، می‌تواند انتخاب مرجح باشد.

۵-۹ ارزیابی عدم قطعیت اندازه‌گیری برای نمونه‌ها تحت شرایط تکرارپذیری، دقت میانی یا تجدیدپذیری

۱-۵-۹ آمارگان کل برای پارامترهای برازش شده- سه مجموعه داده یا بیشتر

1- Assembled  
2- Likelihood

برآوردهای پارامترهای برازش شده برای هر توصیفگر می‌تواند به وسیله روش ارائه شده در زیربند ۳-۹ برای هر مجموعه داده تولید شود. با فرض آن که مقادیر پارامتر برازش شده به صورت نرمال توزیع شده‌اند، «آمارگان کل» برای همه مجموعه داده‌ها محاسبه می‌شود: میانگین، انحراف معیار و ضریب واریانس برای هر پارامتر برازش شده یک توصیفگر. توصیه می‌شود ضریب واریانس کل برای هر پارامتر برازش شده به عدم قطعیت اندازه‌گیری نسبی مرتبط شود. این رهیافت بین همگنی ماده (نمونه به نمونه) و دقت روش (تکرارپذیری، دقت میانی یا تجدیدپذیری) تفاوتی قائل نمی‌شود.

#### ۲-۵-۹ عدم قطعیت اندازه‌گیری پارامترهای برازش شده

رهیافتهای متفاوتی برای ارزشیابی عدم قطعیت اندازه‌گیری [36] [37] [39]، دقت و سوگیری روش‌ها وجود دارند. رهیافت راهنمای ISO/ IEC Guide 98-3 برای اندازه‌گیری عدم قطعیت تعریف اندازه‌دها، شناسایی همه منابع عدم قطعیت‌ها در آزمون، کمی‌سازی هر منبع اثرگذار عدم قطعیت با یک توزیع احتمال، محاسبه عدم قطعیت مرکب (ادغامی)<sup>۱</sup> و برآورد عدم قطعیت گستردۀ در یک سطح اطمینان مشخص است. برخی از مراجع جزئیات بیشتری را در مورد عدم قطعیت اندازه‌گیری برای اندازه‌گیری اندازه‌ذرات به تنها‌ی ارائه می‌کنند [27] [28] [29] [30]. در این استاندارد، از رهیافت سازگار-GUM<sup>۲</sup> از Braun<sup>۳</sup> و همکاران پیروی می‌شود.

اجزای نوع A عدم قطعیت، شامل آن‌هایی می‌شود که به وسیله روش‌های آماری ارزشیابی می‌شوند مانند آزمون‌های تکرارشونده یا آزمون‌های روی مواد مرجع گواهی شده. اجزای نوع B عدم قطعیت به وسیله میانگین‌ها ارزشیابی می‌شود، مانند خطاهای کالیبراسیون یا تأثیرات واریانس‌های دما. اجزاء نوع A به قرار زیر هستند:

- الف - درجه نزدیکی اندازه‌گیری به مقدار مرجع؛
- ب - دقت (درجه‌ای که اندازه‌گیری‌های مختلف، نتایج یکسان می‌دهند).

دقت به طور معمول به دو جزء تقسیم می‌شود: تکرارپذیری (تغییرپذیری که برای کارور یکسان و دستگاه یکسان مشاهده می‌شود) و تجدیدپذیری (تغییرپذیری که برای فرایند یکسانی که به وسیله کاروران مختلف با دستگاه‌های مختلف انجام شده، مشاهده می‌شود) مانند مطالعات موردى در پیوست‌ها. هنگامی که یک ماده مرجع (RM) برای توصیفگر گواهی شده خود در حال بررسی است، صحت<sup>۴</sup> می‌تواند محاسبه شود [اختلاف بین مقدار گواهی شده و مقدار توصیفگر میانگین (سوگیری)].

1- Combined (pooled) standard uncertainty

2- GUM-compliant approach

3- Braun

4- Trueness

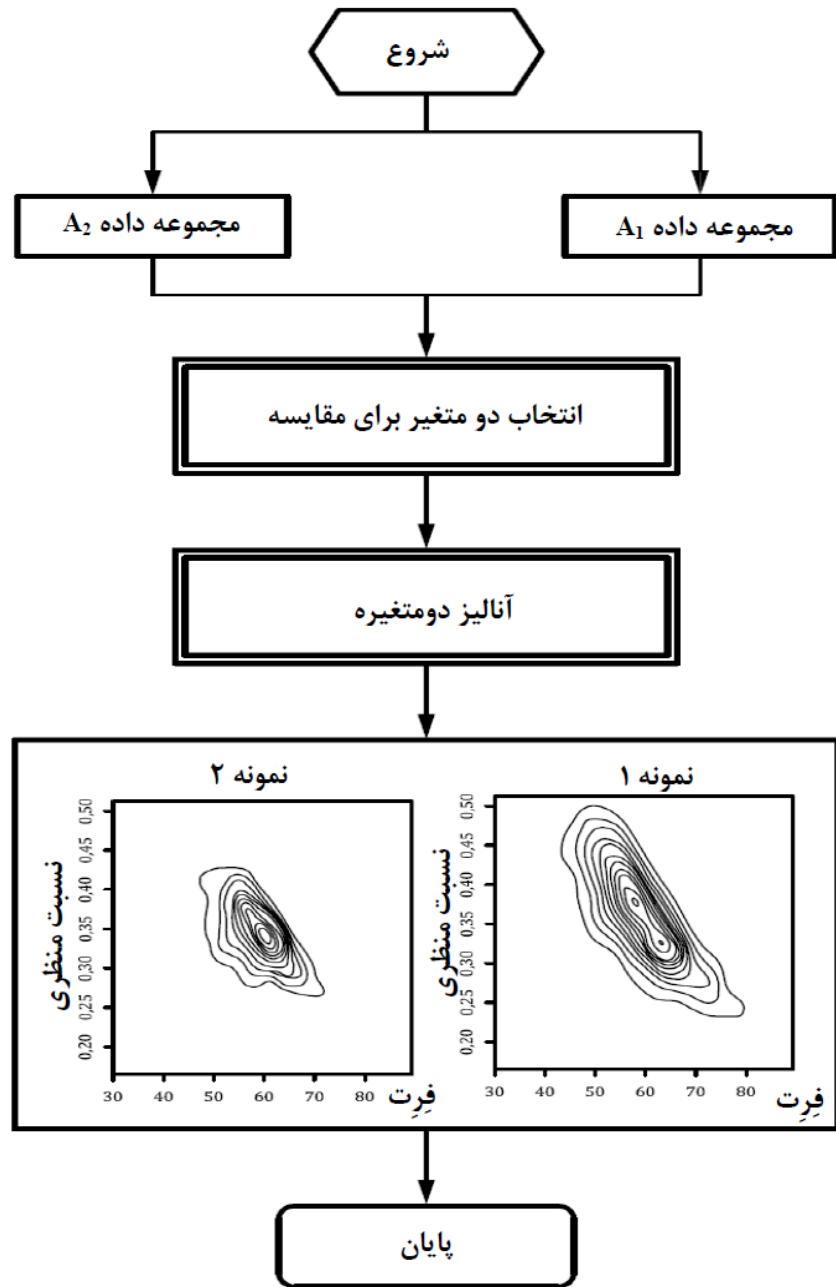
### ۳-۵-۶ مثال - اندازه‌گیری عدم قطعیت برای یک توصیفگر اندازه

برای توصیفگر اندازه، عدم قطعیت اندازه‌گیری ادغامی،  $u_c(x)$ ، برپایه تجدیدپذیری میان آزمایشگاهی،  $(ir)$ ، صحت،  $u(t)$  و خطای کالیبراسیون دستگاه،  $u(c)$ ، است.  $u(ir)$  و  $u(t)$  اجزای عدم قطعیت نوع A هستند، در حالی که  $u(c)$  جزء عدم قطعیت نوع B است. همان‌گونه که با فرمول (۱) نشان داده شده است، عدم قطعیت اندازه‌گیری ادغامی، ریشه جمع مربعات اجزای مجزا است.

$$u_c(x) = \sqrt{u(ir)^2 + u(t)^2 + U(c)^2} \quad (1)$$

### ۶-۶ آنالیز دومتغیره

آنالیز دومتغیره می‌تواند برای مقایسه مجموعه داده دو بعدی مستقل از مدل مفروض استفاده شود ولی منجر به محاسبات عدم قطعیت اندازه‌گیری نمی‌شود. هرچند این نوع آنالیز، مقیاس‌های آماری از تشابه توزیع را ارائه می‌دهد که در برخی از موارد ممکن است مفید باشد. چندین مطالعه موردنی شامل ذرات با تغییرات شکل و اندازه در پیوستها ارائه شده است. درنظر گرفتن هر دو نوع توصیفگر برای مشخصه‌یابی هر ماده‌ای مهم است. شکل ۸ گردش کار را برای آنالیز دومتغیره نشان می‌دهد [40]. این روش، یک آزمون غیرپارامتری برای توزیع‌های یکسان در بعد بالا است که فرضیه مرکب توزیع‌های یکسان هنگامی که توزیع‌ها نامعلوم است را می‌آزماید. انواع مختلفی از مقایسه‌های دومتغیر می‌تواند با این روش آنالیز شوند: توزیع‌های تجربی (داده‌های توزیع تجمعی-توصیفگر) و داده‌های توصیفگر-توصیفگر (اندازه-اندازه، اندازه-شکل یا شکل-شکل). روش دومتغیره برای مقایسه آماری داده‌ها بسیار مفید است ولی سنجه‌هایی ارائه نمی‌کند که بتواند برای محاسبه عدم قطعیت اندازه‌گیری توصیفگرها استفاده شود.



**یادآوری**- این آنالیز دومتغیره نسبت منظری را بحسب قطر فِرُت برای دو نمونه نانومیله طلای مختلف ( $p < 0.001$ ) برای این جفت نمونه مقایسه می‌کند.

شکل ۸- گردش کار برای آنالیز دومتغیره جفت مجموعه داده

## ۱۰ گزارش‌دهی

جدول ۵ مثالی از الگوی گزارش‌دهی برپایه گردش کار و راهنمایی درخت تصمیم این استاندارد است. بخش‌های الگو شامل: صفحه عنوان<sup>۱</sup>، آمده‌سازی نمونه، عوامل دستگاهی، تصویرگیری و آنالیز ذره و آنالیز

1- Frontpiece

داده‌ها است. نوشه‌های میانی خاکستری روشن پاسخ‌های مثل یا پیامواره‌های توضیحی هستند. الگوی گزارش‌دهی واقعی باید با نمونه و کاربرد آن سازگار شود.

#### جدول ۵- الگوی گزارش‌دهی مثال (تمام مثال‌ها با رنگ خاکستری سایه زده شدند)

##### صفحه عنوان

پاسخ	المان طرح
	عنوان مطالعه
	هدف مطالعه
	آزمایشگاه
	نویسنده
	داده‌های عرضه شده

##### آماده‌سازی نمونه

توضیحات	مورد
	شناسه نمونه
	تاریخ دریافت
	زیرلايه
پودر، پراکنه	نوع نمونه
پراکنه شفاف از نظر نوری، پراکنه کدر و ...	شرایط نمونه
	عملآوری نمونه
	دوبخش کردن / تقسیم نمونه
	پیش عملآوری توری
	رسوب ذره
	شرایط نگهداری کنترل شده <sup>۱</sup>
	شستشو
	رنگانه‌زنی <sup>۲</sup>
	خشکانش <sup>۳</sup>
نوع زیرلايه، پیش عملآوری زیرلايه و ...	زیرلايه
	روش قراردهی
	روش خشکانش

<sup>1</sup> Incubation

<sup>2</sup> Staining

<sup>3</sup> Drying

## جدول - ۵ (ادامه)

عوامل دستگاهی

توضیحات	مورد
	سازمان
	کارور
	تاریخ‌های آنالیز
	سازنده دستگاه TEM
	مدل دستگاه
	ولتاژ عملکرد
	تنظیمات جریان باریکه
	برانگیزش عدسی شیئی
	دربیچه پراش
	استانداردهای کالیبراسیون
	جدیدترین تاریخ کالیبراسیون

تصویرگیری و آنالیز داده

توضیحات	مورد
تصویرگیری	
نرم‌افزار / داده‌برداری دستی یا خودکار	نرم‌افزار / روش
بزرگنمایی، nm/pixel، اندازه قاب، نسبت سیگنال به نوفه	شرایط اندازه‌گیری
موردبندی <sup>۱</sup> همه اندازه‌های آنالیز شده، تعداد ذرات گزارش شده، تعداد قاب‌ها	توصیفگرهای نگهداری شده <sup>۲</sup>
آنالیز ذره	
	شرایط آستانه‌گذاری
	مساحت کمینه ذره (پیکسل >۲۰۰)
	تعداد قاب‌ها/ذرات

<sup>1</sup>Descriptors retained<sup>2</sup>Itemize

آنالیز داده‌ها

توضیحات	مورد
رده‌بندی داده‌های خام بر اساس ارجحیت	
توصیفگر، بازه‌های آشکارسازی و تمایزبخشی را گزارش کنید	نرم‌افزار / روش آشکارسازی ذرات در تماس با یکدیگر
توصیفگر، بازه‌های آشکارسازی و تمایزبخشی را گزارش کنید	آشکارسازی آلایه‌های تصویر

## جدول ۵ - (ادامه)

ذرات نگهداشته شده	توصیفگر، بازه‌های آشکارسازی و تمایزبخشی را گزارش کنید.
مورد	توضیحات
بازده میانگین %	ذرات نگهداشته شده را بر حسب درصد گزارش کنید
مورد	توضیحات
دیگر مراحل رده‌بندی براساس ارجحیت	
نرم‌افزار / روش	تکرارپذیری، دقت میانی یا تجدیدپذیری
تکرارپذیری، دقت میانی یا تجدیدپذیری	نرم‌افزار / تحلیل واریانس؛ آنالیز دومتغیره؛ سایر مقدار p برای آنالیز میانگین کل؛٪ مقادیر p مشابه برای آنالیز دوبه‌دو را گزارش کنید
انتخاب توصیفگر	روش گزارش برای انتخاب توصیفگر، اگر اجرایشدنی باشد
نرم‌افزار / روش	توزیع‌های برازش شده به داده‌ها
مدل مرجع مرجع	توزیع نرمال، لگاریتم نرمال، واپیول یا دیگر توزیع‌ها را گزارش کنید
مقادیر پارامتر	برآوردها و خطاهای استاندارد،٪ <sub>v</sub> را گزارش کنید
خطای استاندارد باقی‌مانده توصیفگر	عدم قطعیت اندازه‌گیری
U <sub>ip</sub> یا U <sub>ILC</sub>	خطای استاندارد باقی‌مانده توصیفگر را، اگر محاسبه شده، گزارش کنید
انحرافات باقی‌مانده؛ همبستگی‌ها	عدم قطعیت اندازه‌گیری میان آزمایشگاهی را، اگر محاسبه شده، گزارش کنید
نرم‌افزار / روش	
انحراف معیار باقی‌مانده	انحراف باقی‌مانده
نمودارهای اندک، ... که نشان‌دهنده بازه‌ای است که روی آن مدل چندک، سایر موارد	نمودار انحراف باقی‌مانده، نمودار چندک، ... که نشان‌دهنده بازه‌ای است که روی آن مدل بر داده‌ها برازش شده، گزارش کنید
همبستگی‌ها	همبستگی‌های توسعه‌یافته بین توصیفگرها را گزارش کنید

**پیوست الف**  
**(آگاهی دهنده)**  
**مروز کلی مطالعات موردنی**

**الف- کلیات**

روش‌های اجرایی همراه با جزئیات که با مطالعات چرخشی رابین<sup>۱</sup> صحه‌گذاری شد (به پیوست‌های ب، پ، ت و ث مراجعه شود). با راهنمایی‌های VAMAS برای ILCs و استاندارد ISO 5725-1 مطابقت دارد. یافته‌های کلیدی گزارش شده در هر پیوست مطالعه موردنی در جدول الف-۱ ارائه می‌شود.

**جدول الف-۱- یافته‌های کلیدی گزارش شده در هر پیوست مطالعه موردنی**

پیوست	یافته‌های کلیدی
پیوست ب، نانوذرات کرهوار گسسته	کیفیت داده‌ها برای تصویرگیری خودکار ارزیابی شده است؛ عدم قطعیت‌های اندازه‌گیری برای میانگین‌ها و تغییرپذیری‌های توزیع گزارش شده است
پیوست پ، مخلوط اندازه	معیارها برای جداسازی داده‌های دوشیوه‌ای به خوش‌ها و ارزشیابی دقت میانی خوش‌های جداسازی شده، نمایش داده شده است
پیوست ت، مخلوط شکل	معیارها برای شناسایی نانومیله‌های در تماس با یکدیگر و کمی‌سازی تفاوت‌ها در توزیع‌های اندازه و شکل، نمایش داده شده است
پیوست ث، انبووه‌های بی‌شکل <sup>۱</sup>	عدم قطعیت‌های اندازه‌گیری میانگین‌های توزیع توصیفگر انبووه به این ترتیب هستند: کشامدی شکل <اندازه> زبری. کرهوار، بیضی‌وار، انبووه‌های خطی و شاخه‌دار به طور غیریکنواخت توزیع شده که منجر به توزیع‌های چند شیوه‌ای می‌شود
پیوست ج، انبووه‌های نانوبلورک	طرح کلی دستی نانوبلورک‌ها گزارش شده است. روش کالیبراسیون و نرم‌افزار تصویربرداری روی کیفیت برخی از توصیفگرهای شکل و اندازه تأثیر نمی‌گذارد. توصیفگرهای اندازه اغلب با توزیع‌های لگاریتم نرمال بهتر نمایش داده می‌شوند. مدل سازی دوشیوه‌ای توزیع اندازه یکی از مثال‌های روش‌های دیداری‌سازی مورد استفاده برای درک بهتر است
پیوست چ، نانوالیاف با سطوح مقاطع نامنظم	سه روش اندازه‌گیری دستی با داده‌ها برای لیفچه‌های نانوبلورهای سلولزی است که ذرات با نسبت منظری کم هستند
پیوست خ، نانوذرات با نمودهای ویژه بلور	تجددی‌پذیری برای تصاویر دوبعدی ذرات سه بعدی به وسیله تحلیل واریانس برای سه نوع دستگاه، آنالیزهای چندتایی یک توری و آنالیز سه تصویر ذره یکسان به وسیله شش آزمایشگاه مقایسه شده است

<sup>۱</sup>Amorphous**الف- ۲- نانوذرات کرهوار گسسته (به پیوست ب مراجعه شود)**

RM 8012 یک ماده مرجع برای نانوذرات کرهوار طلا است که اغلب برای کالیبراسیون‌های TEM استفاده می‌شود.

**الف-۳ مخلوط اندازه (به پیوست پ مراجعه شود)**

سیلیکای کلوئیدی برای دوغاب‌های پرداخت‌کاری<sup>۱</sup> به عنوان افروزنی به مواد آرایشی و به عنوان یک جزء در نانوچندسازه‌ها استفاده می‌شود. نمونه ماده مرجع گواهی شده (ERM-FD 102)، یک مخلوط دوشیوه‌ای سیلیکاهای کلوئیدی تجاری [36] [37] بود.

**الف-۴ مخلوط شکل (به پیوست ت مراجعه شود)**

تشدید پلاسمونی طولی تنظیم‌پذیر نانومیله‌های طلا به ریخت‌شناسی آن‌ها مرتبط است [43]. دو مخلوط از نانومیله‌های طلا به اضافه نانومکعب‌های طلا که گمان می‌شد خواص عملکردی مختلفی دارند [44]. نمونه‌ها، مشابه ماده استاندارد گواهی شده ملی در چین بود.

**الف-۵ انبوهه‌های بی‌شکل (به پیوست ث مراجعه شود)**

انبوهه‌های کربن سیاه ریخت‌شناسی خوش‌مانند دارند که در آن گره‌ها<sup>۲</sup> (شاخه‌های جزء سازنده که «ذرات اولیه» نامیده شده‌اند) به شکل خوش‌های «شبه-انگور» انبوهیده شده‌اند. شرکت کابوت<sup>۳</sup> نمونه مرجع کربن سیاه، SRB8، را تأمین کرد که برای پروتکل موجود (ASTM B3844-14a) در دسترس بود.

**الف-۶ انبوهه‌های نانوبلورک (به پیوست ج مراجعه شود)**

اکسیدهای فلزی نانوبلورین به‌طور رایج استفاده می‌شوند و هنگام ساخت در فرایند فاز بخار، تقریباً همیشه انبوهیده هستند. اندازه و شکل بلورک‌های جزء سازنده پودرهای تیتانیای انبوهیده برای عملکرد محصول ضروری است. شرکت تایکو یک نمونه تجاری را تأمین کرد.

**الف-۷ ذرات با نسبت منظری کم (به پیوست چ مراجعه شود)**

توزیع‌های اندازه و شکل نانوذرات با نسبت منظری کم برای تعدادی از کاربردهای آن‌ها بسیار مهم است. روش‌های اندازه‌گیری برای لیفچه‌های ابتدایی<sup>۴</sup> ماده مرجع گواهی شده سلولزی توسط شورای ملی تحقیق کانادا<sup>۵</sup> تأمین شد.

**الف-۸ نانوذرات با نمودهای ویژه بلور**

نانوذرات تیتانیای دوهرمی، ریخت‌شناسی‌های بلورک سه بعدی به‌خوبی تعریف شده را دارند [47] و به عنوان ماده مرجع بالقوه برای توزیع‌های اندازه و شکل هر دو در نظر گرفته می‌شود.

1- Polishing slurries

2- Nodules

3- Cabot

4- Elementary fibrils

5- National Research Council- Canada

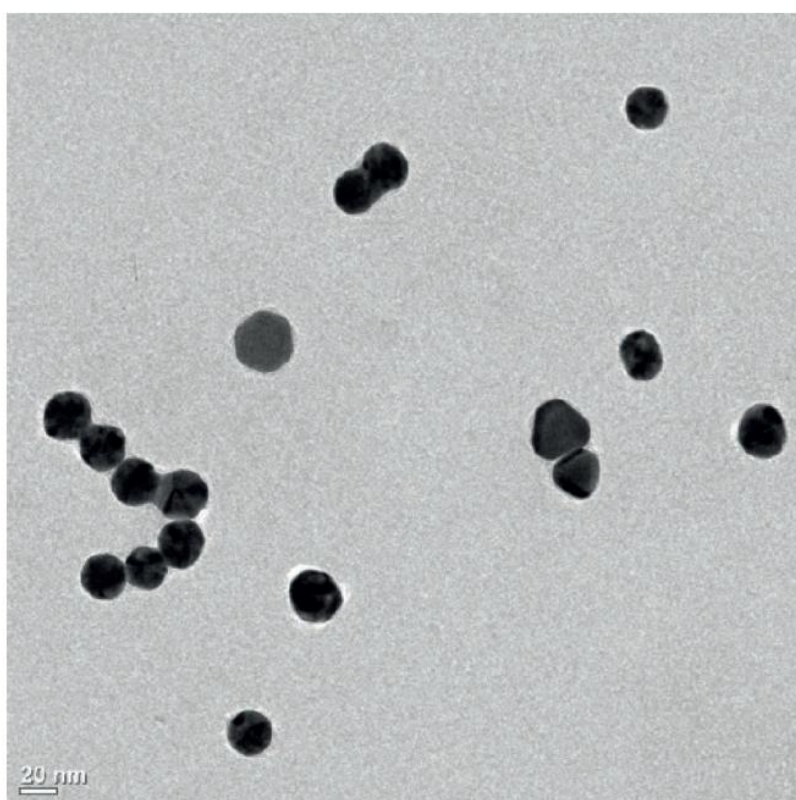
پیوست ب  
(آگاهی دهنده)  
نانوذرات کرهوار گستته

ب-۱ مرجع

یک گزارش کامل از روش و نتایج توسط رایس<sup>۱</sup> و همکاران ارائه شده است [26].

ب-۲ پیشینه و اهداف طرح

یک ماده مرجع است که بهوسیله NIST آماده می‌شود. شکل ب-۱ یک نمونه قاب TEM با نانوذرات طلا را نشان می‌دهد. تعدادی از ذرات در تماس با یکدیگر هستند. از آنجاکه نانوذرات طلا وجهه‌دار هستند، همه آن‌ها پروفایل گرد ندارند. پروتکل شامل تصویرگیری خودکار، آنالیز ذره خودکار، آنالیز آماری داده‌های خام و پارامترهای برآششده توزیع و فراهم آوردن یک چارچوب برای اندازه‌گیری توزیع‌های اندازه ذرات می‌شد.



شکل ب-۱- تصویر TEM نمونه RM8012

### ب-۳ نکات برجسته

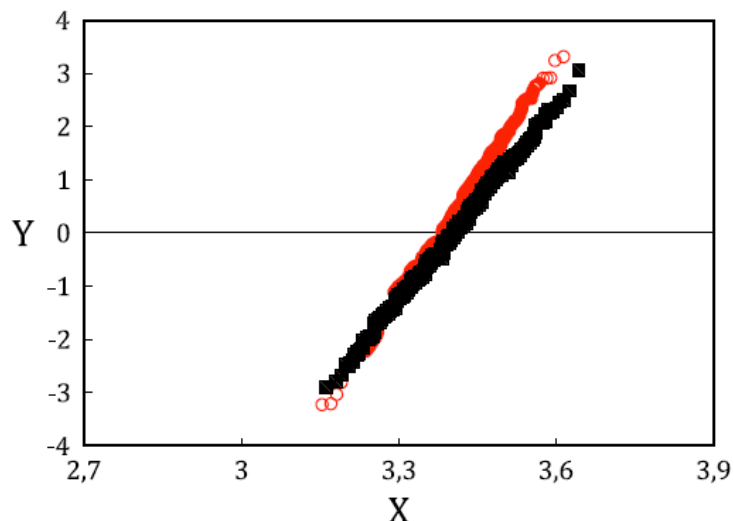
تکرارپذیری درون آزمایشگاهی ECDs، قطرهای فریت و نسبت‌های منظری که با استفاده از داده‌های قاب تحلیل واریانس ارزیابی شد، رضایت‌بخش بود. جدول ب-۱، عدمقطعیت‌های اندازه‌گیری ( $U_{ILC}$ ) پارامتر مدل برآششده برای دو توزیع لگاریتم نرمال و نرمال برای یک ILC [26] را نشان می‌دهد. پارامترهای میانگین مدل‌های لگاریتم نرمال برآششده به توزیع‌ها، عدمقطعیت‌های اندازه‌گیری پایین‌تر از آن‌چه برای مدل نرمال به‌دست می‌آید را دارد: به ترتیب  $16\%$  و  $5.5\%$ . پارامترهای تغییرپذیری (پهنای توزیع) برای هر مدل، توزیع ضرایب واریانس و عدمقطعیت‌های اندازه‌گیری مشابهی دارد. عدم قطعیت اندازه‌گیری میانگین حسابی (متوسطها) حتی بالاتر از آن مقداری است که برای مقادیر توزیع نرمال برآششده وجود دارد.

جدول ب-۱- عدمقطعیت‌های اندازه‌گیری پارامترهای مدل برآششده برای توصیفگر ECD

آماره	$U_{ILC}$ برحسب %	توزيع نرمال برحسب %	$C_v$ برحسب %	توزيع لگاریتم نرمال
آماره	$U_{ILC}$ برحسب %	توزيع نرمال برحسب %	$C_v$ برحسب %	$X, \ln (\text{nm})$
$S, \ln (\text{nm})$	۱۲.۶٪	۵.۸٪	۶.۰٪	
$X, \ln (\text{nm})$				۰.۷۶٪
$S$ برحسب nm				۱.۶٪
nm برحسب X				
$C_v$ برحسب %				۲.۶٪
$U_{ILC}$ برحسب %				۵۱.۵٪
				۱۲.۳٪

یک زیروال<sup>۱</sup> ImageJ برای جدایش ذرات در تماس با یکدیگر، توزیع‌های اندازه با پارامترهای میانگین کوچک‌تر و پارامترهای تغییرپذیری باریک‌تر را ارائه کرد. شکل ب-۲ توزیع قطر فریت بیشینه برای ذراتی که در تماس با یکدیگر نیستند به تنها‌ی (مربع‌های سیاه) و ذرات در تماس با یکدیگر و ذراتی که در تماس با یکدیگر نیستند به صورت جداشده به وسیله الگوریتم واترشد<sup>۲</sup> (دایره‌های توخالی قرمز) را نشان داد. مقدار میانگین برای داده‌های ذرات غیرتماسی، چندین درصد بالاتر از آن‌چیزی است که به وسیله داده‌های جداشده به‌دست می‌آید. علاوه‌بر آن تغییرپذیری توزیع ذراتی که در تماس با یکدیگر نیستند، پهن‌تر از آن چیزی است که از داده‌های ذرات در تماس با یکدیگر به‌دست می‌آید. در این مورد، استفاده از الگوریتم واترشد برای جدا کردن ذرات در تماس با یکدیگر منجر به توزیع‌های مختلف از نظر کمی می‌شود.

1- Subroutine  
2- Watershed



راهنما:

$X = \ln(x_{ECD})$  (اندازه ذره)

■ ذراتی که در تماس با یکدیگر نیستند

$$Y = \frac{1}{s} X - \ln\left(\frac{x_{50,r}}{s}\right)$$

○ ذراتی که در تماس با یکدیگر هستند

شکل ب-۲- نمودار چندک توزیع‌های قطر فریت بیشینه ذراتی که در تماس با یکدیگر نیستند و توزیع‌های ذراتی که در تماس با یکدیگر هستند (جداشده با یک الگوریتم نرم‌افزاری)

توصیفگرهای اندازه، عدم قطعیت‌های اندازه‌گیری مشابه دارند. هر دو قطر ECD و قطر فریت نمایش‌های مشابهی از توزیع اندازه نمونه آزمون ارائه خواهند داد. مدل‌های لگاریتم نرمال، مقادیر عدم قطعیت اندازه‌گیری کمتری برای پارامترهای میانگین و تغییرپذیری توزیع اندازه نسبت به مقادیر مشابه حاصل از مدل‌های مرجع نرمال ارائه می‌دهند. در حالی که نمونه برای قطر معادل میانگین خود (که یک توزیع نرمال فرض می‌شود) گواهی می‌شود، عدم قطعیت برای مقدار میانگین توزیع لگاریتم نرمال کمتر است.

پیوست پ  
(آگاهی دهنده)  
مخلوط اندازه

پ-۱ هدف

نانوذرات می‌توانند توزیع اندازه و/یا شکل چندشیوه‌ای داشته باشند، خواه به عنوان نتیجه فوری روش فراوری نانوذره یا نتیجه مخلوط کردن نانوذرات با اندازه و شکل‌های مختلف. این پیوست مثال‌هایی از چگونگی عمل آوری داده‌های شکل و اندازه میکروسکوپی الکترونی حاصل از چنین موادی را ارائه می‌دهد. برای مثال، ممکن است جدا کردن کسرهای (یا «حالت‌ها» یا «خوشه‌های») مختلف در یک ماده ذره‌ای قبل از انجام آنالیز کسرهای حجمی یا جرمی مجزا، مهم باشد.

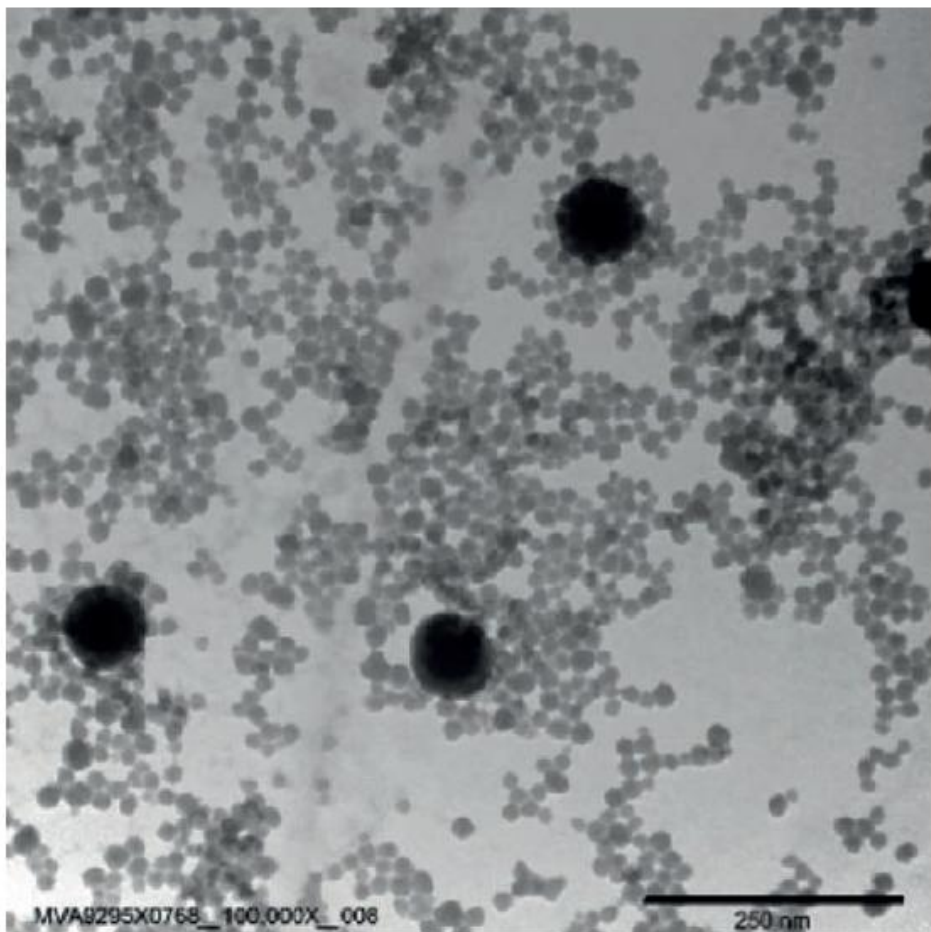
پ-۲ پیشینه و اهداف طرح

مدادهای که برای تشریح رهیافت‌های ممکن انتخاب شد، ERM-FD102 [36]، یک ماده مرجع گواهی شده تولیدشده توسط مرکز تحقیقات مشترک کمیسون اروپا<sup>۱</sup> است. ERM-FD102 با مخلوط کردن دو سیلیکای کلوئیدی تجاری با اندازه‌های اسمی مختلف  $\approx 20\text{ nm}$  و  $\approx 80\text{ nm}$  آماده شد. برای هر دو حالت در توزیع اندازه ذرات ماده مرجع گواهی شده، گواهی نامه ماده مرجع گواهی شده [36] چندین اندازه ذرات گواهی شده را برای هر دو حالت اصلی توزیع اندازه ذرات ماده مرجع گواهی شده ارائه می‌دهد. این اندازه ذرات تعريف شده بر پایه روش، شامل آنالیز میکروسکوپی الکترونی، بودند (به شکل پ-۱ مراجعه شود). از آنجاکه اندازه حالت‌های اصلی با نسبت حدود ۴ متفاوت است، بزرگنمایی‌های مختلفی در مشخصه‌یابی میکروسکوپی الکترونی ماده مرجع گواهی شده استفاده شد تا توزیع‌های اندازه نماینده برای هر دو حالت به دست آید. هر آزمایشگاه میکروسکوپی الکترونی شرکت‌کننده در مطالعه مشخصه‌یابی ماده مرجع گواهی شده، شش مجموعه داده در دوره زمانی سه روزه، با حداقل ۳۰۰ ذره بزرگ در هر مجموعه داده به دست آوردند.

EDC میانه به وسیله میکروسکوپی الکترونی، گواهی شده برای دو حالت بزرگ‌تر در ERM-FD102 nm ۸۳,۳ با عدم قطعیت اندازه‌گیری گستردۀ nm ۲,۳ است. این مقدار، مقدار میانه در بازه اندازه‌گیری nm ۶۰ تا ۱۲۰ است [36]. پهنه‌ای پیک متناظر در توزیع اندازه ذره گواهی نشد.

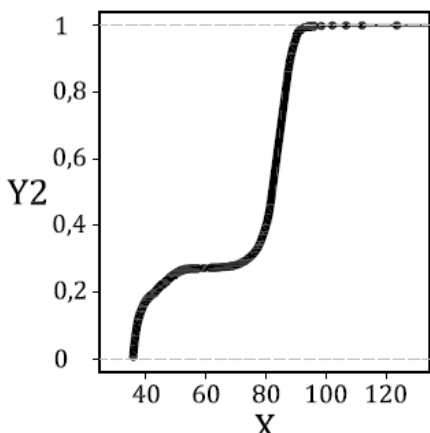
تصاویر AFM ماده یکسان (ERM-FD102) [37] حضور ذرات با اندازه متوسط بین ذرات بزرگ‌تر (به طور اسمی ۸۰ nm) و ذرات کوچک (به طور اسمی ۲۰ nm) را نیز نشان داد. تصاویر TEM گرفته شده برای اندازه‌گیری خوشه ذره بزرگ نیز ذرات سیلیکا با اندازه متوسط در بازه nm ۴۰ ≈ را نیز نشان می‌دهد. شکل پ-۲ بافت‌نگاشت و توزیع تجمعی داده‌های TEM یک آزمایشگاه گزارش‌دهنده (آزمایشگاه یک) را نشان

می‌دهد. تعداد کل ذرات بزرگ گزارش شده در بازه  $35\text{ nm}$  تا  $125\text{ nm}$ ، تعداد  $2801$  ذره بود که عدد از آن‌ها اندازه ECD کمتر از  $60\text{ nm}$  داشتند؛ این مقدار متناظر با کمینه نمایان بین دو پیک بافت‌نگاشت است. همه توزیع‌های توصیفگر اندازه برای ERM-FD102 دو شیوه‌ای هستند. سه نوع توصیفگر گزارش شد: اندازه (شامل مساحت، محیط، قطر فریت، قطر فریت کمینه و ECD)، شکل کشامدی (شامل نسبت منظری و فشردگی) و زبری / بی‌نظمی مرزی (شامل عامل شکل و یکپارچگی).

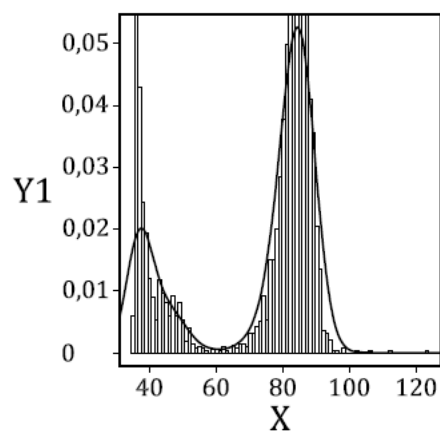


یادآوری - استفاده شده با مجوز مرکز تحقیقات مشترک کمیسیون اروپا (JRC)

شکل پ-۱- تصویر TEM مخلوط نانوذرات سیلیکای کلوئیدی



ب- توزيع تجمعی



الف- توزيع چگالي

راهنمای:

بر حسب ECD nm X

توزيع چگالی Y<sub>1</sub>

توزيع تجمعی Y<sub>2</sub>

یادآوری- بافت نگاشت (سمت راست؛ توزيع چگالی به صورت منحنی سیاه پیوسته و توزيع تجمعی (سمت چپ؛ نقاط به صورت دایره‌ای توپر، توزيع تجمعی به صورت منحنی سیاه پیوسته)

شکل پ-۲- توزيع های چگالی و تجمعی از آنالیز تصاویر ذره با اندازه بزرگ ECD (آزمایشگاه یک)

جدول پ-۱، شناسه‌های<sup>۱</sup> نمونه، تعداد ذرات شمارش شده بین ۳۵ nm تا ۱۲۵ nm، تعداد ذرات با ECD بزرگ‌تر از ۶۰ nm، کسر ذرات با ECD < ۶۰ nm را نشان می‌دهد. همه مجموعه‌های داده بیش از ۳۰۰ ذره بزرگ آنالیز شده (هدف پروتکل) را گزارش دادند به جز برای D3S1 که ۷۱ ذره بزرگ را گزارش داد. کسر میانگین ذرات با اندازه متوسط ۲۷/۲٪ بود.

جدول پ-۱- شش مجموعه داده برای مقایسه دقت میانی

شمارش ذره			مجموعه داده		
ECD<۶۰ nm, %	ECD>۶۰ nm	همه	ID	نمونه	روز
۲۷/۸٪	۳۴۱	۴۷۲	D1S1	۱	۱
۱۹/۷٪	۳۳۰	۴۱۱	D1S2	۲	۱
۲۷/۹٪	۳۶۷	۵۰۹	D2S1	۱	۲
۲۷/۶٪	۳۶۹	۵۱۰	D2S2	۲	۲
۳۵/۲٪	۲۷۱	۴۱۸	D3S1	۱	۳
۲۴/۷٪	۳۶۲	۴۸۱	D3S2	۲	۳
	۷۶۱	۲۸۰۱	کل		

پ-۳ نکات بر جسته

پ-۳-۱ کلیات

این آنالیز به این سوالات پاسخ می‌دهد:

- ۱- کدام روش‌ها می‌توانند تشابه‌ها یا تفاوت‌های بین توزیع‌های اندازه دو شیوه‌ای را تعیین کنند؟
- ۲- کدام روش‌ها ممکن است به بهترین وجه بین ذرات بزرگ (به‌طور اسمی  $\approx 80 \text{ nm}$ ) و ذرات با اندازه متوسط (به‌طور اسمی  $\approx 40 \text{ nm}$ ) تفاوت قائل شوند؟
- ۳- دقتهای میانی (به جدول ۴ مراجعه شود) توزیع‌های اندازه، کشامدی و زبری چه هستند؟

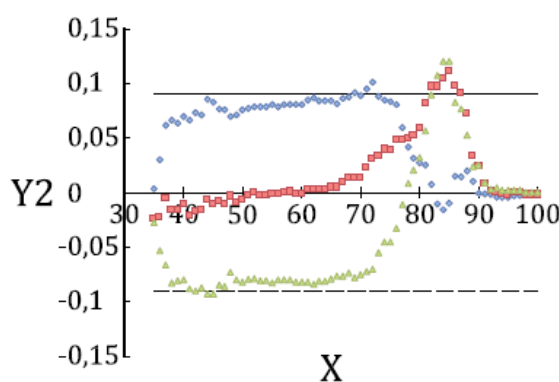
جواب سوال اول، مراحل رده‌بندی داده‌های خام بر اساس ارجحیت را معین می‌کند. جواب سوال دو می‌تواند به صورت خودکار داده‌ها را به دو خوشه ذره با اندازه متوسط جدا کند. جواب‌های دقیق میانی برای ذرات بزرگ می‌تواند با مقادیر عدم قطعیت اندازه‌گیری ماده مرجع گواهی شده [36] [37] مقایسه شود.

### پ-۳-۲ رده‌بندی داده‌های خام بر اساس ارجحیت

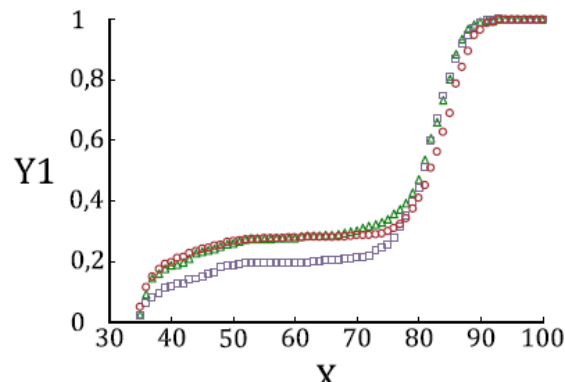
در مطالعه مشخصه‌یابی ERM-FD102، آزمایشگاه‌ها شش مجموعه داده گرفته شده در دوره سه روزه (دو داده در یک روز) را گزارش دادند. اگر فردی بخواهد معادل بودن یا قابلیت مقایسه دو توزیع دو شیوه‌ای اندازه‌گیری شده را قضاوت کند، مقایسه میانگین‌های نمونه به‌وسیله تحلیل واریانس کلی به‌طور خاص به این موضوع مرتبط نیست. به جای آن، تحلیل واریانس دوبه‌دو برای هر ۱۵ جفت ممکن از شش مجموعه داده D<sub>i</sub>S<sub>j</sub> (به‌عنوان مثال، مانند آن‌چه در جدول پ-۱ نشان داده شده است) انجام شده است. مقایسه‌های دوبه‌دو تحلیل واریانس ECD (اندازه)، نسبت منظری (شکل کشامدی) و یکپارچگی (شکل زبری)  $p < 0.05$  را برای ۱۱ جفت از ۱۵ جفت، ۱۵ جفت از ۱۵ جفت و ۹ جفت از ۱۵ جفت ارائه داد که به‌عنوان (ECD) خیلی خوب، (نسبت منظری) عالی، دقیق میانی (یکپارچگی) خوب ارزشیابی شد. از آنجاکه میانگین‌های مجموعه داده بین قطرهای اسمی ذرات با اندازه بزرگ و متوسط، میانی هستند، این مقادیر میانگین به کسرهای تعداد هر دسته گزارش شده در جدول پ-۱ حساس هستند.

روش‌هایی که توزیع‌ها را به صورت مستقیم مقایسه می‌کند، مانند آنالیز دومتغیره و آنالیز کولموگروف-سمیرنوف (K-S)، برای مقایسه این مجموعه‌های داده بسیار مناسب‌تر هستند. آزمون K-S برای تعیین مستقیم آن که آیا دو توزیع تجمعی غیرمشابه هستند یا خیر، طراحی شده است، بدون ارجاع به هیچ مدل خاصی که بتواند داده‌ها را توصیف کند. توزیع تجمعی برای هر مجموعه داده با استفاده از ۱۰۰ گام برابر روی کل بازه داده‌ها برای هر توصیفگر کنار گذاشته شد. تفاوت‌های بین دو منحنی در هر پله،  $D_{m,n}$ ، با آماره زیرینه مقایسه شد (به جدول ۳ مراجعه شود [44] [48]). اگر تفاوت از زیرینه بیشتر شود، تشخیص داده می‌شود که توزیع‌های تجمعی متفاوت است. شکل پ-۳-الف توزیع‌های تجمعی برای سه مجموعه داده A، B و C را نشان می‌دهد.

مقادیر زیرینه این سه جفت مشابه بود،  $0/0\cdot 9 \approx$ ، پس فقط یک مجموعه از مقادیر زیرینه ( $h_m + h_m -$ ) در شکل پ-۳، ب، رسم شد. به وسیله آزمون K-S، همه این سه مجموعه داده مساحتی دارند که از زیرینه بیشتر است و تشخیص داده‌می‌شود که متفاوت است. این تاحدی ناشی از تفاوت‌های بین تعداد ذرات با اندازه متوسط در مجموعه‌های داده گوناگون است که از  $\approx 20\%$  تا  $\approx 35\%$  تغییر می‌کند. به نظر می‌رسد اگر تعداد نقاط داده‌ها افزایش می‌یافتد، چنین تفاوت‌هایی می‌توانست کاهش یابد. آزمون K-S برای این توزیع‌های دوشیوه‌ای نسبت به آزمون تحلیل واریانس ارجحیت دارد زیرا اطلاعات بهتری در مورد تفاوت‌های بین توزیع‌ها ( $D_{m,n}$ ) و به صورت ویژه، در مورد این‌که چگونه این تفاوت‌ها در امتداد بازه توصیف‌گر تغییر می‌کند را ارائه می‌دهد.



ب- تفاوت‌های دوبعدی منحنی تجمعی



الف- توزیع‌های ECD تجمعی

راهنمای:

nm	بر حسب	A	نمونه
ECD	X	B	نمونه
توزيع تجمعی	$Y_1$	C	نمونه
$D_{m,n}$	$Y_2$		

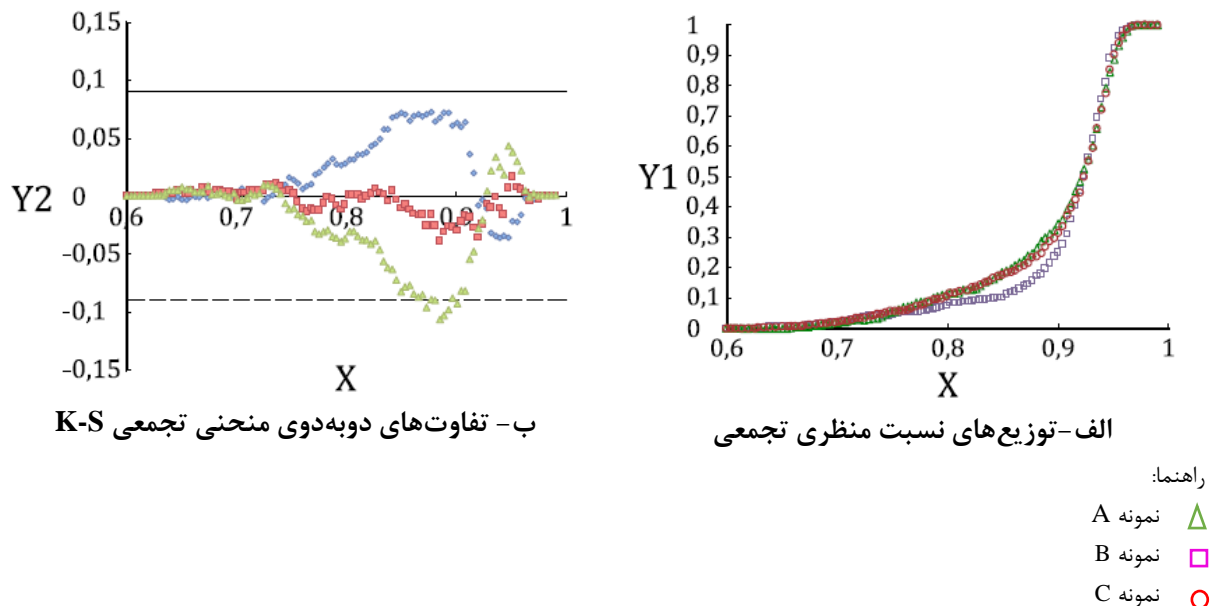
یادآوری ۱- توزیع‌های ECD تجمعی سه نمونه مختلف، A ( مثلث‌های توخالی سبز)، B ( مربع‌های توخالی صورتی) و C ( دایره‌های توخالی قرمز)، نشان‌دهنده این است که نمونه‌های A و C مشابه هستند.

یادآوری ۲- آنالیز کولموگروف- سمیرنوف نشان می‌دهد که هر سه جفت تفاوت‌های بزرگ‌تر از زیرینه دارند و از نظر آماری متفاوت هستند.

### شکل پ-۳- آنالیز تکرارپذیری سه مجموعه داده دوشیوه‌ای ECD

نمودارهای مشابه برای توزیع‌های شکل کشامدی (نسبت منظری) در شکل پ-۴، الف و ب نشان داده شده‌است. توزیع‌های نسبت منظری برای همه ذرات تصویرشده، چندشیوه‌ای هستند. توزیع نسبت منظری، قابلیت تغییر قابل توجهی برای مقادیر بزرگ‌تر از  $0/9$  دارد (به شکل پ-۴- الف مراجعه شود). این موضوع به سبب دو عامل است: تفاوت‌ها در توزیع نسبت منظری برای دو خوشة و تفاوت‌ها در کسرهای هر خوشه در توزیع کل از نمونه به نمونه. دو مجموعه داده با کسرهای مشابه از خوشه‌های متوسط، A و C (به ترتیب با  $27/8$  و  $27/9$ ٪)، مقادیر  $D_{m,n}$  دارند که به خوبی روی همه مقادیر بازه‌های نسبت منظری داخل

زیرینه‌ها هستند. تشخیص داده می‌شود که دو مجموعه از این سه مجموعه داده توزیع‌های نسبت منظری مشابه دارند.



یادآوری ۱- توزیع‌های ECD تجمعی سه نمونه مختلف، A ( مثلث‌های توخالی سبز)، B ( مربع‌های توخالی صورتی) و C ( دایره‌های توخالی قرمز) نشان‌دهنده این هستند که نمونه‌های A و C مشابه هستند.

یادآوری ۲- آنالیز کولموگروف-سمیرنوف نشان می‌دهد که همه جفت‌ها، A-C ( مثلث‌های سبز) تفاوت‌های بزرگ‌تر از زیرینه دارند و از نظر آماری متفاوت هستند.

شکل پ-۴- آنالیز تکرار پذیری سه مجموعه داده نسبت منظری

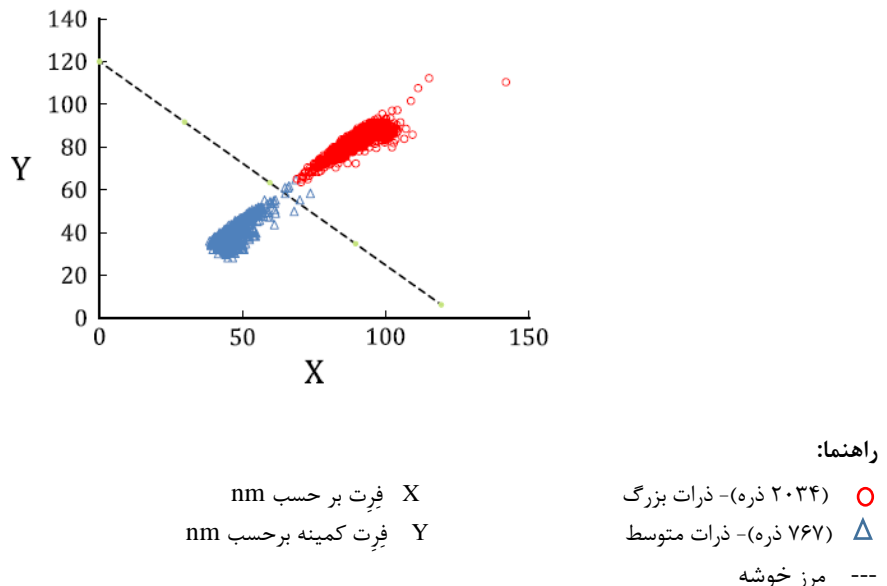
### پ-۳-۳-۱ تفاوت قائل شدن بین خوش‌های ذرات با اندازه بزرگ و متوسط

#### پ-۳-۳-۲ کلیات

دو خوش‌های داده‌ای که در شکل پ-۲ نشان داده شده‌است با چندین راه از جمله یک مقدار کمینه در توزیع ECD که در بازه  $nm = 60$  است، می‌تواند جدا شود. رهیافت‌های جایگزین، هماندازه و همشکل ذرات سیلیکای کلوئیدی را در نظر می‌گیرند. ذرات سیلیکای کلوئیدی برای شکل کره‌وار خود شناخته شده‌اند. با این حال، در این پیوست سه روش برای در نظر گرفتن همبستگی اندازه و شکل نشان داده شده‌است. روش اول، همبستگی اندازه-اندازه با قطر فریت بیشینه را به عنوان متغیر مستقل و قطر فریت کمینه را به عنوان متغیر وابسته در نظر می‌گیرد. دو روش دیگر قطر ECD را به عنوان متغیر مستقل با یکی از دو توصیف‌گر کشامدی (نسبت منظری) یا زبری (یکپارچگی) شکل به عنوان متغیر وابسته، استفاده می‌کنند.

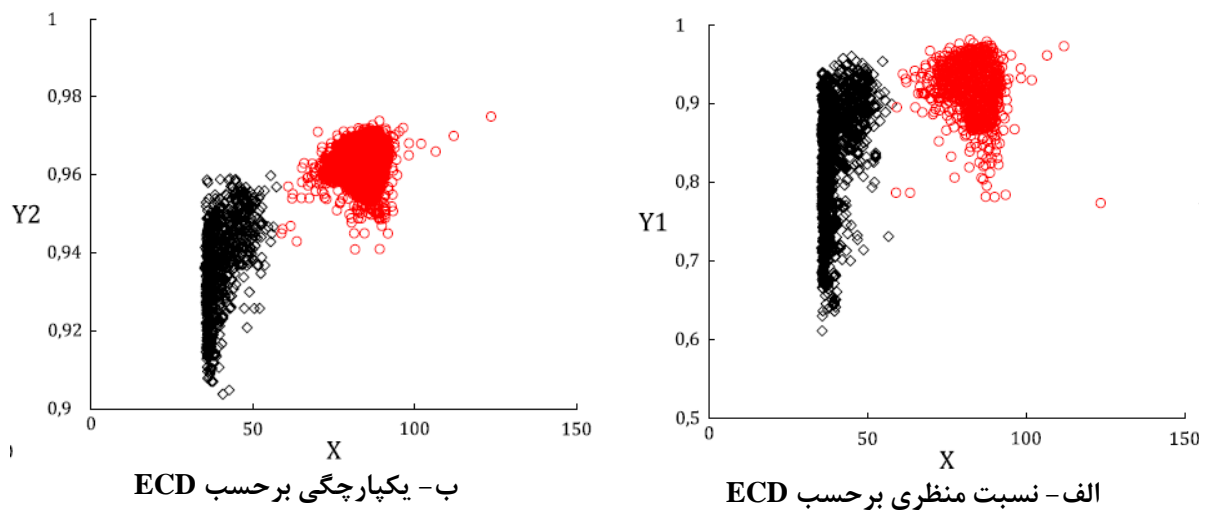
همبستگی اندازه-اندازه: شکل پ-۵، نمودار قطر فریت کمینه را به صورت تابعی از قطر فریت نشان می‌دهد. دو خوش‌ه با استفاده از خط‌چین به صورت تجربی جدا شده‌اند تا فرایند دسته‌بندی کردن را خودکار کنند. در این مورد، تعدادی خط می‌توانند برای انجام جدایش از عمودی تا افقی استفاده شوند. مدل‌های خطی

( $\text{minFeret} = a \times \text{Feret} + b$ ) برای هریک از خوشها شبیهای متفاوتی را ارائه می‌کند ولی همبستگی‌ها مقادیر  $R^2$  برابر ۰/۷۶ و ۰/۶۶ دارند؛ معادلات آن‌ها در این پیوست گزارش نشد زیرا آن‌ها روش قانع‌کننده‌ای برای تمایز قائل‌شدن بین دو خوشه ذرات را ارائه نمی‌کنند.



### پ-۳-۲-۳ همبستگی کشامدی-اندازه

یک روش جایگزین، همبسته کردن نسبت منظری با قطر ECD است. نتیجه در شکل پ-۶، الف، نشان داده شده‌است. این نمودار تفاوت‌های ریخت‌شناسی بین دو خوشه را نشان می‌دهد. خوشه ذره بزرگ بازه نسبت منظری کوچک‌تر،  $0/77 \approx$  تا  $0/98$  دارد. خوشه ذره با اندازه متوسط نسبت منظری  $0/61 \approx$  تا  $0/96$  دارد. بنابراین ذرات بیشتری از خوشه با اندازه متوسط نسبت به ذرات خوشه بزرگ کشامده شده‌اند. هرچند خوشها نمی‌توانند فقط با استفاده از توزیع‌های نسبت منظری خود جدا شوند، زیرا هم‌پوشانی قابل ملاحظه‌ای از بازه‌های آن‌ها وجود دارد. بازه‌های هم‌پوشانی در بازه پهنه‌ی از توزیع منظری سهیم هستند که در شکل پ-۴، الف، دیده می‌شوند. به علاوه، به نظر نمی‌رسد خوشه با اندازه متوسط  $ECD < 35 \text{ nm}$  دیده شود؛ این موضوع به طور کامل‌تر در زیربند پ-۳-۴-۴ بحث می‌شود.



راهنما:

نحوه nm	بر حسب ECD X	ذرات ۲۰۳۴ ذره - ذرات
نسبت منظری	Y <sub>1</sub>	ذرات با اندازه متوسط ۷۶۷ ذره
یکپارچگی	Y <sub>2</sub>	ذرات با اندازه بزرگ

شکل پ-۶- همبستگی بین ECD و دو توصیفگر شکل (کشامدی و زبری)

### پ-۳-۳ همبستگی اندازه-زبری

شکل پ-۶، ب، همبستگی بین یکپارچگی و ECD برای این دو خوشه را نشان می‌دهد. یکپارچگی، مقیاسی از زبری سطح یا بی‌نظمی مرز است. مقادیر یکپارچگی برای هر دو خوشه نسبتاً بالا است، هرچند هنوز تفاوتی در توصیفگرهای زبری وجود دارد. خوشه‌ها با استفاده از یکپارچگی به تنها یی نمی‌توانند از یکدیگر متمایز شوند. هرچند یکپارچگی همراه با ECD، ابزار تمایز متقاعد کننده‌ای بین دو خوشه است. انتخاب‌ها می‌تواند برای مرزهای بین خوشه‌ها در هر کدام از این همبستگی‌ها به منظور جدایش‌های خودکار کمی‌سازی شود.

### پ-۳-۴ دقیق میانی آزمایشگاهی

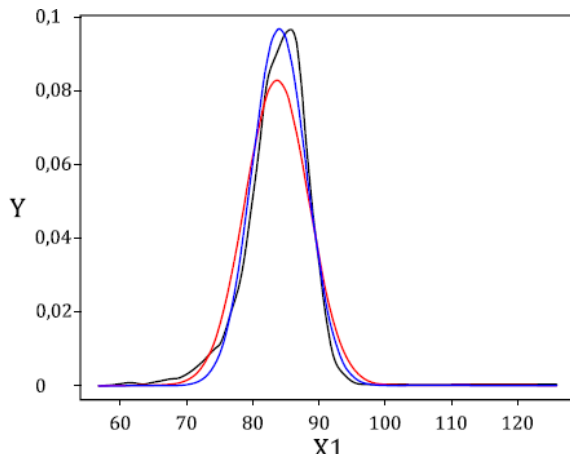
مقادیر دقیق میانی برای پارامترهای مدل‌های مرجع برآششده به توزیع‌های تجمعی خوشه‌های با اندازه بزرگ و متوسط جدا شده به وسیله روش شکل پ-۵، می‌تواند محاسبه شود. جدول پ-۲ و پ-۳ پارامترهای برآششده به ترتیب برای ECD، نسبت منظری و یکپارچگی برای خوشه‌های با اندازه بزرگ و متوسط را نشان می‌دهد. مقدار متوسط برای ECD، خوشه با اندازه بزرگ ۸۴/۱ nm و تغییرپذیری داده‌ها ۴۰ nm است. مقدار میانگین، تناظر خوبی با مقدار میانی گزارش شده برای ذرات اندازه بزرگ (۸۳/۳ nm) دارد. هیچ مقدار گواهی‌شده‌ای برای تغییرپذیری این توزیع یا پارامترهای برآششده نسبت منظری و یکپارچگی وجود ندارد. عدم قطعیت میانگین ECD برابر ۲/۳ % بوده و عدم قطعیت میانگین‌های نسبت منظری و یکپارچگی کمتر از این مقدار هستند. عدم قطعیت مرتبط با تغییرپذیری داده‌ها، بسیار بزرگ‌تر است.

جدول پ-۲- ذرات بزرگ جداسازی شده- پارامترهای برآششده برای میانگین و تغییرپذیری توزیع های ECD نسبت منظری و یکپارچگی (۲۰۴۰ تصویر)- مدل مرجع نرمال

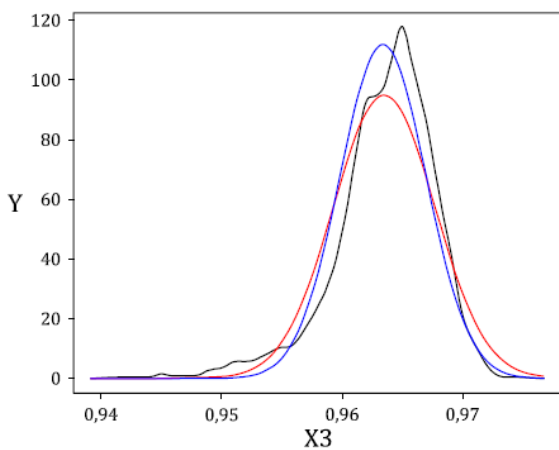
یکپارچگی		نسبت منظری		ECD Nm		نمونه
تغییرپذیری	میانگین	تغییرپذیری	میانگین	تغییرپذیری	میانگین	
۰,۰۰۳۵	۰,۹۶۳	۰,۰۲۱۷	۰,۹۳۵	۴,۰۱	۸۳,۹	D1S1
۰,۰۰۳۴	۰,۹۶۳	۰,۰۲۰۷	۰,۹۳۲	۴,۲۵	۸۲,۹	D1S2
۰,۰۰۳۶	۰,۹۶۳	۰,۰۲۲۶	۰,۹۳۵	۴,۰۵	۸۴,۹	D2S1
۰,۰۰۳۹	۰,۹۶۳	۰,۰۲۴۴	۰,۹۳۰	۳,۶۱	۸۵,۳	D2S2
۰,۰۰۳۶	۰,۹۶۴	۰,۰۲۱۷	۰,۹۳۲	۴,۰۸	۸۳,۶	D3S1
۰,۰۰۳۳	۰,۹۶۳	۰,۰۲۱۱	۰,۹۳۲	۴,۱۲	۸۳,۶	D3S2
۰,۰۰۳۶	۰,۹۶۳	۰,۰۲۲۰	۰,۹۳۲	۴,۰۲	۸۴,۱	متوسط
۰,۰۰۰۲	۰,۰۰۰۱	۰,۰۰۱۳	۰,۰۰۲۰	۰,۲۱۷	۰,۹۰۹	Stdev <sup>۱</sup>
۵,۸۴	۰,۰۱	۶,۰۲	۰,۲۲	۵,۳۹	۱,۰۸	Cv٪ برحسب
۱۲,۶	۰,۰۲	۱۳,۰	۰,۴۷	۱۱	۲,۳۴	U٪ برحسب
۰,۰۰۰۴	۰,۰۰۰۲	۰,۰۰۲۹	۰,۰۰۴۴	۰,۴۷	۱,۹۶	U, مقدار

<sup>۱</sup> انحراف معیار

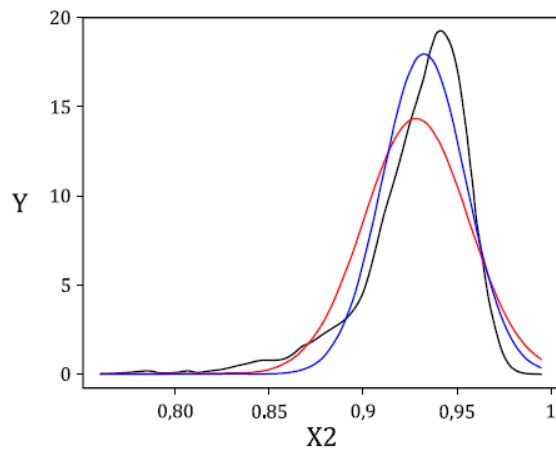
شكل پ-۷، الف تا پ، توزیع های چگالی هموار مجموعه های داده ترکیبی از کسر ذرات بزرگ در ERM-FD102، همراه با مدل های دارای پارامترهای برآششده با استفاده از رگرسیون غیرخطی یا برآوردهای احتمال بیشینه را نشان می دهد. همه برآششها بر پایه مدل های مرجع نرمال است. داده های ECD به وسیله توزیع نرمال، با تفاوت های اندکی در مقدار پیک به علاوه لبه جلویی توزیع، نسبتاً به خوبی توضیح داده شده است. داده های نسبت منظری، چند شیوه ای هستند؛ انحرافات قابل ملاحظه ای بین داده ها و مدل در لبه مقدم، بیشینه و لبه انتهایی بازه توصیفگر وجود دارد. داده های یکپارچگی نیز چند شیوه ای هستند ولی تناظر اندکی بهتر، بین داده ها و مدل ها وجود دارد.



الف- توزیع ECD در حالت برازش شده



پ- توزیع یکپارچگی در حالت برازش شده



ب- توزیع نسبت منظری در حالت برازش شده

راهنمای:

نمودار داده ها	توزیع چگالی هموار
برازش رگرسیون غیرخطی	برازش احتمال بیشینه
برازش احتمال بیشینه	برازش احتمال بیشینه

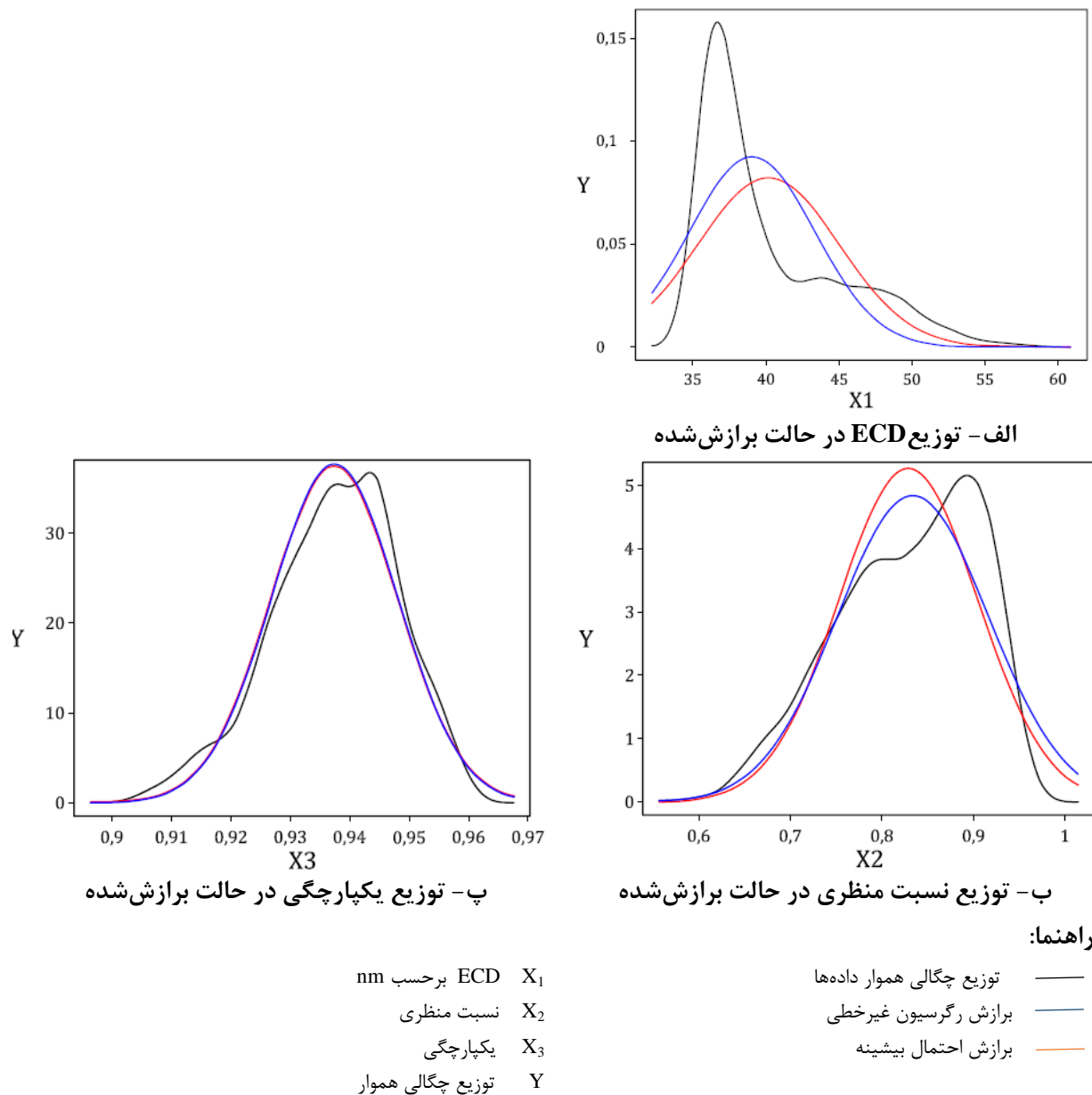
شکل پ-۷-۷- مدل مرجع نرمال برازش شده به توزیع های توصیفگر خوش با اندازه بزرگ

جدول پ-۳، عدم قطعیت مرتبط با سه پارامتر توصیفگر انتخابی برای داده های خوش با اندازه متوسط جداسازی شده را نشان می دهد. شکل های پ-۸، الف تا پ، توزیع های برازش شده با داده های مرتبط را نشان می دهند. توزیع ECD عدم قطعیت  $\approx 5\%$  دارد و داده ها به طور قابل ملاحظه ای به سمت چپ منحنی های مدل تک شیوه ای متمایل شدند. همانگونه که در شکل های پ-۷ و پ-۸ نشان داده شده است، این متمایل شدن به این دلیل است که داده ها برای پیک با اندازه متوسط حذف شده اند. همانگونه که قبل اشاره شد، JRC از آزمایشگاه های همکار درخواست کرد تا فقط داده های مربوط به کسرهای بزرگ و کوچک را گزارش دهند. میانگین نسبت منظری دو خوش با اندازه متوسط از نظر آماری کمتر از اندازه میانگین خوش با اندازه

بزرگ است، یعنی میانگین‌ها بسیار بیشتر از دو انحراف معیار از هم دور هستند. همچنین میانگین یکپارچگی خوش با اندازه متوسط از نظر آماری کمتر از میانگین یکپارچگی داده‌های خوش با اندازه بزرگ است.

جدول پ-۳- داده خوش با اندازه متوسط جداسازی شده - پارامترهای برآورد شده برای میانگین و تغییرپذیری توزیع‌های ECD، نسبت منظری و یکپارچگی (۷۶۱ تصویر) - مدل مرجع نرمال

یکپارچگی		نسبت منظری		ECD Nm		نمونه
تغییرپذیری	میانگین	تغییرپذیری	میانگین	تغییرپذیری	میانگین	
۰,۰۰۹۲	۰,۹۴۰	۰,۰۸۶۳	۰,۸۳۱	۴,۶۷	۳۹,۳	D1S1
۰,۰۱۰۸	۰,۹۳۹	۰,۰۹۶۹	۰,۸۳۷	۵,۸۳	۴۰,۴	D1S2
۰,۰۰۹۵	۰,۹۳۶	۰,۰۸۲۵	۰,۸۲۷	۳,۴۵	۳۸,۴	D2S1
۰,۰۰۹۵	۰,۹۳۷	۰,۰۶۸۸	۰,۸۳۹	۳,۳۵	۳۸,۴	D2S2
۰,۰۱۲۱	۰,۹۳۴	۰,۰۷۶۶	۰,۸۴۵	۳,۱۹	۳۸,۴	D3S1
۰,۰۱۱۴	۰,۹۳۸	۰,۰۸۹۵	۰,۸۱۵	۵,۳۲	۴۰,۰	D3S2
۰,۰۱۰۴	۰,۹۳۸	۰,۰۸۳۶	۰,۸۳۲	۴,۳۰	۳۹,۲	متوسط
۰,۰۰۱۲	۰,۰۰۲۲	۰,۰۰۹۷	۰,۰۱۰۷	۱,۱۳	۰,۸۹۶	Stdev
۱۱,۵	۰,۲۲	۱۱,۷	۱,۲۸	۲۶,۳	۲,۲۹	% بر حسب Cv
۲۴,۷	۰,۵۰	۲۵,۲	۲,۷۷	۵۶,۸	۴,۹۵	% بر حسب U
۰,۰۰۲۷	۰,۰۰۴۷	۰,۰۲۱۱	۰,۰۲۳۰	۲,۴۴	۱,۹۴	U, مقدار



شكل پ-۸- مدل مرجع نرمال برازش شده به توزیع‌های توصیفگر خوشه با اندازه متوسط

#### پ-۴ نتیجه‌گیری

آماره کولموگروف-سمیرنوف در تعیین تفاوت‌های دوبه‌دو بین توزیع‌های تجمعی دو شیوه‌ای مؤثر است. این آماره نشان‌دهنده آن است که آیا دو مجموعه داده متفاوت است یا خیر و در ضمن بازه داده‌هایی را که در آن بیشینه تفاوت‌ها رخ می‌دهد، شناسایی می‌کند. این روش می‌تواند به پژوهشگران در رده‌بندی داده‌های خام بر اساس ارجحیت برای شناسایی اصلاحات بالقوه در پروتکل‌ها، یعنی مؤلفه‌هایی که می‌توانند منجر به تکرارپذیری، دقیق‌تر شوند، کمک کند.

داده‌های میکروسکوپی الکترونی حاصل از کسر بزرگ مخلوط ERM-FD102 ذرات سیلیکای کلوئیدی می‌تواند با استفاده از توصیفگر اندازه (ECD)، به خوشه‌های با اندازه بزرگ و متوسط جداسازی شوند. نمودارهای دومتغیره می‌توانند به دیداری‌سازی تفاوت‌ها در توصیفگرهای اندازه، کشامدی و زبری کمک کنند. این موضوع می‌تواند تمایز قائل‌شدن ریخت‌شناسی‌های خوشه را با نمایش آن‌که کدام توصیفگرها یکسان یا متفاوت هستند، بهبود بخشد. در این مورد دیداری‌سازی نیز تأیید می‌کند که برخی از ذرات با اندازه متوسط از داده‌ها حذف شده و درنظر گرفته نشده‌اند. پژوهشگران می‌توانند با ملاحظه این‌که آیا داده‌های اضافی موردنیاز است، تصمیم‌گیری کنند.

توزیع‌های نسبت منظری و یکپارچگی به‌طور قابل ملاحظه‌ای بین این دو خوشه متفاوت هستند و می‌توانند به عنوان روشی برای تفاوت قائل‌شدن به کار روند. قابل ذکر است که نقطه کمتر بازه نسبت منظری برای خوشه با اندازه متوسط،  $\approx 61\text{ }\mu\text{m}$ ، به‌طور قابل ملاحظه‌ای کمتر از نقطه مشابه برای خوشه با اندازه بزرگ،  $\approx 77\text{ }\mu\text{m}$  است. این تفاوت‌های ریخت‌شناسی می‌تواند بیشتر بررسی شود.

پیوست ت  
(آگاهی دهنده)  
مخلوط شکل

ت-۱ مرجع

نمونه‌هایی که برای این پیوست ارزشیابی شد توسط مرکز ملی علم و فناوری نانوی پکن<sup>۱</sup> در چین فراهم شد و مشابه با GSB02-2994-2013، ماده استاندارد گواهی شده ملی در چین است. یک ILC به منظور توسعه گردش کار برای تفاوت قائل شدن نمونه‌ها استفاده شد.

ت-۲ پیشینه و اهداف طرح

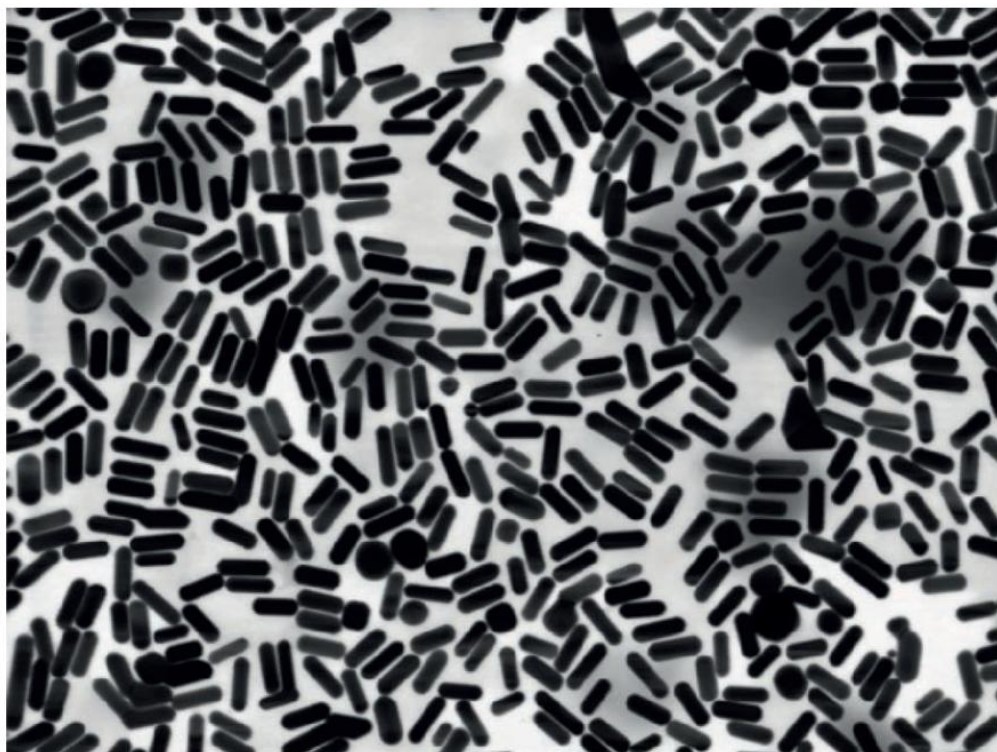
نمونه‌ها با استفاده از فرایند سنتز به واسطه جوانه ساخته شدند، محصولات نانوذرات حاصل از چنین فرایندهایی اغلب حاوی مقادیر اندکی از ذرات جوانه هستند که مطابق با نظریه رشد نکردن. شکل ت-۱ یک مثال از قاب STEM را نشان می‌دهد که نانومیله‌ها و دیگر شکل‌هایی را که در این استاندارد اصطلاح «نانومکعب‌ها» برای آن‌ها به کار می‌رود، نمایش می‌دهد. به طور نمونه ریخت‌شناسی‌های نمونه نانومیله طلا روی محل‌های استقرار پلاسمون‌های سطحی طولی آن‌ها تأثیر می‌گذارد، پس ممکن است حذف «غیرنانومیله‌ها» از محصولات نهایی مطلوب باشد [50]. علاوه‌بر آن تعدادی ذره در این قاب در تماس با یکدیگر هستند. میزان ذرات در تماس با یکدیگر حین آنالیز داده‌ها می‌تواند توزیع‌های توصیفگر را در مقایسه با مجموعه‌های داده‌ای که از آن چنین همتافت‌هایی<sup>۲</sup> حذف شده‌است، تحریف کند [26]. کاربران اغلب به روش‌های خودکار برای شناسایی، آنالیز و/یا حذف ذرات غیرمورد نظر از مجموعه داده‌ها تمایل دارند.

یافته‌های کلیدی مطالعه در این پیوست چنین خلاصه شده‌اند:

-۱ روشهای برای شناسایی و جداسازی ذرات در تماس با یکدیگر (مصطلح «همتافت‌ها») به زیربند ت-۳-۱ مراجعه شود.

-۲ روشهای برای تفاوت قائل شدن بین ریخت‌شناسی‌های نمونه که برای تفاوت قائل شدن بین نمونه‌ها با خصایص عملکردی مختلف (نمونه ۱ و نمونه ۲) استفاده شد، به زیربند ت-۳-۲ مراجعه شود.

1- Beijing  
2- Complexes

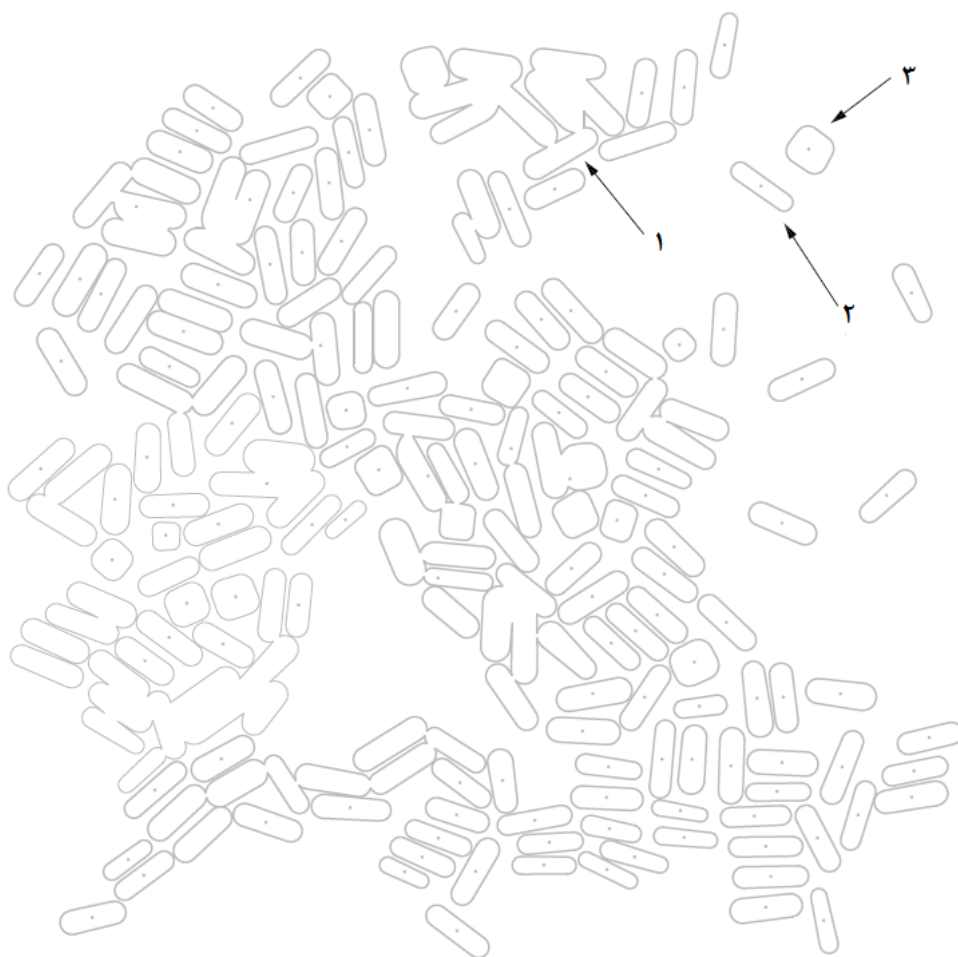


شکل ت-۱- تصویر STEM در چگالی بالا از نانومیله‌های طلای کلوئیدی

### ت-۳ نکات بر جسته

ت-۳-۱ روشی برای شناسایی و جداسازی همتافت‌های ذرات در تماس با یکدیگر یک روش ابتکاری برای شناسایی توصیفگرها و بازه‌های توصیفگر که بین ذرات گستته و در تماس با یکدیگر و نانومکعبها و نانومیله‌ها تفاوت قائل می‌شود، توسعه یافت.

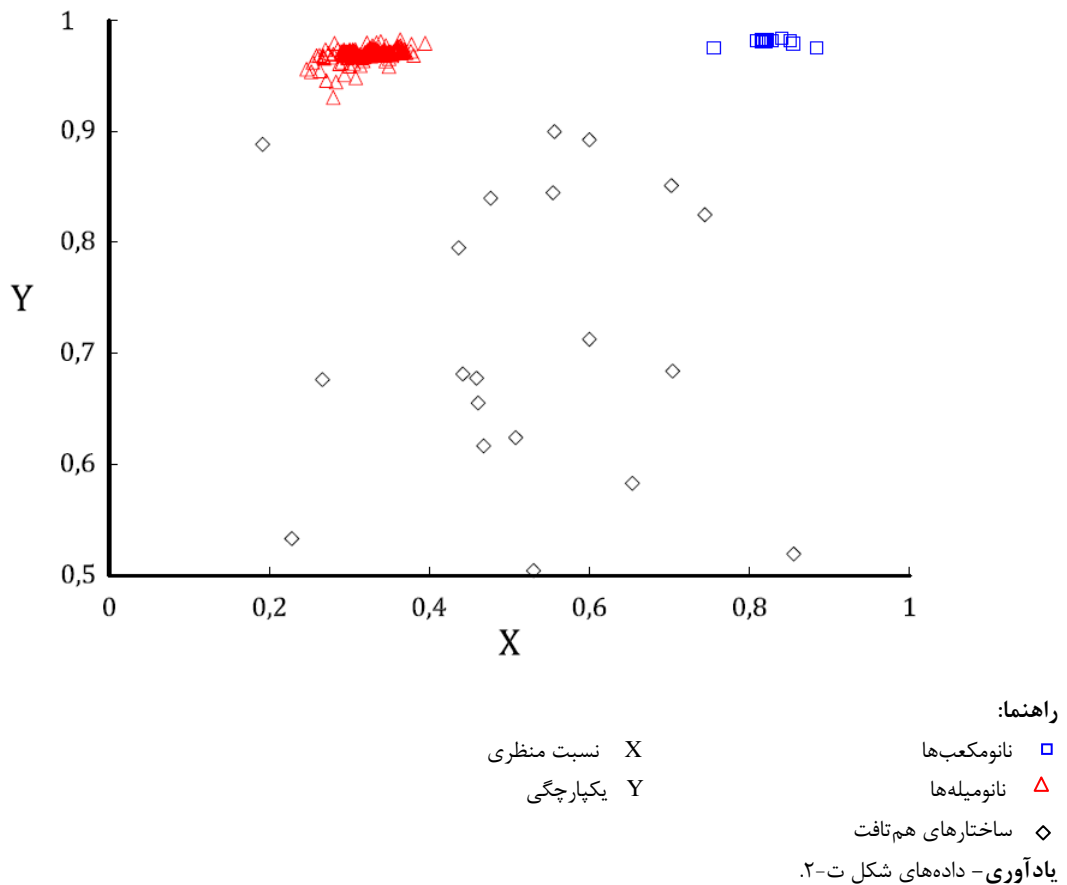
شکل ت-۲، طرح‌های کلی ذرات یک قاب خاص را نشان می‌دهد. در این تصویر، ۱۴۲ ذره با توجه به همتافت بودن، نانومیله‌های گستته و نانومکعب‌های گستته دسته‌بندی شدند. تحلیل واریانس داده‌های یکپارچگی نشان‌دهنده این است که این توصیفگر می‌تواند بین ذرات گستته و همتافت تفاوت قائل شود. تحلیل واریانس داده‌های نسبت منظری نشان‌دهنده این است که توصیفگر می‌تواند بین نانومیله‌ها و نانومکعب‌ها تفاوت قائل شود. شکل ت-۳، نمودار دومتغیره یکپارچگی به صورت تابعی از نسبت منظری برای داده‌های شکل ت-۲ را نشان می‌دهد.



راهنمای:

- ۱ ذرات در تماس با یکدیگر
- ۲ نانومیله گسسته
- ۳ نانومکعب گسسته

شکل ت-۲- طراحی طرح کلی ImageJ نانوذرات طلا روی پایه TEM [44]



شکل ت-۳- نمودار دو متغیره یکپارچگی بر حسب نسبت منظری

نامولیلهای گستته و ناموکعبها، یکپارچگی‌های بزرگ‌تر از  $0.9^{\circ}$ ، یعنی بی‌نظمی‌های سطح کمی دارند. هرچند، نسبت‌های منظری آن‌ها به طور واضحی متفاوت هستند. نسبت‌های منظری ذرات غیرنامولیله، بازه‌ای از  $0.75^{\circ}$  تا  $0.95^{\circ}$  دارند، در حالی‌که نامولیله‌ها خودشان نسبت منظری کم‌تر از  $0.5^{\circ}$  دارند. ذرات همتافت در تماس با یکدیگر، نسبت منظری در بازه  $0.85^{\circ}$  تا  $0.90^{\circ}$  داشتند ولی یکپارچگی آن‌ها کم‌تر از  $0.90^{\circ}$  بود. ذرات همتافت به‌وسیله دسته‌بندی توصیفگر یکپارچگی از مجموعه داده‌ها حذف شدند و تنها ذرات گستته برای آنالیز نگهداشت شدند. ناموکعبها به‌وسیله دسته‌بندی مقادیر نسبت منظری و نگهداشت فقط داده‌های نامولیله از نامولیله‌ها جداسازی شدند. از آن‌جا که سطوح ناموکعب در سراسر مجموعه‌های داده از  $1\%$  تا  $4\%$  تغییر می‌کند، در این موارد توسعه آمارگان روی ریخت‌شناسی عملی نیست. ناموکعبهای بیشتری نیاز است تا عدم قطعیت‌های اندازه‌گیری معنادار برای این شکل‌ها، تصویر شود.

### ت-۳-۲- تفاوت قائل شدن بین نمونه‌های نامولیله

جدول ت-۱ مقایسه تحلیل واریانس داده‌های میان آزمایشگاهی برای چندین توصیفگر شکل کشامدی و اندازه را نشان می‌دهد. واضح است میانگین اندازه و شکل مشابه نیستند تا بتوان بین نمونه‌ها تفاوت قائل شد. هرچند، اگر تغییرپذیری توزیع‌ها درنظر گرفته شود، ممکن است تفاوت‌ها مشخص شوند. توزیع‌ها، تغییرپذیری متفاوتی دارند، همانگونه‌که نمایش داده شده است، با روش کولموگروف-سمیرونوف به‌وسیله

نمودارهای چندک‌ها یا عدم قطعیت‌های اندازه‌گیری، مقادیر میانگین کل، تغییرپذیری‌های نسبت منظری نمونه‌های ۱ و ۲ به ترتیب  $0,0649$  و  $0,0406$  هستند. عدم قطعیت‌های این مقادیر به ترتیب  $5,7\%$  و  $3,0\%$  هستند، پس حتی با در نظر گرفتن دو انحراف معیار بالا و پایین میانگین‌ها، تغییرپذیری‌های نسبت منظری از نظر آماری متفاوت از یکدیگر هستند.

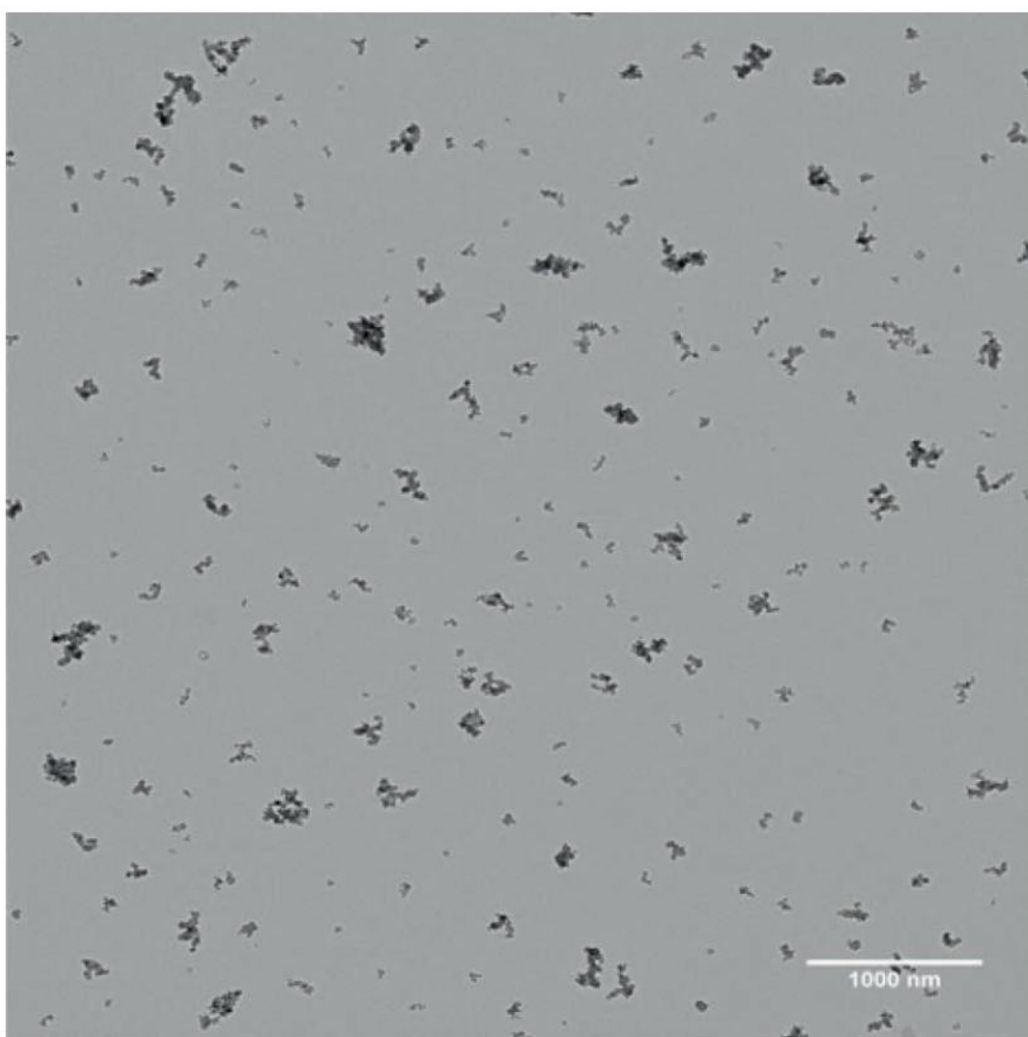
جدول ت-۱- مقادیر  $p$  مقایسه تحلیل واریانس توصیفگرها برای نمونه‌های ۱ و ۲ [44]

تغییرپذیری	مقادیر $p$	میانگین	توصیفگر
$<0,001$		۰,۷۸۶	فرت
$0,0188$		۰,۳۸۴	فرت کمینه
$<0,001$		۰,۰۹۶	نسبت منظری
$<0,001$		۰,۷۷۶	вшردگی

پیوست ث  
(آگاهی دهنده)  
انبوههای بی‌شکل

ث-۱ مرجع

کربن سیاه ماده صنعتی متشکل از انبوههای خوشهمانند (خوشه شبه-انگور ذرات انبوهیده) است. توزیع اندازه و ریختشناسی انبوه اغلب برای انتخاب کربن‌های سیاه برای کاربردهای ویژه به کار می‌رود. شرکت کابوت نمونه SRB8 (به شکل ث-۱ مراجعه شود) یک کربن سیاه مرجع ASTM ILC انبوههای کربن سیاه، تأمین کرد [45].



یادآوری- تأمین شده به وسیله شرکت کابوت.

شکل ث-۱- نمونه کربن سیاه خوشهمانند، SRB8

## ث-۱ پیشینه و اهداف طرح

همانگونه که در شکل ث-۱ نشان داده شده است، شکل‌های گوناگونی از انبوهه برای کربن سیاه وجود دارد که به صورت کره‌وار، بیضی‌وار، شاخه‌دار و خطی دسته‌بندی شده‌اند. استاندارد ASTM D3849-14a [24] دو توصیفگر انبوهه، محیط انبوهه و مساحت انبوهه را برای آنالیز آن استفاده می‌کند. این توصیفگرها مبنای اندازه‌گیری را برای شش پارامتر مشتق شده، ارائه می‌دهند:

- ۱- قطر انبوهه معادل سطح؛
- ۲- فاکتور انبوهه؛
- ۳- اندازه (گره) ذره میانگین برای انبوهه تک؛
- ۴- حجم انبوهه؛
- ۵- حجم ذره؛
- ۶- تعداد ذرات در انبوهه.

در آزمون‌های چرخشی رابین قبلى، مشخص شد که این پروتکل نتایج ناسازگار می‌دهد که ممکن است از توصیفگرها مرتبه با پارامتر انبوهه ناشی شده باشد. به دلیل طبیعت فرکتال انبوهه‌ها، اندازه‌گیری‌های محیط نسبت به مساحت‌های تصویرشده، به تفکیک‌پذیری تصویر بسیار حساس‌تر هستند. بنابراین برخی از سوالات کلیدی برای جامعه آماری کربن سیاه شامل موارد زیر است:

- ۱- تکرارپذیری‌ها / تجدیدپذیری‌های اندازه‌گیری‌های توصیفگر اندازه و شکل انبوهه چه هستند؟
- ۲- چگونه شکل‌های مختلف انبوهه روی توزیع‌های توصیفگر تأثیر می‌گذارد؟

## ث-۳ نکات برجسته

### ث-۳-۱ عدم قطعیت‌های اندازه‌گیری توصیفگرها از انبوهه کربن سیاه

عدم قطعیت‌های اندازه‌گیری برای پارامترهای میانگین و تغییرپذیری مدل‌های مرجع برآذش شده به داده‌های توزیع محاسبه شد. جدول ث-۱ برآوردهای عدم قطعیت اندازه‌گیری برای توصیفگرها شکل و اندازه رایج به اضافه توصیفگر مشتق شده به وسیله ASTM D3849-14a را ارائه می‌دهد (این توصیفگرها می‌توانند برای مقیاس‌دهی فرکتال مساحت-پایه تصویرشده استفاده شوند). مدل‌های توزیع لگاریتم نرمال، عدم قطعیت‌های اندازه‌گیری کمتری را برای توصیفگرها اندازه ارائه داد، درحالی که مدل‌های توزیع نرمال، عدم قطعیت‌های اندازه‌گیری کمتری برای توصیفگرها کشامدی و زبری شکل ارائه داد. میانگین‌های پارامتر اندازه (به جز محیط) عدم قطعیت‌های اندازه‌گیری ۵٪ یا کمتری ارائه می‌دهد. کمترین برآورد عدم قطعیت اندازه‌گیری را در میان میانگین اندازه، ECD دارد که تأیید می‌کند این توصیفگر انتخاب معمول برای توصیف اندازه انبوهه کربن سیاه است. میانگین‌های پارامتر کشامدی، عدم قطعیت‌های اندازه کمتر از ۴٪ دارند. پارامترهای میانگین یکپارچگی، عدم قطعیت‌های اندازه‌گیری کمتر از ۷٪ دارند. استاندارد ASTM D3849-14a که میانگین‌های توصیفگر از آن مشتق شده است، عدم قطعیت‌های اندازه‌گیری ۱۳٪

و بیشتر دارند؛ این توصیفگرها نمی‌توانند بنیان پایداری را برای همبستگی‌های توصیفگر، مانند آنالیز فرکتال ارائه دهند.

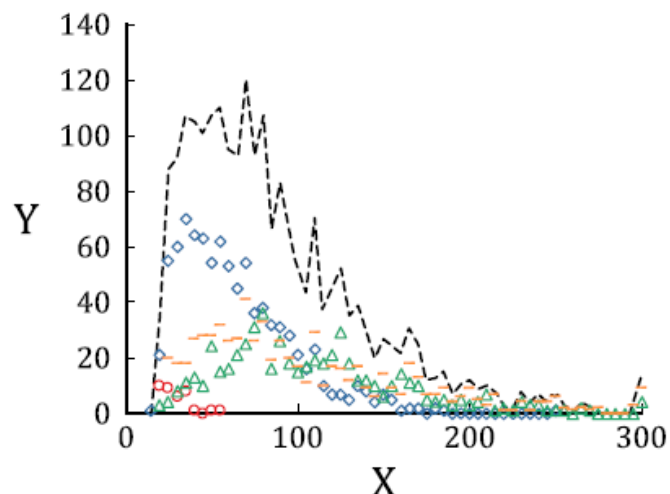
جدول ث-۱- میانگین‌های کل و تغییرپذیری‌های کل برای توصیفگرهای انبوهه کربن سیاه [45]

$U_{ILC}$ تغییرپذیری	$U_{ILC}$ میانگین	تغییرپذیری مدل	میانگین مدل	مدل مرجع	توصیفگر
					اندازه
۸,۷۷ %	۴,۴۶ %	۱,۰۴	۷,۷۵ (۲۳۱۰)	LN	$nm^2$ بر حسب
۲۸,۷ %	۹,۰۹ %	۰,۶۹۶	۵,۵۲ (۲۴۹)	LN	nm
۶,۴۹ %	۳,۳۵ %	۰,۵۸۶	۴,۳۹ (۸۰,۹)	LN	فِرٰت بر حسب
۶,۱۸ %	۴,۴۱ %	۰,۵۷۰	۳,۹۴ (۵۱,۵)	LN	nm کمینه بر حسب
۸,۷۹ %	۱,۶۰ %	۰,۵۵۲	۳,۹۷ (۵۲,۹)	LN	nm بر حسب ECD
					کشامدی
۷,۱۴ %	۲,۶۴ %	۰,۱۳۳	۰,۶۴۲	N	نسبت منظری
۱۴,۷ %	۳,۲۴ %	۰,۱۰۰۹۸	۰,۶۷۳	N	فسردگی
					زبری
۱۷,۱ %	۲۲,۹ %	۰,۲۱۲	۰,۴۸۵	N	دایره‌ای بودن
۱۷,۸ %	۶,۳۷ %	۰,۱۱۲	۰,۷۶۶	N	یکپارچگی
					ASTM D3849-14a
۲۷,۳ %	۱۲,۹ %	۰,۴۶۵	۲,۸۹ (۱۸,۱)	LN	$nm$ بر حسب $d_p$
۲۷,۳ %	۱۴,۰ %	۱,۳۷	۸,۰۳ (۳۰,۷۷)	LN	$nm^3$ بر حسب $v_p$
۹,۳۰ %	۳۰,۵ %	۱,۷۰	۲,۸۷ (۱۷,۶)	LN	N
راهنمای:					
= LN = مدل توزیع لگاریتم نرمال (مقدار داخل برآکت‌ها تابع نمایی مقدار میانگین است)					
= N = مدل توزیع نرمال					
= $d_p$ = اندازه ذره میانگین برای یک انبوهه تک					
= $v_p$ = حجم ذره					
= N = تعداد ذرات (گره‌ها) در انبوهه					

### ث-۳- ۲- بازهم‌گذاری<sup>۱</sup> توزیع‌های توصیفگر با استفاده از ۴ جامعه آماری انبوهه‌شکل

در هم‌پیچیدگی مجموعه‌های داده انبوهه می‌تواند با استفاده از گردش‌کار تعریف شده [45] [51] به وسیله شکل باز شود. یکبار دیگر همه داده‌ها به صورت کره‌وار، بیضی‌وار، شاخه‌دار و خطی دسته‌بندی شده‌اند. توزیع‌های توصیفگر می‌توانند از مشارکت اجزاء شکل انبوهه گوناگون بازسازی شوند. شکل‌های ث-۲ و ث-۳ بازسازی توزیع‌های قطر فِرٰت و نسبت منظری از جوامع آماری شکل انبوهه را نشان می‌دهند. پیک‌های اصلی توزیع قطر فِرٰت به انبوهه‌های بیضی‌وار آن مرتبط است. توزیع نسبت منظری چند شیوه‌ای است. انبوهه‌های خطی بیشترین سهم را در مقادیر پایین نسبت‌های منظری انبوهه دارند در حالی که انبوهه‌های

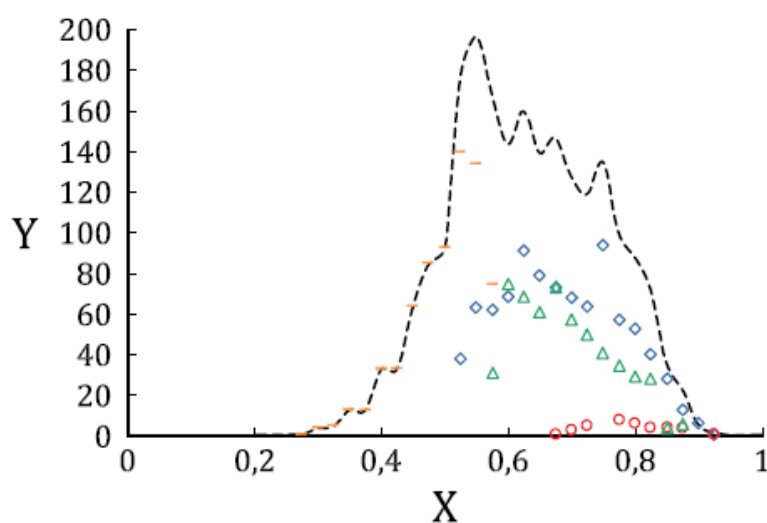
بیضیوار بیشترین سهم را در نسبت‌های منظری بالاتر دارند. بازکردن درهم‌پیچیدگی توزیع‌ها به‌وسیله شکل می‌تواند اطلاعات ارزشمندی در مورد مطالعه موردنی کربن سیاه ویژه ارائه دهد.



راهنمای:

- |   |                   |
|---|-------------------|
| ○ | انبوههای کروهار   |
| ◊ | انبوههای بیضیوار  |
| ▲ | انبوههای شاخه‌دار |
| — | انبوههای خطی      |

شکل ث-۲- سهم دسته‌های انبوهه در توزیع فِرٰت



راهنمای:

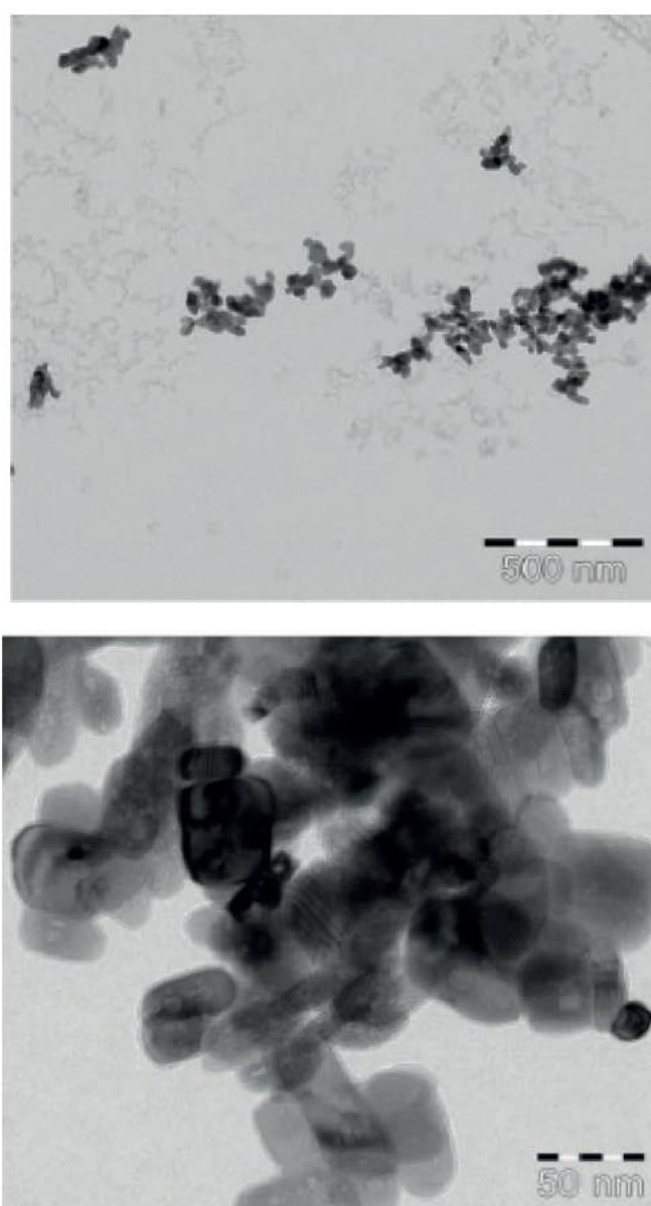
- |   |                   |
|---|-------------------|
| ○ | انبوههای کروهار   |
| ◊ | انبوههای بیضیوار  |
| ▲ | انبوههای شاخه‌دار |
| — | انبوههای خطی      |

شکل ث-۲- سهم انبوههای کروهار، بیضیوار، شاخه‌دار و خطی در توزیع نسبت منظری

پیوست ج  
(آگاهی دهنده)  
انبوههای نانوبلورین

ج-۱ مرجع

یک نمونه تجاری پودر تیتانیا (MT-500BW، روتایل) به وسیله شرکت تایکا<sup>۱</sup> تأمین شد. شکل ج-۱، یک نمونه از انبوههای و یک تصویر نزدیک‌تر از بلورک‌های اولیه انبوهیده را نشان می‌دهد.



شکل ج-۱- پراکنه آبی تیتانیا خشک شده روی پایه TEM

## ج-۲ پیشینه و اهداف طرح

تعدادی از کاربردهای تیتانیا که به تازگی پیشنهاد شده است مرتبط با اندازه‌های بلورک‌های اولیه در انبوه‌ها هستند. در این مورد طرح کلی دستی نانوبلورک‌ها برای تعیین توزیع اندازه آن‌ها استفاده می‌شود. در حالی که اصطلاح «ذره اولیه» [54] برای توصیف اجزای منفردی که در انبوه‌های تیتانیا با یکدیگر ادغام شده‌اند، استفاده شده است. «بلورک اولیه» اصطلاح دقیق‌تری است، زیرا مرزهای دانه بین این شاخصه‌ها وجود دارد [55]. جزئیات طرح کلی دستی در جایی دیگر ارائه می‌شود [53].

## ج-۳ نکات بر جسته

**ج-۳-۱ تاثیرات فاکتورهای پروتکل بر کیفیت داده‌های بلورک**

هفت فاکتور پروتکل برای تعیین تاثیرات آن‌ها روی کیفیت داده‌ها ارزشیابی می‌شوند که عبارتند از: آزمایشگاه، نوع دستگاه، تعداد ذرات گزارش‌شده، تعداد قاب‌های گزارش‌شده، روش کالیبراسیون، تفکیک‌پذیری (پیکسل بر نانومتر) و نرم‌افزار آنالیز تصویر. برای توصیفگرهای اندازه ECD و قطر فریت، تحلیل واریانس روش کالیبراسیون مقدار  $p$  بزرگ‌تر از  $0.05$  را به دست می‌دهد. این موضوع نشان می‌دهد که روش کالیبراسیون روی کیفیت داده‌ها در سراسر ILC برای این توصیفگر تأثیر نمی‌گذارد. به صورت مشابه، نرم‌افزار مورداستفاده برای تصویربرداری روی متغیرهای فریت، فریت کمینه، ECD و نسبت منظری ( $p < 0.05$ ) تأثیری ندارد. برای همه توصیفگرهای اندازه، مقادیر TEM بزرگ‌تر از مقادیر STEM بود (تفاوت‌ها در بازه از ۴٪ تا ۷٪ بود). فاکتورهای باقی‌مانده به آزمایشگاه‌ها بستگی داشتند و نمی‌توان بین تاثیرات مجزای آن‌ها تفاوت قائل شد.

**ج-۳-۲ مدل کردن توصیفگرهای اندازه بلورک اولیه با استفاده از توزیع‌های لگاریتم نرمال به بهترین**

**وجه**

### ج-۳-۳ کلیات

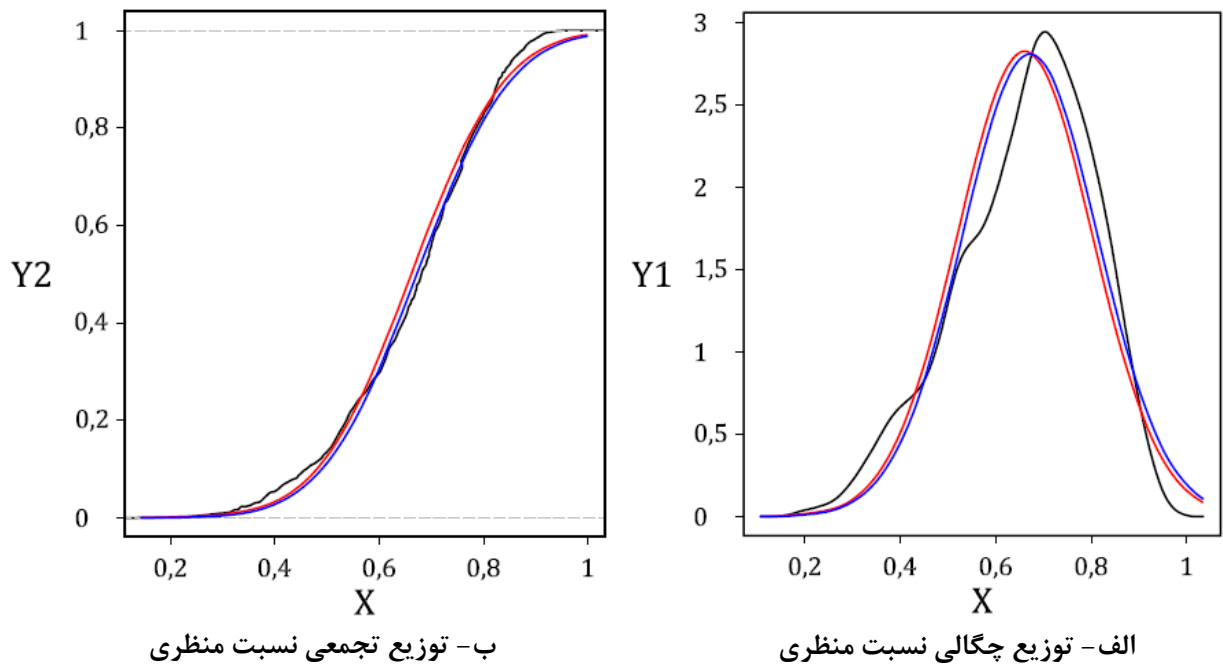
توصیفگرهای اندازه نانوبلورک‌های تیتانیا با استفاده از توزیع‌های لگاریتم نرمال نسبت به توزیع‌های نرمال به بهترین وجه مدل می‌شوند. جدول ج-۱ مقادیر میانگین و تغییرپذیری را برای هر توزیع به کار برده شده روی داده‌های ECD نشان می‌دهد. پارامترهای میانگین و تغییرپذیری برآششده برای توزیع نرمال، عدم قطعیت اندازه‌گیری به ترتیب ۲۳٪ و ۳۱٪ دارند. هرچند، پارامترهای تغییرپذیری و میانگین برآششده برای توزیع لگاریتم نرمال به ترتیب عدم قطعیت‌های ۹.۵٪ و ۲۲٪ دارند. مدل مرجع لگاریتم نرمال ارجحیت خواهد داشت، زیرا آن کمتر از نصف  $U_{ILC}$  مدل نرمال است.

## جدول ج-۱- عدم قطعیت‌های اندازه‌گیری پارامترهای برازش شده ECD، توزیع‌های نرمال و لگاریتم نرمال

ln(ECD) بر حسب nm		ECD (نرمال) nm		توصیفگر
تغییرپذیری میانگین	تغییرپذیری میانگین	تغییرپذیری میانگین	تغییرپذیری میانگین	
۰,۳۱۸	۳,۵۸	۱۲,۹	۳۹,۸	متوسط کل
۰,۰۳۳	۰,۱۶۱	۱,۸۸	۴,۱۲	انحراف معیار کل، ILC
۱۰,۵	۴,۴۹	۱۴,۶	۱۰,۳	% بر حسب $C_v$
۲۲	۹,۵	۳۱	۲۲	% بر حسب $U_{ILC}$

## ج-۲-۳- تکمیل مقادیر عدم قطعیت اندازه‌گیری به وسیله دیداری‌سازی‌های داده‌ها

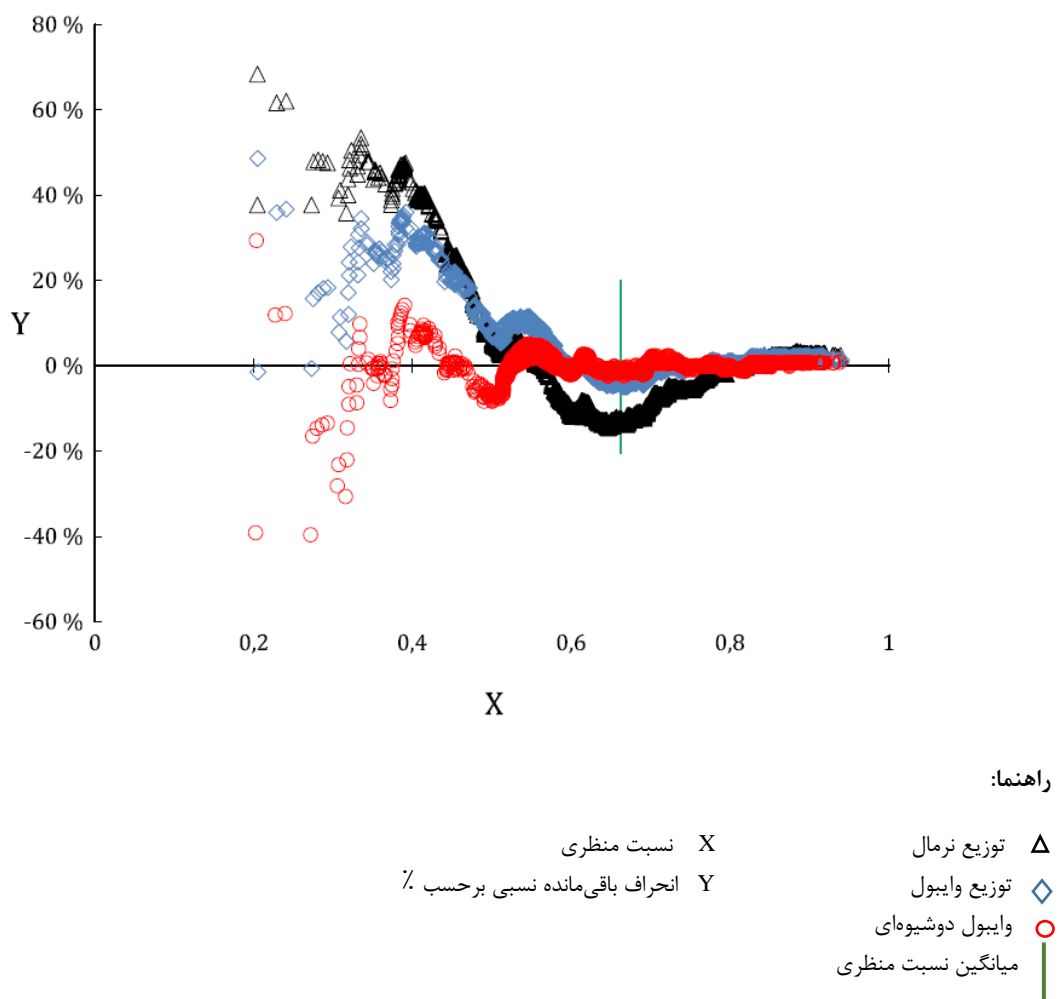
توزیع نرمال یا توزیع وایبول می‌تواند برای برازش داده‌های نسبت منظری استفاده شود. شکل ج-۲ نشان می‌دهد که توزیع نسبت منظری برای داده‌های آزمایشگاه یک توزیع چندشیوه‌ای است.



$X_1$ نسبت منظری $Y_1$ بافت‌نگاشت هموارتر $Y_2$ توزیع تجمعی	توزیع چگالی هموار داده‌ها برازش رگرسیون غیرخطی برازش احتمال بیشینه
---	--

شکل ج-۲- توزیع‌های تجمعی و چگالی نسبت منظری (آزمایشگاه یک)

مدل دوشیوه‌ای می‌تواند به این داده‌ها برازش شود: این برازش نیاز به پنج پارامتر برازش شده دارد. شکل ج-۳، نمودارهای انحراف باقی‌مانده برای برازش نرمال تکشیوه‌ای، برازش وایبول تکشیوه‌ای و برازش وایبول دوشیوه‌ای به داده‌های نسبت منظری را نشان می‌دهد. برای داده‌های این آزمایشگاه، نمودار انحراف باقی‌مانده نشان‌دهنده این است که توزیع وایبول نسبت به توزیع نرمال مرجح است و آن‌که توزیع وایبول دوشیوه‌ای به داده‌های بازه بسیار بزرگ‌تری از نسبت‌های منظری برازش می‌شود. مقدار میانگین نسبت منظری به صورت خط عمودی قرمز نشان داده شده است. مدل‌های وایبول تکشیوه‌ای و دوشیوه‌ای در نزدیکی مقدار میانگین داده‌ها به داده‌ها نزدیک‌تر هستند و برازش وایبول دوشیوه‌ای در بازه وسیع‌تری نسبت به هر دو مدل دیگر به داده‌ها نزدیک‌تر است.



شکل ج-۳ - برازش‌های نرمال، وایبول و وایبول دوشیوه‌ای به توزیع نسبت منظری (آزمایشگاه یک)

پیوست چ  
(آگاهی دهنده)  
نانوالیاف با سطوح مقطع نامنظم

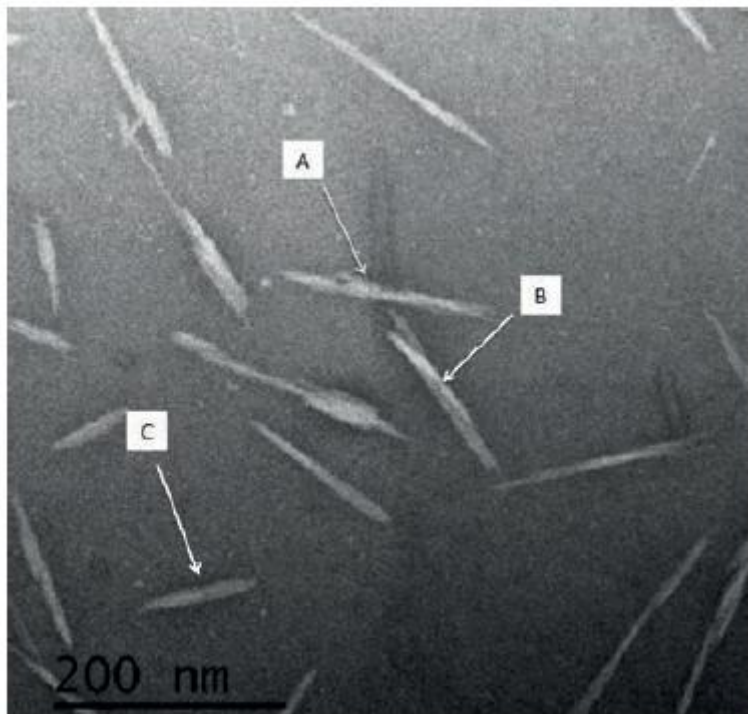
چ-۱ مرجع

نمونه‌های ارزشیابی شده برای این پیوست، نانوبلورهای سلولزی (CNCs)<sup>۱</sup> توسط شورای تحقیقات ملی کانادا (NRC) فراهم شده و برپایه یک ماده مرجع گواهی شده است [46]. همه روش‌های اجرایی درون سازمان توسعه یافته و آزموده شد [56] و تعدادی نمونه تجاری از این مواد در دسترس است [57].

چ-۲ پیشینه و اهداف طرح

این ماده تجاری (تهیه شده توسط شرکت سلوفورس، ویندسور کیوسی<sup>۲</sup>) به وسیله آب کافت<sup>۳</sup> اسید‌سولفوریک خمیر کاغذ سوزنی برگان<sup>۴</sup> و خالص‌سازی با خنثی‌سازی (خنثاشن)، تبادل سدیم، خالص‌سازی و خشکانش افشارهای<sup>۵</sup> تولید شد. گروه‌های سطحی باردار منفی روی سطح باقی می‌مانند، ولی آن‌ها می‌توانند به پایدارسازی تعلیقه‌های کلوئیدی آبی کمک کنند. گزارش شده است که نانوبلورهای سلولزی سولفاته نسبت‌های میانگین طول/پهنا ۱۱ به ۱۲ دارند [58] که متناظر با نسبت منظری ۰,۰۸۳ به ۰,۰۹۱ است. از آنجایی که نواحی سلولزی بی‌شکل حین فرایند آب کافت اسیدی تخریب می‌شوند [59]، نانوالیاف می‌توانند با سفتی<sup>۶</sup> بلوری [60] و مدول محوری بالا<sup>۷</sup> به خوبی بلورین شوند. همانگونه که در شکل چ-۱ نشان داده شده است، نانوبلورهای سلولزی این نمونه اغلب دو بعد در نانومقیاس دارند (پهناها در بازه ۱ nm تا ۱۰۰ nm) و طول‌های ۱۰۰ و بلندتر که تعریف نانوالیاف را برآورده می‌کند (به زیربند ۳-۶-۹ مراجعه شود). برخلاف نانومیله‌های طلا (به پیوست ت مراجعه شود) که پهناهای یکنواخت، عمود بر محور طول خود دارند، نانوبلورهای سلولزی پهناهای نامنظمی در امتداد محور طول خود دارند.

1- Cellulose NanoCrystals  
2- CelluForce Inc. Windsor QC  
3- Hydrolysis  
4- Softwood pulp  
5- Spray drying  
6- Stiffness  
7- High axial moduli



راهنما:

- شیء A انبوهه یا کلوخه نانوبلور سلولزی محتمل  
شیء B کلوخه دو نانولیف گسسته  
شیء C نانولیف نانوبلور سلولزی گسسته

شکل چ-۱- الیاف نانوبلوری سلولزی

کاربردهای نانوبلورهای سلولزی به توزیع‌های اندازه و شکل، ریخت‌شناسی استوانه‌ای، صلبیت<sup>۱</sup> و گروه‌های سطحی [۵۹] مرتبط هستند. الیاف ناپیوسته مانند نانوبلورهای سلولزی، کاربردهایی در نانوچندسازه‌ها و پراکنده‌های کنترل‌کننده گرانزوی<sup>۲</sup> خواهند داشت؛ هر دوی این کاربردها تحت تأثیر طول و نسبت منظری لیف قرار خواهند گرفت. بنابراین توصیف‌گرهای اندازه مطلوب، طول (فرت) و پهنا (فرت کمینه) به علاوه نسبت منظری هستند. مساحت و محیط نیز می‌توانند مفید باشند ولی در این پیوست در نظر گرفته نشده‌اند. اندازه‌گیری‌های بی‌نظمی سطح در نظر گرفته نشده‌اند، زیرا این اندازه‌گیری‌ها می‌توانند بسته به این که ردیابی تصویر چگونه انجام می‌شود، بین کاروران به‌طور وسیعی تغییر کند.

کلوخگی، تباين نانولیف/پس‌زمینه و تفاوت‌های مقیاس بین طول و پهنا، چالش‌های خودکارسازی را نشان می‌دهند. نانوبلورهای سلولزی در پراکنده‌های آبی تمایل به کلوخه‌ای شدن و ایجاد همتافته‌های ذره در تماس با یکدیگر دارند که جداسازی آن‌ها به لیفچه‌های مجزا از طریق روش‌های خودکار، دشوار است. همانگونه که در شکل چ-۱ نشان داده شده‌است، لیف A دو شاخه به‌نظر می‌رسد، لیف B کلوخه‌ای از دو لیف به‌نظر می‌رسد و لیف C لیف گسسته است که ممکن است یک لیفچه اولیه باشد [۵۸]. نمونه‌هایی روی توری با

1- Rigidity  
2- Viscosity

یک محلول استات اورانیل<sup>۱</sup>٪ ۲ رنگانه‌زنی شده تا تباین بین نانوالیاف و پس‌زمینه را بهبود دهد. هرچند، تباین‌ها بین نanolif و پس‌زمینه هنوز کم است، پس مهم است که روش‌های طرح کلی بهصورت دستی درنظر گرفته شود. این تصاویر با استفاده از چهار روش آنالیز شده‌اند:

- ۱- ماکرو ImageJ رایج (موسسه‌های ملی بهداشت):
- ۲- ردیابی دستی تصویر با استفاده از ابزار چندضلعی ImageJ:
- ۳- ردیابی دستی با استفاده از ابزار شکل رایگان J ImageJ:
- ۴- ردیابی دستی با پهناهای سطح مقطعی.

با ماکرو ImageJ رایج (روش ۱) طول در یک خط مستقیم بین دورترین نقاط اندازه‌گیری شد و پهنا بهطور نمونه در نقطه وسط این طول اندازه‌گیری شد. هنگامی که لیف بهوضوح نامتقارن است، پهنای آن در پهن‌ترین نقطه اندازه‌گیری شد [۵۶]. ابزار چندضلعی (روش ۲) پس از دوتایی کردن تصویر استفاده شد، درحالی که ابزار ردیابی شکل رایگان (روش ۳) می‌تواند روی تصویر به محض دریافت استفاده شود. با روش ۴، یک محور طول تعیین و اندازه‌گیری می‌شود و یک مجموعه پهنا سطوح مقطع انتخاب شده و پهناهای متغیر در امتداد محور طول را نمایش می‌دهد.

چون نسبت‌های منظری از مرتبه ۰/۱۰ هستند، بهمنظور بهبود اندازه‌گیری پهنا، هر روش به تصویر بزرگنمایی شده به عامل ۴ نیاز دارد. هدف اصلی این مطالعه درنظر گرفتن موضوع کیفیت داده‌ها با اندازه‌گیری طول و پهنا روی جامدات با نسبت منظری کم است. بنابراین فقط الیافی که بهوضوح بهصورت گسسته شناسایی می‌شوند، همچون نanolif C در شکل چ-۱، آنالیز می‌شوند.

### چ-۳ نکات بر جسته

#### چ-۳-۱ کلیات

کاربردهای جاری و آتی نانوبولرهای سلولزی (CNCs) برپایه توزیع‌های اندازه، شکل کشامدی و شکل زبری خواهد بود. روش اول آنالیز به دو مورد اول اشاره دارد ولی به بی‌نظمی سطحی اشاره نمی‌کند. روش دوم و سوم آنالیز نیاز به ردیابی دستی دارد که در آن تفاوت کاروران می‌تواند منجر به تجدیدپذیری ضعیفی شود. داده‌های آنالیز از دو آزمایشگاه با توجه به تکرارپذیری و تجدیدپذیری ارزشیابی شد. از این دو توصیفگر اندازه، قطر فریت بهترین تکرارپذیری را داشت. توزیع‌های فریت کمینه و نسبت منظری تجدیدپذیری کمتری داشت. این ممکن است مزیت ریخت‌شناسی استوانه‌ای این ماده گواهی شده مرجع را برای بهبود عدم قطعیت‌های اندازه‌گیری، از بین ببرد.

#### چ-۳-۲ کیفیت داده‌ها

تکرارپذیری توصیفگر بهوسیله مقایسه مقادیر توصیفگر میانگین هر تصویر با میانگین کل برای همه تصاویر ارزشیابی شد. آزمایشگاه ۱ روش ۱ را با دو کاروَر مختلف روی همه تصاویر (کاروَر ۱) و یک زیرمجموعه از

1-  $\text{U}_2\text{O}(\text{CH}_3\text{COO})_2$

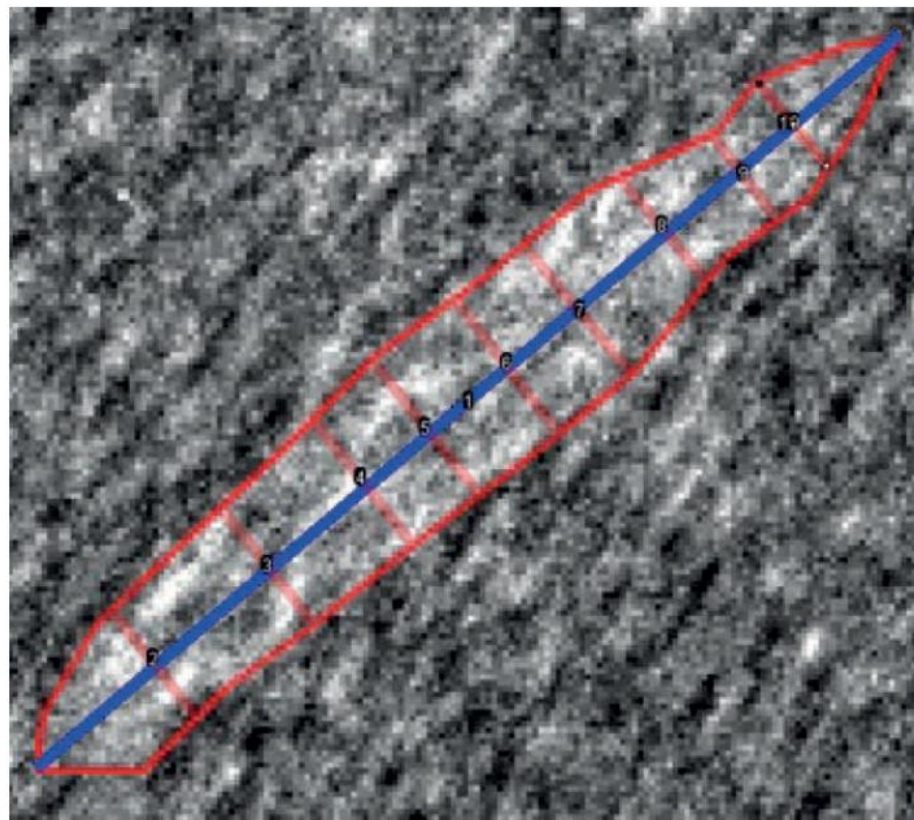
همه تصاویر (کاروَر ۲) استفاده کرد. آزمایشگاه ۲، یک کاروَر با استفاده از روش‌های ۲ و ۳ روی یک زیرمجموعه از تصاویر را استفاده کرد. نتایج در جدول چ-۱، ارائه شده‌است. ستون دوم جدول چ-۱، تعداد تصاویر آنالیزشده و تعداد کل نانوالیاف گزارش شده را نشان می‌دهد. ستون‌های ۳ تا ۵، مقادیر p تحلیل واریانس برای مجموعه داده و تعدادی از تصاویر با میانگین‌های متفاوت از میانگین کل را نشان می‌دهند. همه مجموعه داده‌ها تکرارپذیری خوبی ( $p < 0.05$ ) از توصیفگر قطر فِرت نشان دادند.

#### جدول چ-۱- تکرارپذیری توصیفگر

مقادیر p تحلیل واریانس، تصاویر با میانگین متفاوت از میانگین کل		تصاویر آنالیزشده؛ نانوالیاف گزارش شده	مجموعه داده
فرِت کمینه	فرِت		
$5e^{-8}$ ؛ ۱۶	۰,۵۰۱؛ ۲	۱۱۲؛ ۵۹۷	آزمایشگاه ۱، کاروَر ۱، روش (L1O1) ۱
۰,۰۰۲؛ ۳	۰,۳۰۷؛ ۲	۴۰؛ ۱۰۶	آزمایشگاه ۱، کاروَر ۲، روش (L1O2) ۱
$3e^{-5}$ ؛ ۱۶	۰,۲۴۸؛ ۳	۴۰؛ ۱۰۲	آزمایشگاه ۲، روش ۲ (L2M2)
۰,۰۱۰؛ ۳	۰,۶۲۴؛ ۲	۴۰؛ ۲۳۲	آزمایشگاه ۲، روش ۳ (L2M3)

یادآوری- مقادیر p تحلیل واریانس  $< 0.05$  به صورت پررنگ هستند.

توجه کنید مجموعه‌های داده، توصیفگر فِرت کمینه با تکرارپذیری بالا داشت. از آنجاکه نسبت منظری با استفاده از بُعد فِرت کمینه برای پهنا حساب می‌شود، برآوردهای تکرارپذیری نسبت منظری نیز کم بود. طول و نسبت منظری به‌طور معمول برای کاربردهای نانوچندسازه و پراکنه مفید است، بنابراین، توسعه یک روش بهبودیافته برای برآورد پهناهای نانوبلور سلولزی مهم است. یک روش برای این کار در شکل چ-۲ شرح داده شده‌است. در این روش نانوبلور سلولزی نامتقارن ردیابی می‌شود، طول اندازه‌گیری شده و یک مجموعه از پهناهای سطح مقطع «میله‌ها» رسم و اندازه‌گیری می‌شود تا پهناهی میانگین برآورد شود. پهناهی میانگین، برپایه اندازه‌گیری‌های عمود بر محور طول، یک برآورد خوب برای نسبت منظری ارائه می‌دهد. جدول چ-۲، برآورد پهناهی میانگین نانوبلور سلولزی بر پایه اندازه‌گیری‌های سطح مقطعی را نشان می‌دهد. اندازه‌گیری طول برای این ذره نانوبلور سلولزی  $60,3 \text{ nm}$  است در حالی‌که قطر فِرت گزارش شده  $9,4 \text{ nm}$  است. نسبت منظری محاسبه شده با استفاده از طول و مقدار فِرت کمینه حدود ۲۸٪ بزرگ‌تر از پهناهی سطح مقطع میانگین است.



راهنمای:

ردیابی چندضلعی	طرح کلی قرمز
اندازه‌گیری طول	خط آبی
اندازه‌گیری پهنا چندتایی	خطوط سطح مقطع قرمز

شکل چ-۲- نانوبلوور سلولزی با ردیابی چندضلعی، اندازه‌گیری طول و اندازه‌گیری‌های چندتایی پهنا

جدول چ-۲- پهناهای متوسط نانوبلوور سلولزی بر پایه اندازه‌گیری‌های سطح مقطع

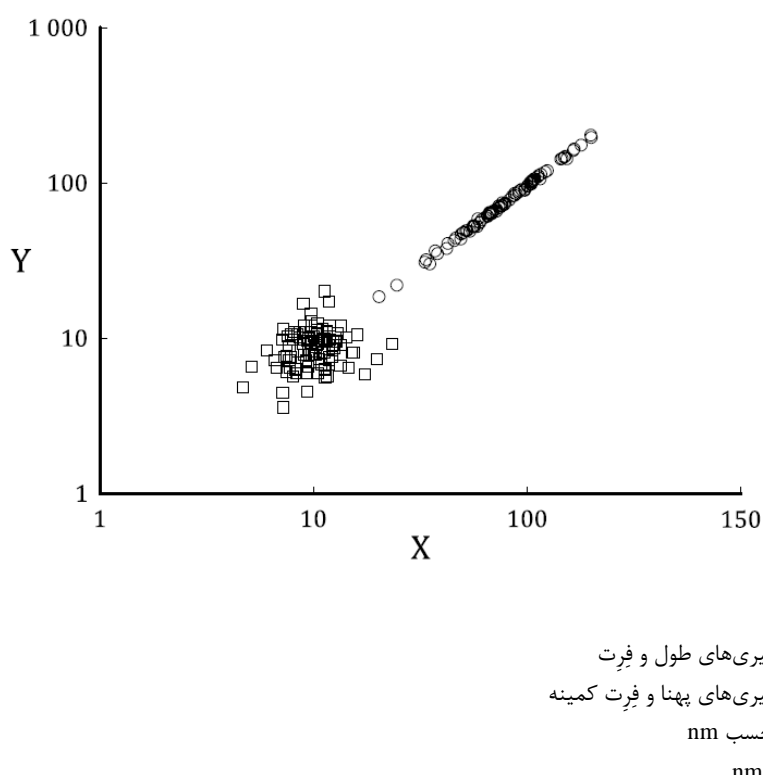
پهنا nm	تعداد سطح مقطع
۶,۹	۱
۷,۴	۲
۸,۲	۳
۸,۶	۴
۸,۶	۵
۸,۷	۶
۶,۹	۷
۵,۲	۸
۵,۷	۹
۷,۴	پهناهای متوسط

### چ-۳-۳ مقایسه‌های توصیفگرهای اندازه برای ردیابی چندضلعی و آنالیز سطح مقطع

بردار فریت کمینه شناسایی شده به وسیله ImageJ ضرورتاً عمود بر محور طول نبوده و برآورد خوبی برای پهنا رائی نمی‌دهد. شکل چ-۳، داده‌های توصیفگر اندازه گرفته شده با روش‌های ردیابی چندضلعی و اندازه‌گیری سطح مقطعی برای ۱۰۰ لیف نانوبلور سلولزی را مقایسه می‌کند. همانگونه که در فرمول (چ-۱) نشان داده شده است، قطرهای فریت،  $F$ ، همبستگی بسیاری با اندازه‌گیری‌های طول،  $L$ ، دارند.

$$L = 0.95 F \quad (چ-۱)$$

مقدار  $R^2$  آن برابر ۰/۹۹۷ است. هرچند، پهناهای سطح مقطعی با اندازه‌گیری فریت کمینه همبستگی ندارند.



شکل چ-۳- مقایسه توصیفگرهای طول و پهنا

یک نanolif می‌تواند به صورت یک مستطیل مدل شود. مساحت دو بعدی آن،  $A$ ، همانگونه که در فرمول (چ-۲) نشان داده شده است، به دست می‌آید:

$$A = L \cdot W \quad (چ-۲)$$

که در آن:  
 $L$  طول نanolif است؛  
 $W$  پهناهای سطح مقطعی متوسط است.

محیط آن،  $p$ ، همانگونه است که در فرمول (ج-۳) نشان داده شده است.

$$p=2.(L+W) \quad (\text{ج-}3)$$

اگر مقادیر مساحت و محیط یک نanolif ویژه معلوم باشد، مقادیر طول و پهنا می‌توانند با حل معادلات درجه دوم برای  $L$  و  $W$  برآورد شوند. مقادیر طول و پهنا در فرمول‌های (ج-۴) و (ج-۵) نشان داده شده است:

$$L = \frac{\frac{p}{2} + 2\sqrt{\left(\frac{p}{2}\right)^2 - 4 \cdot A}}{2A} \quad (\text{ج-}4)$$

$$W = \frac{\frac{p}{2} - 2\sqrt{\left(\frac{p}{2}\right)^2 - 4 \cdot A}}{2A} \quad (\text{ج-}5)$$

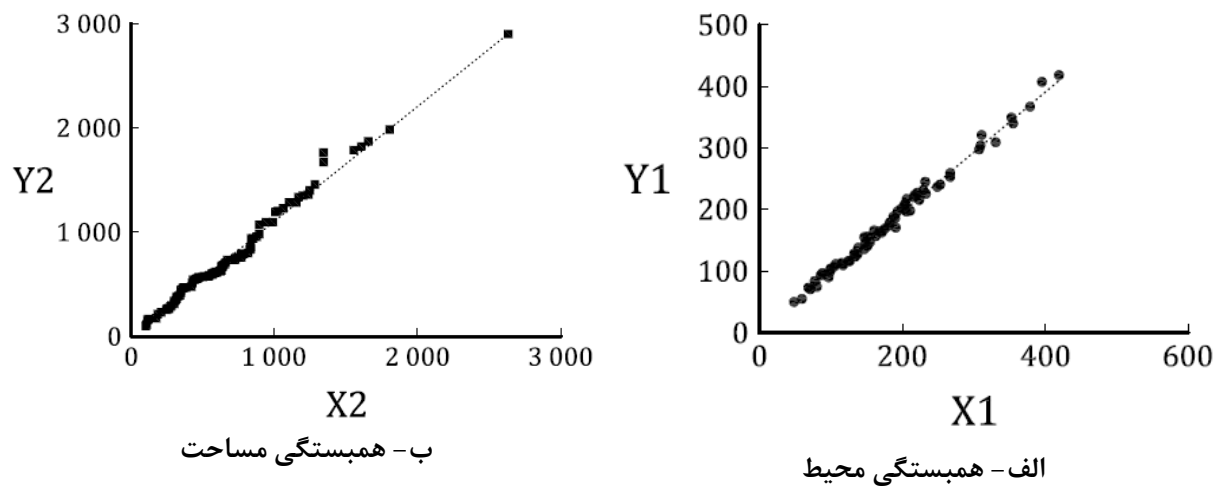
این فرمول‌ها روی یک مجموعه داده از ۱۰۰ نanolif که بهوسیله روش‌های ردیابی چندضلعی و مساحت سطح مقطعی اندازه‌گیری شدند، به کار برده شده‌اند. شکل ج-۴، محیط اندازه‌گیری بهوسیله ردیابی چندضلعی و محیط برآورده شده با استفاده از فرمول (ج-۳) و داده‌های طول/پهنا از روش مساحت سطح مقطعی را مقایسه می‌کند. هر دو مقدار محیط و مساحت به صورت خطی بین روش ردیابی چندضلعی و برآوردها از روش مساحت سطح مقطعی، همبستگی خطی دارند. همبستگی محیط به صورت زیر برآورده می‌شود:

$$\text{محیط چندضلعی} \times 0,987 = \text{محیط برآورده با مقدار } R^2 \text{ برابر } 0,992$$

همبستگی مساحت به صورت زیر برآورده می‌شود:

$$\text{محیط چندضلعی} \times 1,10 = \text{مساحت برآورده با مقدار } R^2 \text{ برابر } 0,986$$

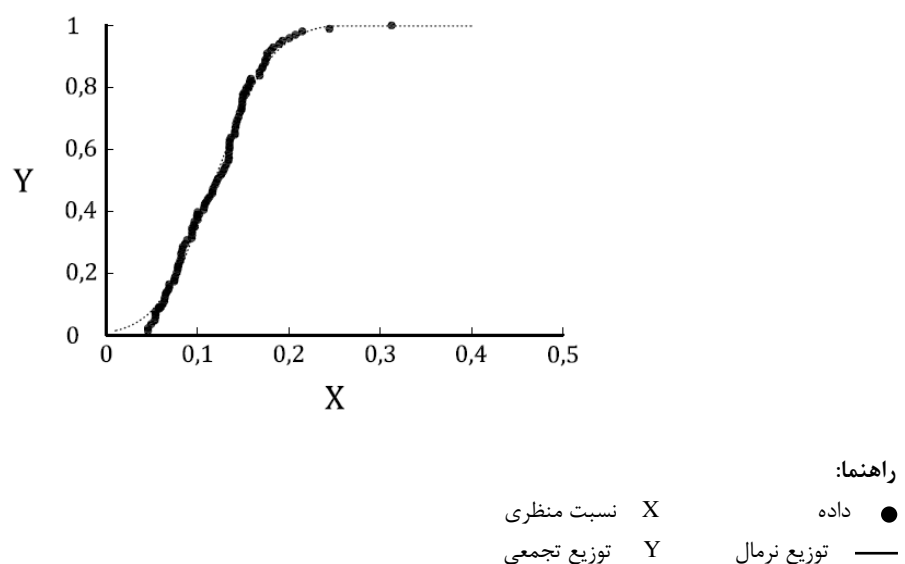
توزیع نسبت منظری نمونه نانوبلور سلولزی در شکل ج-۵ نشان داده شده است و بهوسیله توزیع نرمال به خوبی تعریف شده است.



راهنما:

محیط نقاط منفرد	●	X1	محیط بر حسب nm
مساحت نقاط منفرد	■	Y1	محیط برآورده بر حسب nm
همبستگی	—	X2	مساحت چندضلعی بر حسب $\text{nm}^2$
		Y2	مساحت برآورده بر حسب $\text{nm}^2$

شکل چ-۴- همبستگی محیط رديابی چندضلعی اندازه‌گيري شده و محیط پهنهای سطح مقطعی برآورده



شکل چ-۵- داده‌های نسبت منظری و توزیع نرمال

پیوست خ  
(آگاهی دهنده)  
نانوذرات با نمودهای ویژه بلور

خ-۱ هدف

نانومواد بلورین ممکن است ریختشناسی‌های سه بعدی یا نمودهای ویژه بلور داشته باشند. به تازگی نشان داده شده است هنگامی که شکل نانوذرات غیرکرهوار باشند، کار آنالیزی اندازه‌گیری توزیع‌های اندازه و شکل چالش برانگیزتر است [53] [61].

این مواد می‌توانند به عنوان نمونه‌های مرجع گواهی شده برای اندازه و شکل در نظر گرفته شوند. این پیوست مثال‌هایی از داده‌های اندازه و شکل میکروسکوپی الکترونی حاصل از چنین مواردی را ارائه می‌دهد.

خ-۲ پیشینه و اهداف طرح

تیتانیا دوهمرمی دارای گوشه‌های مسطح برای این مطالعه انتخاب شد. نمونه به وسیله سنتز هیدروترمال<sup>۱</sup> در مقیاس آزمایشگاهی و آناتاز خالص بدون هرگونه پوشش اضافی تولید شد [47]. شکل خ-۱ تصویر TEM نانوذرات آماده شده روی توری TEM می‌پوشش داده شده با کربن، بعد از پراکنش ۲ mg پودر TiO<sub>2</sub> در ۲۰ ml از HClO<sub>4</sub> و ۵ دقیقه عمل آوری فراصوت است. ۲ μl تعلیقه مایع روی توری TEM چکانده شد و پس از یک دقیقه مایع اضافه با یک دستمال حذف شد. آن‌چه به شکل افزوده شده<sup>۲</sup>، نمودهای ویژه بلور تیتانیا دوهمرمی دارای گوشه‌های مسطح را نشان می‌دهد. آزمایشگاهها حداقل ۵۰۰ ذره با مقدار دایره‌ای بودن کمتر از ۷۰ را گزارش دادند. این محدودیت با آزمودن سناریوهای گوناگون مربوط به این فرض پایه تعیین شد که تیتانیای دوهمرمی چیده شده روی پایه پوشبرگ<sup>۳</sup>، بهوضوح از دایره‌های کامل انحراف دارد که دایره‌ای بودن آن برابر یک است.

در این پیوست، داده‌ها از یک ILC سازماندهی شده به وسیله موسسه فدرال مواد و آزمون (BAM)<sup>۴</sup> تحت سنجه VAMAS [41] گزارش می‌شود. موسسه فدرال مواد و آزمون برای هر آزمایشگاه دو توری TEM (آماده شده از دسته تولید یکسان) و پروتکل‌هایی برای تصویرگیری و آنالیز ذره را فراهم کرد. این پیوست به چهار چالش اندازه‌گیری اشاره دارد:

- ۱- انتخاب مدل‌های مرجع برای توصیفگرهای اندازه (فریت و فریت کمینه) و شکل کشامدی (نسبت منظری) و عدم قطعیت‌های اندازه‌گیری برای پارامترهای برازش شده این مدل‌های مرجع، به زیربند خ-۳-۱ مراجعه شود.

1- Hydrothermal

2- Insert

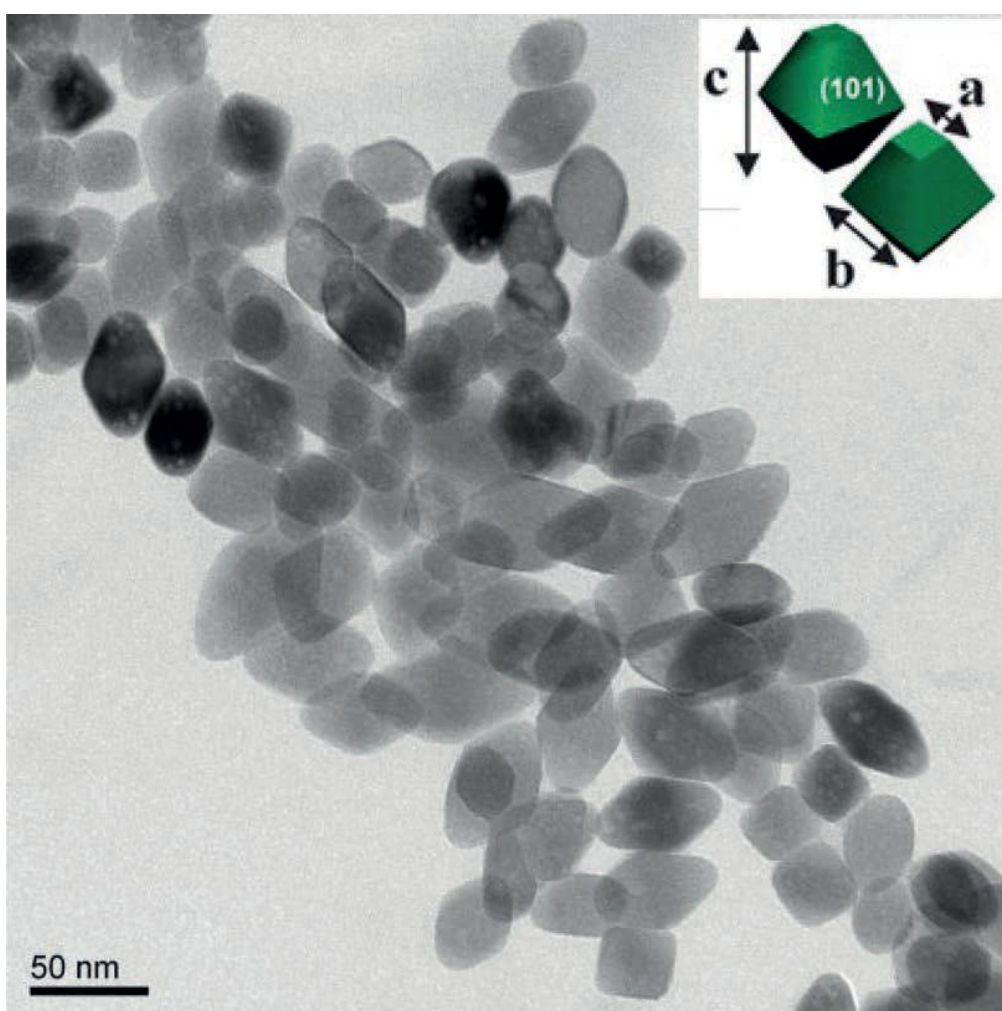
3- Foil

4- Bundesanstalt für Materialforschung und-Prüfung

۲- مقایسه توزیع اندازه و شکل گرفته شده بهوسیله سه نوع دستگاه مختلف، یعنی STEM، TEM و میکروسکوپی الکترونی روبشی (در این پیوست «TSEM» نامیده می‌شود) و miniTEM، به زیریند خ-۳-۲-۳-۴ مراجعه شود.

۳- مقایسه توزیع‌های اندازه و شکل برای ذرات معین در تصویر یکسان اندازه‌گیری شده توسط کاربران مختلف، به زیریند خ-۳-۳-۴ مراجعه شود.

۴- مقایسه داده‌ها برای یک توری که چندین بار آزموده شد، به زیریند خ-۳-۴ مراجعه شود.

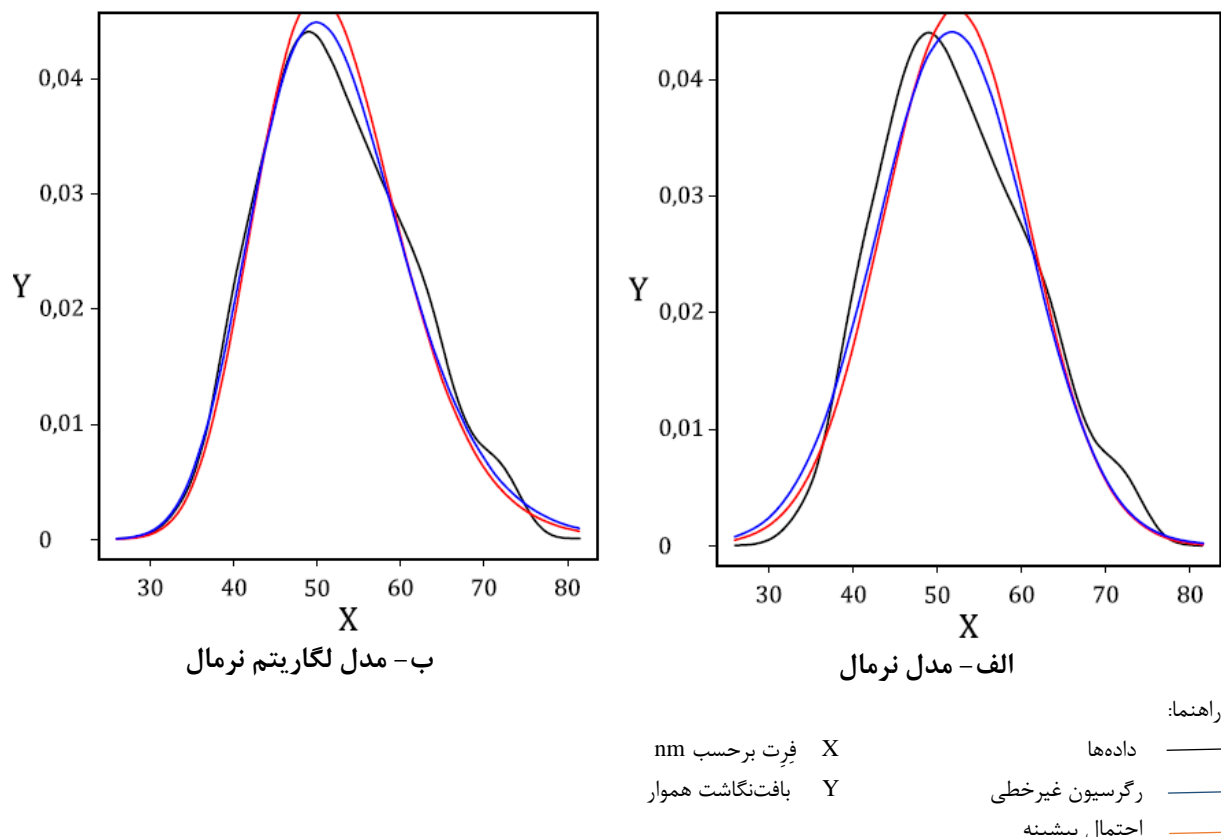


شکل خ-۱-تصویر TEM نانوذرات تیتانیا دوهمرمی آماده شده روی توری مسی پوشش داده شده با کربن [47]

### خ-۳-۳ نکات بر جسته

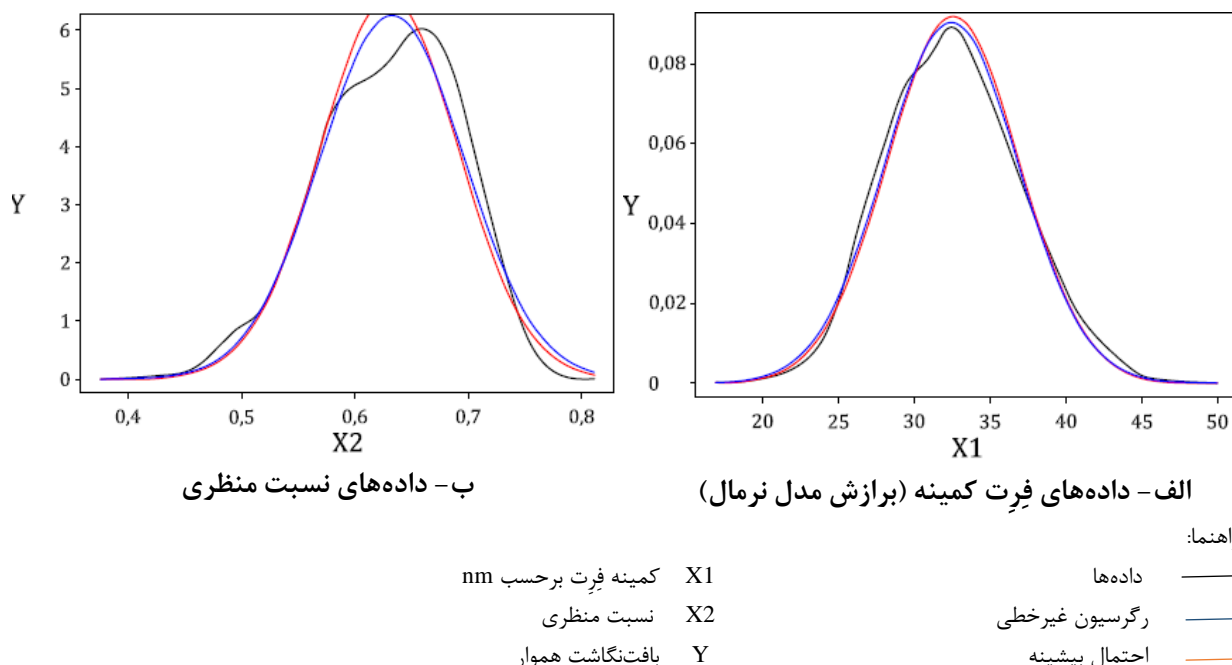
خ-۳-۱ مدل‌های مرجع و عدم قطعیت‌های توصیفگرهای اندازه و شکل کشامدی گزارش‌های گواهی جاری، بر متوسطهای حسابی توصیفگرهای ویژه و انحرافات استاندارد آن‌ها برای محاسبه عدم قطعیت‌های اندازه‌گیری مرتبط با نمونه تکیه دارد [36] [38]. این زیریند برآش‌های مدل‌های مرجع نرمال و لگاریتم نرمال به توزیع‌های فریت، فریت کمینه و نسبت منظری را نشان می‌دهد. مدل‌های لگاریتم

نرمال نسبت به مدل‌های نرمال اغلب نمایش بهتری از توزیع‌های اندازه ارائه می‌دهند: این مدل‌ها موردی است که در این بخش ارائه شده است. شکل خ-۲ هر دو مدل برآزش شده به داده‌های فریت آزمایشگاه ۱۵ را نشان می‌دهد.



شکل خ-۲- داده فریت (آزمایشگاه ۱۵)

توزیع فریت به خصوص برای مقادیر بزرگ‌تر از میانگین آن چندشیوه‌ای است. مدل لگاریتم نرمال تقریب دیداری نزدیک‌تر را به داده‌های هموار، به خصوص نزدیک پیک توزیع چگالی، ارائه می‌دهد. همچنین بافت‌نگاشتهای مشابه برای توزیع‌های فریت کمینه، به شکل خ-۳ الف مراجعه شود، نشان می‌دهد که مدل لگاریتم نرمال از نظر دیداری برای این توصیفگر اندازه ارجحیت دارد. مدل نرمال برای توزیع نسبت منظری ارجحیت دارد، به شکل خ-۳، ب، مراجعه شود. زیرا مدل‌های لگاریتم نرمال و وایبول پارامترهای برآزش شده با عدم قطعیت‌های بسیار بالاتری دارند.



شکل خ-۳- بافت‌نگاشت‌های هموار (آزمایشگاه ۱۵)

جدول خ-۱ پارامترهای برآورد شده برای توزیع‌های توصیفگر فریت، فریت کمینه و نسبت منظری را برای ۱۴ آزمایشگاه، دسته‌بندی شده با توجه به نوع دستگاه، نشان می‌دهد. پارامترهای فریت به ترتیب برای میانگین و تغییرپذیری، عدم قطعیت‌های %. ۳۳۸ و %. ۱۸/۵ دارند. عدم قطعیت‌ها برای میانگین و تغییرپذیری پارامترهای فریت کمینه به ترتیب %. ۲۵۶ و %. ۲۴/۳ هستند. عدم قطعیت‌های میانگین و تغییرپذیری نسبت منظری (بر پایه مدل توزیع نرمال) به ترتیب %. ۱۰/۲ و %. ۱۹/۷ هستند. برای مقایسه، عدم قطعیت‌های پارامترهای مدل نرمال برای توصیفگر اندازه یکسان در جدول ۲ نشان داده شده است. در مدل نرمال، عدم قطعیت‌های مقداری میانگین در مقایسه با توزیع لگاریتم نرمال، به طور قابل ملاحظه‌ای بیشتر است. هرچند عدم قطعیت‌های تغییرپذیری برای این دو مدل مشابه هستند. بنابراین توصیفگرهای اندازه فریت و فریت کمینه با استفاده از توزیع‌های لگاریتم نرمال به بهترین وجه مدل می‌شوند. میانگین کل و انحراف معیار برای همه توصیفگرهای فریت ( $52.4 \pm 8.9$  nm) است. در حالی که میانگین و انحراف معیار توصیفگر فریت کمینه ( $32.9 \pm 9.5$  nm) است. این مقدار به پارامترهای برآورد شده در جدول خ-۲، نشان داده شده به عنوان سطر متوسط، بسیار شبیه هستند.

جدول خ-۱- مقادیر پارامترهای برآششده برای مدل‌های فریت، فریت کمینه و نسبت منظری

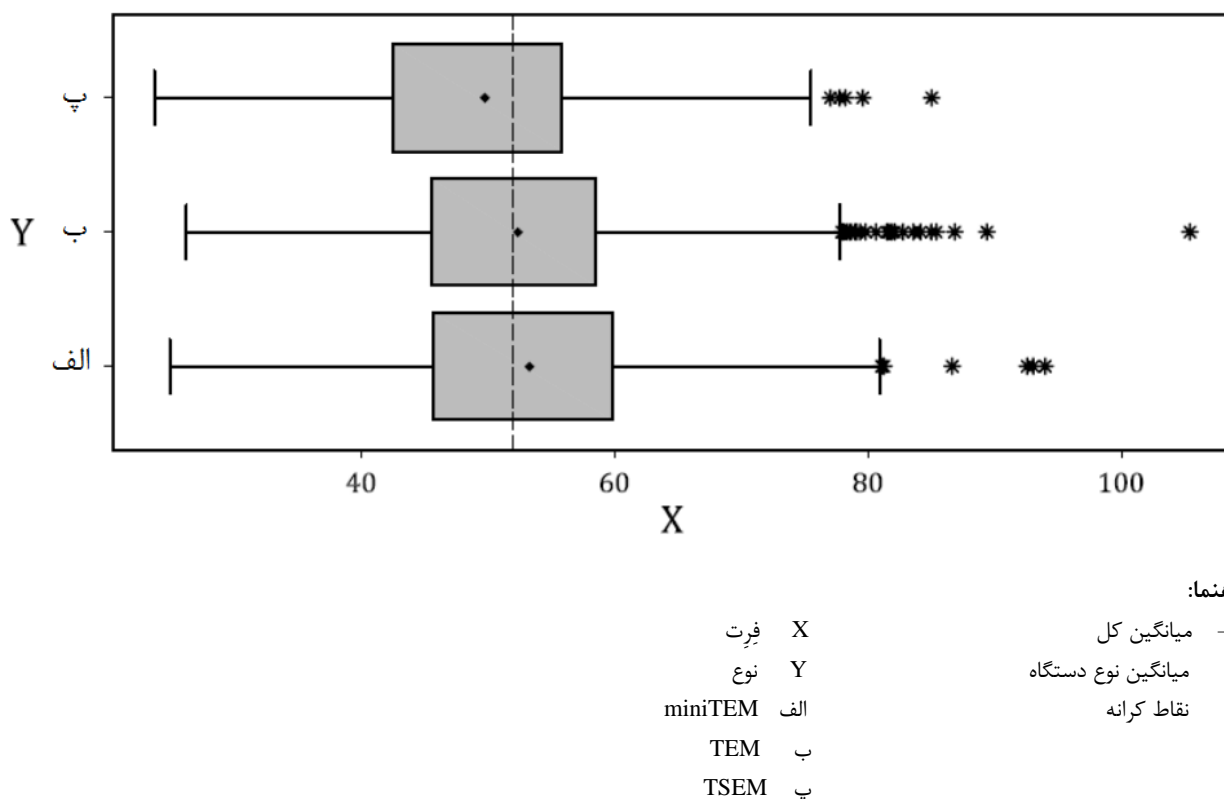
نرمال		لگاریتم نرمال		لگاریتم نرمال		نوع	آزمایشگاه
نسبت منظری		فریت کمینه		فریت			
تغییرپذیری	میانگین	تغییرپذیری	میانگین	تغییرپذیری	میانگین		
۰,۰۶۱۹	۰,۶۵۲۰	۰,۱۱۲۷	۳,۴۹۲	۰,۱۷۰۶	۳,۹۲۴	TSEM	الف ۱
۰,۰۶۶۸	۰,۶۵۶۳	۰,۱۸۰۲	۳,۴۶۸	۰,۲۰۹۷	۳,۸۹۵	TSEM	۳
۰,۰۵۱۹	۰,۶۸۵۳	۰,۱۱۹۷	۳,۳۹۳	۰,۱۷۶۰	۳,۷۷۲	TSEM	۶
۰,۰۵۸۴	۰,۶۶۳۸	۰,۱۳۶۱	۳,۵۳۱	۰,۱۸۰۴	۳,۹۲۷	miniTEM	الف ۹
۰,۰۶۷۸	۰,۶۴۲۹	۰,۱۳۹۱	۳,۵۳۱	۰,۲۰۰۱	۳,۹۷۳	miniTEM	ب ۹
۰,۰۵۷۶	۰,۶۲۵۱	۰,۱۲۶۷	۳,۵۰۹	۰,۱۵۲۴	۳,۹۹۰	TEM	الف ۱۸
۰,۰۶۵۶	۰,۶۵۲۹	۰,۱۳۳۰	۳,۴۴۲	۰,۱۶۹۴	۳,۸۷۹	TEM	ب ۱۸
۰,۰۶۳۸	۰,۶۳۲۹	۰,۱۳۶۶	۳,۴۷۷	۰,۱۷۵۴	۳,۹۴۱	TEM	۱۵
۰,۰۷۶۹	۰,۶۳۷۱	۰,۱۳۱۱	۳,۵۰۴	۰,۱۷۱۲	۳,۹۶۱	TEM	۱۰
۰,۰۶۵۳	۰,۵۴۷۷	۰,۱۴۴۰	۳,۴۹۹	۰,۱۸۹۹	۳,۹۲۷	TEM	۱۷
۰,۰۶۵۴	۰,۶۵۶۹	۰,۱۴۵۰	۳,۴۲۴	۰,۱۹۴۵	۳,۸۵۲	TEM	الف ۱۱
۰,۰۶۸۰	۰,۶۵۰۷	۰,۱۴۹۳	۳,۴۹۰	۰,۱۸۹۰	۳,۹۲۹	TEM	ب ۱۱
۰,۰۵۷۸	۰,۶۳۴۴	۰,۱۲۶۹	۳,۵۳۵	۰,۱۵۶۲	۳,۹۹۷	TEM	۱۴
۰,۰۶۷۲	۰,۶۱۹۶	۰,۱۲۹۳	۳,۵۲۸	۰,۱۸۸۰	۴,۰۱۷	TEM	ب ۱۸
۰,۰۶۴	۰,۶۴۰	۰,۱۳۶	۳,۴۹	۰,۱۸۰	۳,۹۳	متوسط	
۰,۰۰۶۱	۰,۰۳۱۴	۰,۰۱۶۰	۰,۰۴۳۱	۰,۰۱۶۱	۰,۰۶۴۱	Stdev	
۹,۵۴	۴,۹۱	۱۱,۷	۱,۲۴	۸,۹۵	۱,۶۳	$C_v$ ٪	
۱۹,۷	۱۰,۲	۲۴,۳	۲,۵۶	۱۸,۵	۳,۳۸	$U_{ILC}$ ٪	

جدول خ-۲- آمارگان پارامترهای برآششده مدل‌های نرمال برای توزیع‌های فریت و فریت کمینه

نرمال				آماره
فریت کمینه		فریت		
تغییرپذیری	میانگین	تغییرپذیری	میانگین	
۴,۴۵	۳۲,۸	۹,۱۳	۵۱,۲	متوسط
۰,۵۳۸	۱,۳۵	۰,۹۰۰	۳,۱۹	Stdev
۱۲,۱	۴,۱۳	۹,۸۶	۶,۲۴	$C_v$ ٪
۲۵,۰	۸,۵۴	۲۰,۴	۱۲,۹	$U_{ILC}$ ٪

### خ-۳-۲ مقایسه داده‌های گرفته شده با سه نوع دستگاه مختلف (miniTEM و TSEM و TEM)

جدول خ-۱ شامل داده‌های گرفته شده بهوسیله دستگاه‌های TEM، miniTEM و TSEM است. تحلیل واریانس نشان می‌دهد که آیا میانگین‌های توصیفگر مجموعه‌های داده ویژه مشابه با میانگین کل توصیفگر همه مجموعه‌های داده هستند یا خیر. شکل خ-۴ نمودارهای جعبه‌ای این مجموعه داده‌ها را نشان می‌دهد. مقدار  $p$  برای این مجموعه دستگاه‌ها کمتر از ۰.۰۵ است؛ میانگین‌های مجموعه‌های داده مجزا متفاوت از میانگین کل است. نتایج مشابه برای تحلیل واریانس توصیفگرهای فریت کمینه و نسبت منظری، بهوسیله نوع دستگاه رخ می‌دهند.



شکل خ-۴- نمودارهای جعبه‌ای تحلیل واریانس برای توصیفگرهای فریت (بر حسب nm) گزارش شده بهوسیله سه نوع دستگاه (miniTEM و TSEM، TEM)

برای ۹ آزمایشگاه با دستگاه‌های TEM همکاری‌کننده در ILC، ۳۶ جفت داده وجود دارد. مقایسه‌های دویه‌دو بهوسیله تحلیل واریانس بهترتیب برای توصیفگرهای فریت، فریت کمینه و نسبت منظری میانگین‌های مشابه برابر ۳۶٪، ۲۵٪ و ۴۲٪ را نشان داد. درحالی که عدم قطعیت‌های پارامتر به صورت منطقی کم است، هنوز مجموعه‌های داده زیادی وجود دارند که متفاوت از یکدیگر هستند. این تفاوت‌ها می‌توانند با تفاوت‌ها در ذرات انتخابی برای آنالیز یا تفاوت‌ها در دقیق و درستی آنالیز تصویر مرتبط باشند. فاکتور دوم در زیریند خ-۳-۴ اشاره شده است.

### خ-۳-۳ مقایسه مجموعه‌های داده گرفته شده با ذرات یکسان روی تصاویر یکسان

یکی از منابع تجدیدپذیری کم محتمل می‌تواند تفاوت‌ها در آنالیز تصاویر ویژه به‌وسیله ابراز نرم‌افزار تصویربرداری باشد، این مفهوم با ارسال سه تصویر از شش آزمایشگاه با ذرات ویژه موردنظره برای آنالیز ILC آزموده شد. آنالیز سه داده نشان داد که همه مجموعه‌های داده متوسط میانگین مشابه با میانگین کل آزمون (آزمون تحلیل واریانس) دارد و مشخص شد که توزیع‌های تجمعی با استفاده از آزمون دو متغیره یکسان هستند. جدول خ-۳ نشان داد که همه داده‌های توصیفگر اندازه، میانگین‌های یکسانی داشتند و آن سه توصیفگر کشامدی نیز میانگین‌های یکسانی داشتند. به‌وضوح، تجدیدپذیری داده‌ها بالا است. این موضوع تأیید می‌کند که این نمونه می‌تواند برای هر دو توصیفگر اندازه و شکل کشامدی گواهی شود. توصیفگر زبری خیلی نزدیک به یک است و به خوبی بین نتایج تفاوت قائل نمی‌شوند. این داده‌ها نشان داد که انتخاب ذراتی که به تصویر کشیده می‌شوند، می‌تواند روی توزیع‌های اندازه و شکل گزارش شده تأثیر بگذارد.

جدول خ-۳- مقادیر-p تحلیل واریانس توصیفگرهای اندازه و شکل برای ذرات یکسان از تصاویر یکسان آنالیز شده به‌وسیله شش آزمایشگاه

ترتیب رتبه	مقادیر-p	توصیفگر
اندازه		
۴	۰.۸۰۲	مساحت
۷	۰.۳۱۶	فرت
۸	۰.۱۶۵	فرت کمینه
۵	۰.۶۲۱	محیط
۶	۰.۵۶۰	ECD
۸	۰.۱۶۵	EPD
شکل کشامدی		
۱	۰.۹۶۹	نسبت منظری
۳	۰.۸۲۶	دایره‌ای بودن
۲	۰.۸۳۰	вшردگی

### خ-۳-۴ تجدیدپذیری داده‌های گرفته شده به صورت پیاپی روی توری یکسان، دو آزمایشگاه

دو آزمایشگاه در آزمون چرخشی رابین همکاری داشتند که در آن آزمایشگاه ۱ یک توری را آنالیز کرد (آزمون ۱)، که به‌وسیله آزمایشگاه ۲ (آزمون ۲) دنبال شد و با آنالیز مجدد توری یکسان به‌وسیله آزمایشگاه ۳ (آزمون ۳) پایان یافت. هدف این توالی، یادگیری آن است که آیا هنگامی که توری مجدد آزموده می‌شود، تغییرات قابل توجه است یا خیر. جدول خ-۴ تحلیل واریانس از ۳ آزمون را نشان می‌دهد. داده‌ها نشان دادند که دو میانگین توصیفگر (مساحت و نسبت منظری) بین آزمون ۱ و آزمون ۲ مشابه هستند. هر چند، پس از

آزمون ۲، هیچکدام از میانگین‌های توصیفگر مشابه نیستند، این موضوع نشان می‌دهد که نمونه ممکن است تغییر کرده باشد.

#### جدول خ-۴- مقادیر- p تحلیل واریانس آزمون‌های پیاپی روی یک توری

مقادیر- p- تحلیل واریانس			توصیفگر
آزمون ۱ بر حسب آزمون ۳	آزمون ۲ بر حسب آزمون ۳	آزمون ۱ بر حسب آزمون ۲	
۲e-۶	۲e-۶	۰,۲۲۰	اندازه
۱e-۶	۱e-۶	۱e-۶	مساحت
۲e-۶	۲e-۶	۰,۰۰۲	محیط
۲e-۶	۲e-۶	۰,۰۰۹	فرت
			فرت کمینه
۲e-۶	۲e-۶	۰,۷۸۰	شكل کشامدی
			نسبت منظری

## کتابنامه

- [1] ISO 772: 2011, Hydrometry — Vocabulary and symbols
- [۲] استاندارد ملی ایران شماره ۱۵۹۷-۲: سال ۱۳۹۴، ریزساختار چدن‌ها- قسمت ۲: طبقه‌بندی گرافیت توسط آنالیز تصویر
- [۳] استاندارد ملی ایران شماره ۱۳۳۳۱-۱: سال ۱۳۸۹، کیفیت آب- کالیبراسیون و ارزیابی روش‌های تجزیه‌ای و تخمین مشخصات عملکردی- قسمت ۱: ارزیابی آماری تابع کالیبراسیون خطی
- [۴] ISO 5725-1, Accuracy (trueness and precision) of measurement methods and results — Part 1: General principles and definitions
- یادآوری- استاندارد ملی ایران شماره ۱۳۸۳، درستی (صحت و دقت) روش‌های اندازه‌گیری قسمت اول: تعاریف و اصول کلی، با استفاده از استاندارد ISO 5725-1:1394+Cor.1 (1998) تدوین شده است.
- [۵] استاندارد ملی ایران شماره ۱۸۰۸۵: سال ۱۳۹۳، فناوری نانو- تعیین مشخصات نanolله‌های کربنی تک‌جداره با استفاده از میکروسکوپ الکترونی عبوری (TEM)
- [۶] ISO 12640-2: 2004, Graphic technology — Prepress digital data exchange — Part 2: XYZ/sRGB encoded standard colour image data (XYZ/SCID)
- [۷] استاندارد ملی ایران شماره ۱۲۹۲۲: سال ۱۳۸۸، مواد ذره‌ای- نمونه‌برداری و تقسیم نمونه برای تعیین خواص
- [۸] استاندارد ملی ایران شماره ۱۰۱۰۰: سال ۱۳۸۶، آماده‌سازی نمونه- روش‌های پراکنده کردن پودرها در مایعات
- [۹] ISO/IEC 15938-13: 2015, Information technology — Multimedia content description interface—Part 13: Compact descriptors for visual search
- [۱۰] ISO 19123: 2005, Geographic information — Schema for coverage geometry and Functions
- [۱۱] استاندارد ملی ایران شماره ۲۱۴۰۵: سال ۱۳۹۵، عکاسی- سیستم‌های بایگانی- واژه‌نامه
- [۱۲] ISO 22309: 2011, Microbeam analysis — Quantitative analysis using energy-dispersive spectrometry(EDS) for elements with an atomic number of 11 (Na) or above
- [۱۳] ISO 26824: 2013, Particle characterization of particulate systems — Vocabulary

[۱۴] استاندارد ملی ایران شماره ۱۳۳۹۷: سال ۱۳۸۹، سرامیک‌های ظریف (سرامیک‌های پیشرفته، سرامیک‌های صنعتی پیشرفته) - عملکرد خودتمیزشوندگی مواد فتوکاتالیتیک نیمه‌هادی - اندازه‌گیری زاویه تماس آب - روش آزمون

[۱۵] استاندارد ملی ایران - ایزو شماره ۱۳۹۵، فناوری نانو - واژه‌نامه - قسمت ۱: اصطلاحات اصلی

[۱۶] استاندارد ملی ایران - ایزو شماره ۲۰۰۰۴-۲: سال ۱۳۹۵، فناوری نانو - واژه‌نامه - قسمت ۲: نانواشیاء

[۱۷] استاندارد ملی ایران شماره ۱۸۳۹۲-۴: سال ۱۳۹۳، فناوری نانو - واژه‌نامه - قسمت ۴: مواد نانوساختار یافته

[۱۸] استاندارد ملی ایران - ایزو شماره ۲۰۰۰۴-۶: سال ۱۳۹۶، فناوری نانو - واژه‌نامه - قسمت ۶: مشخصه‌یابی نانوشیء

[19] ISO Guide 30: 2015, Reference materials — Selected terms and definitions

[20] ISO/IEC Guide 98-3: 2008, Uncertainty of measurement — Part 3: Guide to the expression of uncertainty in measurement (GUM: 1995)

[21] ISO/IEC Guide 99: 2007, International vocabulary of metrology — Basic and general concepts and associated terms (VIM)

[22] Boyd R.D., Cuenat A., Meli F., Frase C.G., Klein T., Krumrey M., Glever G., Duta A., Duta S., Hogstrom R., Prieto E. Good practice guide for the determination of the size distribution of spherical nanoparticle samples. Measurement Good Practice Guide No. 119. National Physical Laboratory, 2011

[23] Wrigley N.G. Lattice spacing of crystalline catalase as an internal standard of length in electron microscopy. J. Ultrastruct. Res. 1968. 24(5–6), pp. 454–64

[24] ASTM D3849-14aStandard test method for carbon black — morphological characterization of carbon black using electron microscopy

[25] Masuda H., Gotoh K. Study on the sample size required for the estimation of mean particle diameter. Adv. Powder Technol. 1999, 10(2), pp. 159–173

[26] Rice S.B., Chan C., Brown S.C., Eschbach P., Han L., Ensor D.S., Stefaniak A.B., Bonevich J., Vladar A.E., Walker A.R.H., Zheng J., Starnes C., Stromberg A., Ye J., Grulke E.A. Particle size distributions by transmission electron microscopy: An interlaboratory comparison case study. Metrologia. 2013, 50(6), pp. 663–678

- [27] Masuda H., Iino Y. Theoretical study of the scatter of experimental data due to particle-sizedistribution. *J. Chem. Eng. Japan.* 1970, 4(1), pp. 60–66
- [28] Song N.W., Park K.M., Lee I.-H., Huh H. Uncertainty estimation of nanoparticle size distribution from a finite number of data obtained by microscopic analysis. *Metrologia.* 2009, 46, pp. 480–488
- [29] Yoshida H., Mori Y., Masuda H., Yamamoto T. Particle size measurement of standard reference particle candidates and theoretical estimation of uncertainty region. *Adv. Powder Technol.*, 2009, 20, pp. 145–149
- [30] Yoshida H., Yamamoto T., Fukui K., Masuda H. Theoretical calculation of uncertainty region based on the general size distribution in the preparation of standard reference particles for particle size measurement. *Adv. Powder Technol.*, 2012, 23, pp. 185–190
- [31] National Institute of Standards and Technology-Nanotechnology Characterization Laboratory. Measuring the size of nanoparticles using transmission electron microscopy (TEM), 2010, Bonevich J.E., Haller W.K. Available from: [https://ncl.cancer.gov/sites/default/files/protocols/NCL Method PCC -7 .pdf](https://ncl.cancer.gov/sites/default/files/protocols/NCL%20Method%20PCC-7.pdf)
- [32] National Institutes of Health. ImageJ User Guide IJ 1.46r, 2012, Ferreira T., Rasband W. Available from: <https://imagej.nih.gov/ij/docs/index.html>
- [33] National Institutes of Health. ImageJ, 2012. Available from: <http://rsb.info.nih.gov/ij/>
- [34] Vladar A.E., Ming B. Measuring the size of colloidal gold nano-particles using high-resolution scanning electron microscopy. National Institute of Standards and Technology. Nanotechnology Characterization Laboratory, 2011. Available from: [https://ncl.cancer.gov/sites/default/files/protocols/NCL Method PCC -15 .pdf](https://ncl.cancer.gov/sites/default/files/protocols/NCL%20Method%20PCC-15.pdf)
- [35] National Institute of Occupational Safety and Health. NIOSH/DUNE Interlaboratory Study: Evaluation of a sample preparation technique for determination of TEM-based size distribution using NIST Reference Materials 8011, 8012, and 8013: gold nanoparticles. National Institute of Occupational Safety and Health, 2012
- [36] European Commission, Joint Research Centre. The certification of equivalent diameters of a mixture of silica nanoparticles in aqueous solution: ERM ®- FD102, 2014, EUR 26656 EN - 2014, Kestens V. Roebben G.
- [37] Kestens V., Roebben G., Emons H., Herrmann J., Jamting N., Coleman V., Minelli C., Clifford C., De T.P.-J., Mast J., Junjie L., Babick F., Colfen H. Challenges in the size analysis of a silica nanoparticle mixture as candidate certified reference material. *J Nanopart Res.* 2016, 18, pp. 171
- [38] National Institute of Standards and Technology, Report of Investigation. Reference Material 8012. Gold nanoparticles, nominal 30 nm diameter, 2007, NIST
- [39] Braun A., Kestens V., Franks K., Roebben G., Lamberty A., Linsinger T.P.J. A new certified reference material for size analysis of nanoparticles. *J. Nanopart Res.* 2012, 14, pp. 1021–1032

- [40] Szekely G.J., Rizzo M.L. Testing for equal distributions in high dimension. 2004 July, 2015. Available from: <http://personal.bgsu.edu/~mrizzo/energy/reprint-ksamples.pdf>
- [41] VAMAS, VAMAS guidelines for the design and operation of interlaboratory comparisons (ILCs). VAMAS, 2001
- [42] VAMAS. VAMAS Guideline for the Design and Operation of Interlaboratory Comparisons - 2017. Report No. 50. Roebben G. Available from: <http://www.vamas.org/>
- [43] Becker J., Trugler A., Jacob A., Hohenester U., Sonniscchsen C. The optimal aspect ratio of gold nanorods for plasmonic bio-sensing. *Plasmonics*. 2010, 5, pp. 161–167
- [44] Grulke E.A., Wu X., Ji Y., Buhr E., Yamamoto K., Song N.W., Stefaniak A.B., Schwegler-Berry D., Burchett W.W., Lambert J.W., Stromberg A.J. Differentiating gold nanorod samples using particle size and shape distributions from transmission electron microscope images. *Metrologia*. 2018, 55(2), pp. 254–267
- [45] Grulke E.A., Rice S.B., Xiong J., Yamamoto K., Yoon T.H., Thomson K., Saffaripour M., Smallwood G.J., Lambert J.W., Stromberg A.J., Macy R., Briot N.J., Qian D. Size and shape distributions of carbon black aggregates by transmission electron microscopy. *Carbon*. 2018, 130, pp. 822–833
- [46] Council, N.R. NRC certified reference material
- [47] Lavric V., Isopescu R., Maurino V., Pellegrino F., Pellutie L., Ortel E., Hodoroaba V.-D. A New Model for Nano-TiO<sub>2</sub> Crystal Birth and Growth in Hydrothermal Treatment Using an Oriented Attachment Approach. *Cryst. Growth Des.* 2017, 17(11), pp. 5640–5651
- [48] Souza D.O.C., Menegalli F.C. Image analysis: Statistical study of particle size distribution and shape characterization. *Powder Technology*. 2011, 214(1), pp. 57–63
- [49] Morita T., Hatakeyama Y., Nishikawa K., Tanaka E., Shingai R., Murai H., Nakano H., Hino K. Multiple small-angle X-ray scattering analyses of the structure of gold nanorods with unique end caps. *Chem. Phys.* 2009, 364(1–3), pp. 14–18
- [50] Sharma V., Park K., Srinivasarao M. Colloidal dispersion of gold nanorods: Historical background, optical properties, seed-mediated synthesis, shape separation and self-assembly. *Mater. Sci. Eng. R.* 2009, R65(1–3), pp. 1–38
- [51] Shishido F., Hashiguchi H., Matsushita Y., Morozumi Y., Aoki H., Miura T. An investigation of primary particle growth and aggregate formation of soot using a numerical model considering the sintering of primary particles. *Kagaku Kogaku Ronbunshu*. 2007, 33(4), pp. 306–314
- [52] Ono K., Yanaka M., Tanaka S., Saito Y., Aoki H., Fukuda O., Aoki T., Yamaguchi T. Influence of furnace temperature and residence time on configurations of carbon black. *Chem. Eng. J.* 2012, 200–212, pp. 541–548

- [53] Grulke E.A., Yamamoto K., Kumagai K., Hausler I., Osterle W., Ortel E., Hodoroaba V.-D., Brown S.C., Chan C., Zheng J., Yamamoto K., Yashiki K., Song N.W., Kim Y.H., Stefaniak A.B., Schwegler-Berry D., Coleman V.A., Jamting A.K., Herrmann J., Arakawa T., Burchett W.W., Lambert J.W., Stromberg A.J. Size and shape distributions of primary crystallites in titania aggregates. *Adv. Powder Technol.* 2017, 28(7), pp. 1647–1659
- [54] Pratsinis S.E., Zhu W., Vemury S. The role of gas mixing in flame synthesis of titania powders. *Powder Technol.* 1996, 86(1), pp. 87–93
- [55] Albers P., Maier M., Reisinger M., Hannebauer B., Weinand R. Physical boundaries within aggregates - differences between amorphous, para-crystalline, and crystalline structures. *Cryst. Res. Technol.* 2015, 50(11), pp. 846–865
- [56] Jakubek Z.J., Chen M., Couillard M., Leng T., Liu L., Zou S., Baxa U., Closton J.D., Hamad W., Johnston L.J. Characterization challenges for a cellulose nanocrystal reference material: dispersion and particle size distributions. submitted, 2018
- [57] Reid M.S., Villalobos M., Cranston E.D. Benchmarking Cellulose Nanocrystals: From the Laboratory to Industrial Production. *Langmuir*. 2017, 33(7), pp. 1583–1598
- [58] Moon R.J., Martini A., Nairn J., Simonsen J., Youngblood J., Cellulose nanomaterials review: structure, properties and nanocomposites. *Chem. Soc. Rev.* 2011, 40(7), pp. 3941–3994
- [59] Salas C., Nypelö T., Rodriguez-Abreu C., Carrillo C., Rojas O.J. Nanocellulose properties and applications in colloids and interfaces. *Curr. Opin. Colloid Interface Sci.* 2014, 19(5), pp. 383–396
- [60] Muhd Julkapli N., Bagheri S. Nanocellulose as a green and sustainable emerging material in energy applications: a review. *Polym. Adv. Technol.* 2017, 28(12), pp. 1583–1594
- [61] Babick F., Mielke J., Hodoroaba V.-D., Wohlleben W., Weigel S. How reliably can a material be classified as a nanomaterial? Available particle-sizing techniques at work. *J. Nanopart. Res.* 2016, 18, pp. 158
- [۶۲] استاندارد ملی ایران شماره ۷۴۴۲-۳: سال ۱۳۸۴، درستی (صحت و دقت) روش‌ها و نتایج اندازه‌گیری- قسمت سوم: اندازه‌های میانی یک روش اندازه‌گیری استاندارد
- [۶۳] استاندارد ملی ایران شماره ۸۲۰۱-۱: سال ۱۳۸۴، ارائه دانه‌بندی- قسمت اول: نمایش ترسیمی
- [64] ISO 10934-1: 2002, Optics and optical instruments — Vocabulary for microscopy — Part 1: Light microscopy
- [65] ISO 13322-1, Particle size analysis — Image analysis methods — Part 1: Static image analysis methods

**یادآوری**- استاندارد ملی ایران شماره ۱۰۰۹۹-۱: سال ۱۳۹۵، آنالیز اندازه ذرات- روش‌های آنالیزی تصویری قسمت ۱: روش‌های آنالیز تصویری ایستا، با استفاده از استاندارد ISO 13322-1: 2014 تدوین شده است.

- [66] ISO 18115-2: 2013, Surface chemical analysis — Vocabulary — Part 2: Terms used in scanningprobemicroscopy